

#### **TUGAS AKHIR - RG141536**

# ANALISIS AKURASI PENENTUAN POSISI RECEIVER HI TARGET V30 BERDASARKAN PENGGUNAAN SATELIT GPS, GLONASS, DAN BEIDOU

WAHYU RISTANTO NRP 03311440000069

Dosen Pembimbing Khomsin , S.T., M.T Ira Mutiara Anjasmara , S.T., M.Phil,Ph.D

DEPARTEMEN TEKNIK GEOMATIKA FAKULTAS TEKNIK SIPIL LINGKUNGAN DAN KEBUMIAN INSTITUT TEKNOLOGI SEPULUH NOPEMBER SURABAYA 2018



#### FINAL ASSIGNMENT - RG141536

# ANALYSIS POSITIONING ACCURACY WITH HI TARGET V30 RECEIVER BASED ON THE USE OF GPS, GLONASS, AND BEIDOU SATELLITE

WAHYU RISTANTO NRP 03311440000069

Supervisor Khomsin , S.T., M.T Ira Mutiara Anjasmara , S.T., M.Phil,Ph.D

DEPARTMENT OF GEOMATICS ENGINEERING Faculty of Civil, Environmental, and Geo Engineering Institut Teknologi Sepuluh Nopember Surabaya 2018

# ANALISIS AKURASI PENENTUAN POSISI *RECEIVER* HI TARGET V 30 BERDASARKAN PENGGUNAAN SATELIT GPS, GLONASS DAN BEIDOU

Nama Mahasiswa : Wahyu Ristanto NRP : 03311440000069

Departemen : Teknik Geomatika FTSLK-ITS

Dosen Pembimbing : 1. Khomsin, S.T., M.T.

2. Ira M. Anjasmara, S.T.,

M.Phil,Ph.D

#### **ABSTRAK**

Global Satellite Navigation System merupakan suatu istilah yang digunakan untuk mencakup seluruh sistem satelit navigasi global yang sudah beroperasi ataupun sedang dalam perencanaan. Sistem navigasi satelit global ini beberapa diantaranya yaitu GPS, GLONASS, dan BeiDou. Penggunaan GNSS sangat membantu dalam penentuan posisi saat ini. Salah satu faktor yang mempengaruhi pengukuran GNSS yaitu geometri satelit. Hal ini dipengaruhi oleh banyak sedikitnya sinyal satelit yang dapat diterima oleh receiver. Kesalahan akibat kurang kuatnya geometri satelit saat pengambilan data, secara teoritis dapat teratasi dengan kemajuan teknologi receiver yang mampu menangkap berbagai sinyal satelit. Hi Target V30 adalah salah satu receiver GNSS yang mampu menangkap berbagai sinyal satelit secara bersamaan, diantaranya sinyal satelit GPS, GLONASS dan BeiDou, dengan semakin banyaknya sinyal satelit yang dapat diterima diharapkan dapat meningkatkan akurasi dari penentuan posisi.

Dalam penelitian ini akan dilakukan perbandingan akurasi dari pengukuran GNSS berdasarkan penggunaan satelit GPS, GLONASS, dan BEIDOU sehingga dapat diketahui kombinasi manakah yang dapat menghasilkan akurasi terbaik. Berdasarkan

penelitian ini diketahui bahwa penggunaan dari satelit BeiDou tidak terlalu memberi pengaruh terhadap satelit GPS, akan tetapi penggunaan satelit BeiDou menambah ketelitian dari satelit GLONASS. Penggunaan kombinasi satelit GPS + GLONASS + BeiDou dan GPS + GLONASS menghasilkan ketelitian yang paling tinggi dengan nilai RMS *error* maksimal 0,019 m, sedangkan penggunaan satelit GLONASS saja, menghasilkan ketelitian yang paling rendah diantara strategi yang digunakan dengan nilai RMS *error* maksimal 0,585 m.

Kata Kunci : Global Navigation Satellite System, Akurasi, Penentuan Posisi, Satelit.

# ANALYSIS POSITIONING ACCURACY WITH HI TARGET V30 RECEIVER BASED ON THE USE OF GPS, GLONASS, AND BEIDOU SATELLITE

Student's Name : Wahyu Ristanto NRP : 03311440000069

Department : Teknik Geomatika FTSLK-ITS

Adviser : 1. Khomsin, S.T., M.T

2. Ira M. Anjasmara, S.T.,

M.Phil,Ph.D

#### Abstract

Global Navigation Satellite System is a term used for the whole global navigation satellite system that already operate or are in the planning. Some of them namely GPS, GLONASS, and BeiDou. Today, the use of GNSS are helpful in determining position. One factor that affect the GNSS observation accuracy is satellite geometry. It is influenced by how many satellite signal s that can be received by the receiver. Theoretically, errors due to less powerful satellite geometry when data retrieval, can be resolved by advance receiver technology that able to capture more satellite signals. Hi-Target V30 is one of GNSS receivers that able to receive GPS, GLONASS and BeiDou signals, by receiving more satellite signals it is expected to improve the accuracy of positioning.

The aim of study is to compare accuracies of GNSS observations based on the use of GPS, GLONASS, and BEIDOU satellites, so it can be known which combinations can produce the best accuracy. The result showed that the use of BEIDOU satellite has not significant effect on the GPS satellites, but will increase the accuracy of the GLONASS satellite. The use of GPS + GLONASS + BEIDOU and GPS + GLONASS satellite combination provide the best accuracy with maximum RMS error value of 0.019 m. On

the other hand, the use of GLONASS satellite alone give the worst accuracy among the strategies with maximum RMS error value of 0.585 m.

Keyword – Global Navigation Satellite System, Accuracy, positioning, satellite

# LEMBAR PENGGESAHAN

# ANALISIS AKURASI PENENTUAN POSISI RECEIVER HI TARGET V 30 BERDASARKAN PENGGUNAAN SATELIT GPS, GLONASS DAN BEIDOU

# **TUGAS AKHIR**

Diajukan Untuk Memenuhi Salah Satu Syarat Memperoleh Gelar Sarjana Teknik pada

Program Studi S-1 Teknik Geomatika Fakultas Teknik Sipil, Lingkungan dan Kebumian Institut Teknologi Sepuluh Nopember

Oleh:

Wahyu Ristanto Nrp. 03311440000069

Disetujui oleh Pembimbing Tugas Akhir:

1. Khomsin, ST, MT NIP 19750705 200012 1 001 ( 1 1 A)

2. Ira M. Anjasmara, S.T., M.Phil, Ph.D.

NIP. 19781231 200212 2 00 KNOLOGI

YNOLOGI, DA

JULI 201

DEPARTEMEN

SURABAYA,

#### KATA PENGANTAR

Segala puji syukur kepada Tuhan Yang Maha Esa atas nikmat dan anugerah-Nya sehingga penulis dapat menyelesaikan laporan tugas akhir yang berjudul "Analisis Akurasi Penentuan Posisi *Receiver* Hi Target V 30 berdasarkan Penggunaan Satelit GPS, GLONASS dan BEIDOU".

Laporan tugas akhir ini dapat terselesaikan berkat bantuan dari berbagai pihak. Untuk itu, pada kesempatan ini penulis mengucapkan terima kasih kepada:

- 1. Kedua orang tua dan saudara penulis yang selalu mendukung dan mendoakan penulis dalam menyelesaikan laporan tugas akhir.
- 2. Bapak Khomsin S.T., M.T., dan Ira Mutiara Anjasmara, S.T., M.Phil,Ph.D., selaku dosen pembimbing penulis yang senantiasa memberikan bimbingan kepada penulis.
- 3. PT. Geosolution Ptranama Nusantara dan Bapak Akbar Kurniawan S.T., M.T yang telah bersedia meminjamkan alat untuk pengambilan data tugas akhir.
- 4. Achmad, Rizky, Rizha, Pangestu, Kiki, Rastra, Wiki, Kevin, Ryan, Yurike, Nindy, dan Romadina atas bantuannya dalam pengambilan data.
- 5. Istiqomah yang selalu memberi dukungan dan semangat dalam pengerjaan tugas akhir.
- 6. Angkatan G16, teman-teman B17, dan angkatan 2014 Departemen Teknik Geomatika ITS atas bantuan selama kuliah dan dalam penyusunan laporan tugas akhir.
- 7. Staf dan karyawan tata usaha Departemen Teknik Geomatika ITS yang telah membantu dalam kelancaran proses berkas tugas akhir.
- 8. Semua pihak yang telah membantu dalam penyelesaian tugas akhir ini yang penulis tidak dapat sebutkan satu per satu.

Penulis menyadari bahwa dalam laporan tugas akhir ini masih terdapat kekurangan, oleh karena itu penulis sangat mengharapkan saran dan masukan untuk mengembangkan penelitian ini untuk menjadi lebih baik.

Akhir kata, semoga Allah SWT memberikan kemudahan kepada semua pihak yang telah membantu penulis dalam menyelesaikan tugas akhir. Semoga laporan tugas akhir ini memberikan tambahan wawasan serta manfaat yang besar bagi pembaca.

Surabaya, Juli 2018

Penulis

# DAFTAR ISI

HALAM.	AN JUI	OUL	i
ABSTRA	λK		v
LEMBAI	R PENC	GESAHAN	.ix
KATA P	ENGAN	NTAR	. xi
DAFTAR	R ISI		xiii
DAFTAF	R GAMI	BAR	kvii
DAFTAF	R TABE	EL	xix
DAFTAF	R LAMI	PIRANx	xiii
BAB I	PENI	DAHULUAN	1
	1.1	Latar Belakang	1
	1.2	Rumusan Masalah	2
	1.3	Batasan Masalah	3
	1.4	Tujuan Tugas Akhir	3
	1.5	Manfaat Tugas Akhir	3
BAB II	TINJ	AUAN PUSTAKA	5
	2.1	Global Navigation Satellite System (GNSS)	5
	2.2	Segmen GNSS	6
	2.3	Global Positioning System (GPS)	7
	2.4	Global Navigation Satellite System (GLONASS)	9
	2.5	BEIDOU Navigation Satellite System	.10
	2.6	Ketelitian dan kesalahan GPS	.11

	2.7	Bias Ionosfer	14
	2.8	Bias Troposfer	15
	2.9	Metode, Lama Pengamatan dan Prinsip Pengukuran GPS	17
	2.10	Geometri Jaring	20
	2.11	Penelitian Sebelumnya	21
	2.12	Topcon Tools v8.2	22
	2.13	Hi Target Geomatics Office	22
	2.14	Prosedur pengukuran GPS	23
BAB III	MET	ODOLOGI PENELITIAN	25
	3.1	Lokasi Penelitian	25
	3.2	Data Dan Peralatan	25
		3.2.1 Data	25
		3.2.2 Peralatan	26
	3.3	Tahapan Penelitian	28
BAB IV	HAS	IL DAN PEMBAHASAN	35
	4.1	Hasil Perhitungan Posisi	35
	4.2	Hasil dan Analisis Perbandingan Nilai R ERROR	
	4.3	Hasil dan Analisis Perbandingan Koordi Pengolahan	
	4.4	Analisis Panjang Baseline	105
BAB V	KESI	IMPULAN DAN SARAN	
	5.1	Kesimpulan	109
	5.2	Saran	110

DAFTAR PUSTAKA	111
LAMPIRAN	113
BIODATA PENULIS	137

# **DAFTAR GAMBAR**

Gambar. 2.1	Segmen GNSS	7
Gambar. 2.2	Prinsip dasar penentuan Posisi dengan GPS.	8
Gambar. 2.3	Metode Penentuan Posisi Differential	19
Gambar. 2.4	Metode jaringan dan metode radial	21
Gambar. 3.1	Lokasi Penelitian	25
Gambar. 3.2	Receiver Hi Target V30 (Hi Target 2018)	26
Gambar. 3.3	Diagaram Alir Penelitian	29
Gambar. 3.4	Desain Pengukuran penelitian	30
Gambar. 3.5	Diagram Alir Pengolahan Data	32
Gambar. 4.1	Konfigurasi baseline	35
Gambar. 4.2	BM ITS 01	
Gambar. 4.3	Horizontal RMS baseline 1 KM	
Gambar. 4.4	Vertikal RMS baseline 1 KM	52
Gambar. 4.5	(a) sinyal satelit pengolahan GLONASS +	
	BEIDOU, (b) sinyal Satelit pengolahan GPS	
Gambar. 4.6	Horizontal RMS baseline 5 KM	56
Gambar. 4.7	Vertikal RMS baseline 5 KM	57
Gambar. 4.8	Sinyal Satelit pengolahan GLONASS +	
	BEIDOU	58
Gambar. 4.9	Horizontal RMS baseline 10 KM	
Gambar. 4.10	Vertikal RMS baseline 10 KM	61
Gambar. 4.11	Horizontal RMS baseline 15 KM	63
Gambar. 4.12	Vertikal RMS baseline 15 KM	
Gambar. 4.13	Horizontal RMS baseline 20 KM	66
Gambar. 4.14	Vertikal RMS baseline 20 KM	67
Gambar. 4.15	Sinyal Satelit pengolahan GLONASS +	
	BEIDOU	68
Gambar. 4.16	Maksimal RMS Error	70
Gambar. 4.17	Selisih Koordinat Satelit GPS + BEIDOU	
	dengan Satelit GPS + GLONASS + BEIDOU	J 100

Gambar. 4.18	Selisih Koordinat GLONASS + BEIDOU	
	dengan GPS + GLONASS + BEIDOU	
	Titik A1 – B4	101
Gambar. 4.19	Selisih Koordinat GLONASS + BEIDOU	
	dengan GPS + GLONASS + BEIDOU Titik	
	C1 –E4	102
Gambar. 4.20	Selisih Koordinat GPS dengan GPS +	
	GLONASS + BEIDOU	103
Gambar. 4.21	Selisih Koordinat GLONASS dengan GPS +	
	GLONASS + BEIDOU Titik A1 – A4,	
	B1 – B4, dan C1 – C4	104
Gambar. 4.22	Selisih Koordinat GLONASS dengan GPS +	
	GLONASS + BEIDOU Titik D1 – D4 dan	
	E1 – E4	104
Gambar. 4.23	Minimal Nilai RMS Error berdasarkan	
	Panjang baseline	106
Gambar. 4.24	Rata – rata Nilai RMS Error berdasarkan	
	Panjang baseline	107
Gambar. 4.25	(a) Lokasi Titik C3, (b) Lokasi Titik D3, dan	
	(c) Lokasi Titik E3	108

# **DAFTAR TABEL**

Tabel. 2.1	Faktor dan parameter yang mempengaruhi	
	ketelitian penentuan posisi dengan GPS	.12
Tabel. 2.2	Metode dan Lama Waktu Pengamatan terhadap	
	Panjang Baseline	.20
Tabel. 2.3	Spesifikasi Teknis metode dan Strategi Pengamatan	
TT 1 1 2 1	Jaring Titik kontrol Geodetik Orde-00 s/d Orde-4	
	Spesifikasi Hi Target V30	
Tabel. 4.1	Koordinat BM ITS 01	.36
Tabel. 4.2	Panjang Baseline	.37
Tabel. 4.3	RMS error Hasil Pengolahan Satelit GPS +	
	GLONASS + BEIDOU	.38
Tabel. 4.4	Koordinat Hasil Pengolahan Satelit GPS +	
	GLONASS + BEIDOU	.39
Tabel. 4.5	RMS error Hasil Pengolahan Satelit GPS +	
	GLONASS	.40
Tabel. 4.6	Koordinat Hasil Pengolahan Satelit GPS +	
	GLONASS	.41
Tabel. 4.7	RMS error Hasil Pengolahan Satelit GPS +	
	BEIDOU	.42
Tabel. 4.8	Koordinat Hasil Pengolahan Satelit GPS +	
	BEIDOU	.43
Tabel. 4.9	RMS error Hasil Pengolahan Satelit GLONASS +	
	BEIDOU	.45
Tabel. 4.10	) Koordinat Hasil Pengolahan Satelit GLONASS +	
	BEIDOU	.46
Tabel. 4.11	RMS error Hasil Pengolahan Satelit GPS	
	2 Koordinat Hasil Pengolahan Satelit GPS	
	3 RMS <i>error</i> Hasil Pengolahan Satelit GLONASS	
	4 Koordinat Hasil Pengolahan Satelit GLONASS	
	5 Toleransi Raseline 1 KM	

Tabel. 4.16 Toleransi Baseline 5 KM	59
Tabel. 4.17 Toleransi Baseline 10 KM	62
Tabel. 4.18 Toleransi Baseline 15 KM	65
Tabel. 4.19 Toleransi Baseline 20 KM	
Tabel. 4.20 Selisih Koordinat Northing Baseline A1	71
Tabel. 4.21 Selisih Koordinat Easting Baseline A1	
Tabel. 4.22 Selisih Koordinat Northing Baseline A2	73
Tabel. 4.23 Selisih Koordinat Easting Baseline A2	73
Tabel. 4.24 Selisih Koordinat Northing Baseline A3	74
Tabel. 4.25 Selisih Koordinat Easting Baseline A3	75
Tabel. 4.26 Selisih Koordinat Northing Baseline A4	
Tabel. 4.27 Selisih Koordinat Easting Baseline A4	76
Tabel. 4.28 Selisih Koordinat Northing Baseline B1	77
Tabel. 4.29 Selisih Koordinat Easting Baseline B1	78
Tabel. 4.30 Selisih Koordinat Northing Baseline B2	78
Tabel. 4.31 Selisih Koordinat Easting Baseline B2	79
Tabel. 4.32 Selisih Koordinat Northing Baseline B3	80
Tabel. 4.33 Selisih Koordinat Easting Baseline B3	80
Tabel. 4.34 Selisih Koordinat Northing Baseline B4	81
Tabel. 4.35 Selisih Koordinat Easting Baseline B4	82
Tabel. 4.36 Selisih Koordinat Northing Baseline C1	83
Tabel. 4.37 Selisih Koordinat Easting Baseline C1	83
Tabel. 4.38 Selisih Koordinat Northing Baseline C2	84
Tabel. 4.39 Selisih Koordinat Easting Baseline C2	85
Tabel. 4.40 Selisih Koordinat Northing Baseline C3	86
Tabel. 4.41 Selisih Koordinat Easting Baseline C3	86
Tabel. 4.42 Selisih Koordinat Northing Baseline C4	87
Tabel. 4.43 Selisih Koordinat Easting Baseline C4	88
Tabel. 4.44 Selisih Koordinat Northing Baseline D1	89
Tabel. 4.45 Selisih Koordinat Easting Baseline D1	89
Tabel. 4.46 Selisih Koordinat Northing Baseline D2	
Tabel. 4.47 Selisih Koordinat Easting Baseline D2	91
Tabel, 4.48 Selisih Koordinat Northing Baseline D3	92

Tabel. 4.49 Selisih Ko	ordinat <i>Easting Baseline</i> D39	<del>)</del> 2
Tabel. 4.50 Selisih Koo	ordinat Northing Baseline D49	<del>)</del> 3
Tabel. 4.51 Selisih Koo	ordinat Easting Baseline D49	93
Tabel. 4.52 Selisih Koo	ordinat Northing Baseline E1	<b>)</b> 4
Tabel. 4.53 Selisih Koo	ordinat Easting Baseline E19	<del>)</del> 5
Tabel. 4.54 Selisih Koo	ordinat Northing Baseline E2	<del>)</del> 5
Tabel. 4.55 Selisih Koo	ordinat Easting Baseline E2	96
Tabel. 4.56 Selisih Koo	ordinat Northing Baseline E3	<del>)</del> 7
Tabel. 4.57 Selisih Koo	ordinat Easting Baseline E3	<del>)</del> 7
Tabel. 4.58 Selisih Koo	ordinat <i>Northing Baseline</i> E49	98
Tabel. 4.59 Selisih Koo	ordinat <i>Easting Baseline</i> E49	98

# **DAFTAR LAMPIRAN**

Foto Dokumentasi	113
Form pengukuran	116

# BAB I PENDAHULUAN

# 1.1 Latar Belakang

GNSS (Global Satellite Navigation System) merupakan suatu istilah yang digunakan untuk mencakup seluruh sistem satelit navigasi global yang sudah beroperasi ataupun sedang dalam perencanaan. Sistem navigasi satelit global ini beberapa diantaranya yaitu GPS, GLONASS, dan BEIDOU. Penggunaan GNSS menjadikan survei extra-terrestrial menjadi lebih mudah dan ketelitian yang didapat juga dapat ditingkatkan.

Pada dasarnya GPS dapat digunakan setiap saat tanpa bergantung waktu dan cuaca. GPS dapat digunakan baik pada siang maupun malam hari, dalam kondisi cuaca yang buruk sekalipun (Abidin seperti ataupun kabut 2001). hujan karakteristiknya ini maka penggunaan GPS dapat meningkatkan efisiensi dan fleksibilitas dari pelaksanaan aktivitas-aktivitas yang terkait dengan penentuan posisi. Kebutuhan akan ketelitian posisi titik yang tinggi sangat diperlukan dalam berbagai aplikasi. Ketelitian posisi yang didapat dari suatu survei GPS secara umum akan bergantung pada 4 (empat) faktor, yaitu: ketelitian data yang digunakan, geometri pengamatan, strategi pengamatan yang digunakan, dan strategi pengolahan data yang diterapkan (Abidin, Jones, dan Kahar 2011). Ketelitian data yang digunakan pada dasarnya akan bergantung pada 3 (tiga) faktor, yaitu: jenis data (pseudorange atau fase), kualitas dari receiver yang digunakan, serta level dari kesalahan dan bias yang mempengaruhi data pengamatan. Geometri pengamatan mencakup geometri pengamat (jaring) dan geometri satelit yang bergantung pada jumlah satelit, lokasi, dan distribusi satelit yang teramati. Secara teoritik semakin banyak jumlah satelit yang teramati, maka geometri satelit akan semakin baik.

Perkembangan teknologi receiver yang semakin canggih dapat mengatasi kesalahan akan kurang kuatnya geometri satelit saat pengambilan data (Izman dan Rudianto 2011). Hi Target V30 adalah salah satu receiver GNSS yang mampu menangkap sinyal satelit GPS, GLONASS dan BEIDOU. Dengan semakin banyaknya sinyal satelit yang dapat diterima diharapkan dapat meningkatkan akurasi dari penentuan posisi. Berdasarkan spesifikasi yang dimiliki oleh receiver Hi Target, akurasi yang dapat dihasilkan pada survei secara statik adalah 2,5 mm untuk ketelitian horizontal dan 5 mm untuk ketelitian Vertikal (Hi Target 2015)

Penelitian mengenai penggunaan satelit GNSS terhadap akurasi penentuan posisi sudah pernah dilakukan sebelumnya. Izman dan Rudianto (2011) melakukan penelitian mengenai penggunaan sinyal satelit GPS dan GLONASS terhadap ketelitian posisi. Gumilar, dkk (2016) melakukan penelitian mengenai penggunaan sinyal satelit GPS dan BEIDOU terhadap peningkatan akurasi posisi di Bandung. Pada kedua penelitian tersebut dilakukan pengukuran dengan menggunakan 2 kombinasi satelit yang berbeda untuk penentuan, akan tetapi kombinasi dengan menggunakan 3 satelit secara bersamaan tidak dilakukan. Pada penelitian ini akan dilakukan analisa perbandingan ketelitian dari penggunaan 3 kombinasi satelit GPS, GLONASS dan BEIDOU dengan receiver Hi Target V30 terhadap akurasi penentuan posisi.

# 1.2 <u>Rumusan Masalah</u>

Rumusan masalah pada tugas akhir ini meliputi:

- 1. Bagaimana akurasi pengukuran menggunakan *GNSS* Hi Target V30 berdasarkan satelit yang digunakan?
- 2. Bagaimana hasil perbandingan pengukuran GNSS Hi Target dengan menggunakan satelit GPS, GPS + GLONASS, GPS + BEIDOU dan GPS + GLONASS + BEIDOU?
- 3. Kombinasi satelit manakah yang menghasilkan akurasi terbaik?

# 1.3 Batasan Masalah

Batasan dari tugas akhir ini yaitu:

- 1. Alat yang digunakan yaitu *receiver* Hi Target V30
- 2. Penggunaan kombinasi satelit GPS, GLONASS dan BEIDOU
- 3. Metode pengamatan statik radial
- 4. Waktu pengamatan 1 jam
- 5. Baseline Pengukuran 1 Km, 5 Km, 10 Km, 15 Km, dan 20 Km

# 1.4 <u>Tujuan Tugas Akhir</u>

Adapun Tujuan dari tugas akhir ini yaitu:

- 1. Mengetahui perbandingan akurasi pengukuran GNSS Hi Target V30 berdasarkan kombinasi satelit yang digunakan.
- 2. Mengetahui kombinasi satelit GNSS untuk mendapatkan ketelitian terbaik.
- 3. Mengetahui hasil kombinasi satelit berdasarkan jarak baseline

# 1.5 Manfaat Tugas Akhir

Manfaat yang diharapkan dari penelitian ini adalah memberikan tingkat ketelitian pengukuran GNSS *receiver* Hi Target V30 dengan variasi Panjang *baseline* dan penggunaan sinyal satelit yang berbeda – beda sehingga dapat menjadi acuan dalam pengukuran GNSS *receiver* Hi Target V30 untuk pengadaan GCP ataupun kegiatan pemetaan lainnya.

# BAB II TINJAUAN PUSTAKA

### 2.1 Global Navigation Satellite System (GNSS)

Global Satellite Navigation System atau yang biasa dikenal dengan GNSS merupakan suatu istilah yang digunakan untuk mencakup seluruh sistem satelit navigasi global yang sudah beroperasi ataupun sedang dalam perencanaan. Prinsip utama dari GNSS yaitu pembentukan trilaterasi dari titik manapun di permukaan bumi terhadap satelit yang terjangkau (Lechner and Baumann 2000). Satelit navigasi mempunyai kemampuan untuk memberikan informasi tentang posisi lokasi geografis dan sinkronisasi waktu dalam penggunaan sinyal real time dari satelit navigasi yang mengorbit. Posisi yang ditentukan terdiri dari 4 (empat) dimensi yaitu bujur, garis lintang, ketinggian, dan waktu (Bakara 2011).

GNSS yang telah dan sedang dikembangkan antara lain yaitu (Bakara 2011):

- 1. *Global Positioning System (GPS)* milik Amerika Serikat yang secara efektif telah menyediakan layanan global.
- 2. Global Navigation Satellite System (GLONASS) milik Rusia yang juga telah menyediakan layanan global.
- 3. Galileo milik Eropa yang dikembangkan Uni Eropa bekerja sama dengan *European Space Agency (ESA)*.
- 4. BEIDOU milik Cina.
- 5. *Indian Regional Navigation Satellite System* (IRNSS) dikembangkan oleh India, dan
- 6. *Quasi-Zenith System Satellite* (QZSS) dikembangkan oleh Jepang.

Negara – negara terus melengkapi dan meningkatkan kemampuan GNSS sehingga dapat digunakan oleh negara – negara di seluruh dunia. GNSS telah dimanfaatkan untuk tujuan militer, transportasi/angkutan, baik darat, laut, maupun udara, dan gunakan untuk penentuan geografis, pemantauan gunung berapi, penelitian dan yang lainnya.

# 2.2 Segmen GNSS

Segmen GNSS seperti yang terlihat pada Gambar. 2.1 dibangun oleh 3 (tiga) segmen, yaitu (NovAtel Inc 2015) :

# a. Segmen angkasa (space segment)

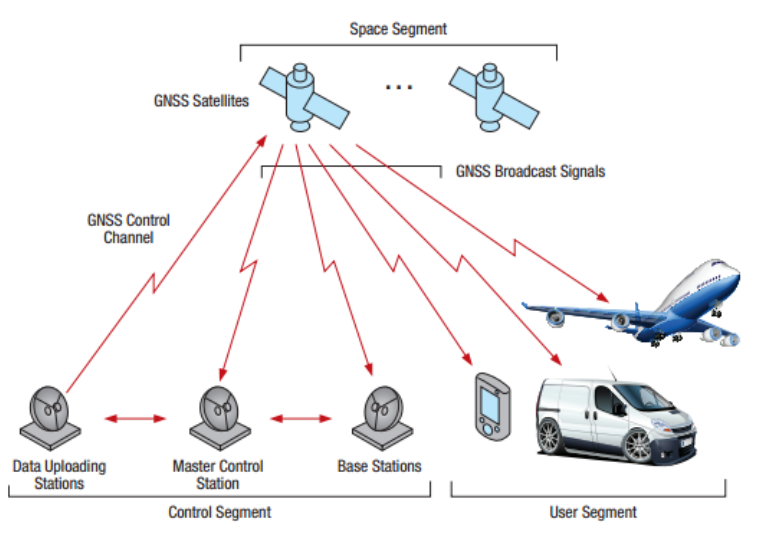
Segmen angkasa terdiri dari satelit GNSS yang mengorbit sekitar 20.000 Km diatas bumi. Setiap GNSS memiliki konstelasi satelit masing – masing yang diatur dalam orbitnya agar dapat meliputi area yang diinginkan. Setiap konstelasi satelit GNSS menyiarkan sinyal yang mengidentifikan dan menyediakan waktu, orbit dan status.

# b. Segmen kontrol (control segment)

Segmen kontrol terdiri dari jaringan stasiun kontrol pusat, stasiun pengunggahan data, stasiun monitor; dalam kasus GPS, dua stasiun kontrol utama (satu primer dan satu cadangan), empat stasiun pengunggahan data, dan 16 stasiun monitor, berada di seluruh dunia. Di setiap sistem GNSS, stasiun kontrol pusat menyesuaikan parameter orbit satelit dan waktu presisi perekaman. Bila diperlukan untuk menjaga akurasi. Stasiun monitor biasanya dipasang pada area yang memiliki geografis yang luas, memantau status dan sinyal satelit, dan menyampaikan informasi ke stasiun kontrol pusat. Stasiun kontrol pusat menganalisis sinyal kemudian mentransmisikan koreksi orbit dan waktu ke satelit melalui stasiun pengunggahan data

# c. Segmen pengguna (user segment)

Segmen pengguna terdiri dari peralatan yang memproses sinyal yang diterima satelit GNSS dan menggunakannya untuk memperoleh informasi lokasi dan waktu. Peralatan tersebut mulai dari *smartphone* dan *handheld* yang biasa digunakan oleh pendaki, sampai *receiver* canggih untuk aplikasi survei dan pemetaan tingkat tinggi.

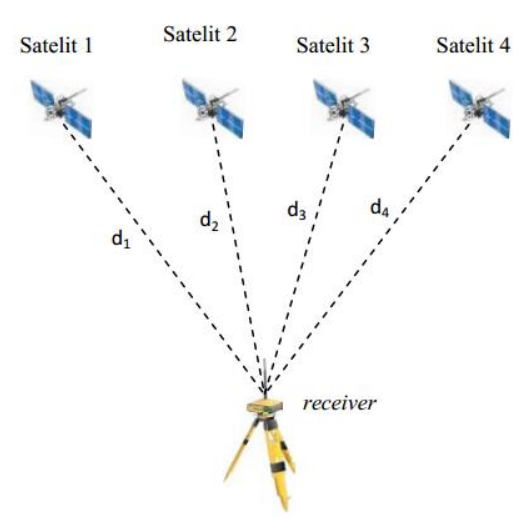


Gambar. 2.1 Segmen GNSS (NovAtel Inc 2015)

# 2.3 <u>Global Positioning System (GPS)</u>

Global Positioning System atau biasa dikenal dengan GPS adalah sistem satelit navigasi dan penentuan posisi menggunakan satelit. Sistem yang dapat digunakan oleh banyak sekaligus dalam segala cuaca, didesain untuk memberikan posisi dan kecepatan tiga dimensi yang teliti, dan juga informasi mengenai waktu, secara teliti di seluruh dunia (Abidin 2007).

Pada dasarnya konsep penentuan posisi dengan GPS adalah reseksi jarak, yaitu pengukuran jarak secara simultan ke beberapa satelit yang koordinatnya telah diketahui ( Abidin 2007). Ilustrasi dari prinsip penentuan posisi dengan GPS dapat dilihat pada Gambar. 2.2 berikut.



Gambar. 2.2 Prinsip penentuan Posisi dengan GPS (NovAtel Inc)

GPS yang telah diluncurkan pada tahun 1978 merupakan suatu konstelasi yang terdiri dari 24 satelit pada 6 bidang orbit digunakan untuk menentukan setiap lokasi objek dan penentuan waktu di bumi secara akurat. GPS ini dikendalikan oleh Komando Antariksa Angkatan Udara Amerika Serikat. Di samping melayani keperluan militer Amerika Serikat, sistem ini juga telah melayani pengguna sipil secara global. Sistem GPS mampu memberikan informasi posisi lokasi dengan tingkat ketelitian dari meter hingga milimeter tergantung receiver dan metode yang digunakan dalam penggunaannya.

# 2.4 Global Navigation Satellite System (GLONASS)

Global navigation satellite system atau GLONASS adalah sistem satelit navigasi global milik Uni Soviet (Rusia) yang pengembangannya telah dimulai pada tahun 1976 (GLONASS, 2017). GLONASS mulai beroperasi pada tahun 1991 walaupun pengembangan konstelasi secara penuh terselesaikan tahun 1996. Satelit GLONÅSS terdiri dari konstelasi 24 satelit, dan sekarang sedang berada dalam tahap recovery karena umur beberapa satelit telah berakhir dan tidak layak beroperasi, dari jumlah konstelasi satelit tersebut, untuk sementara 7 satelit telah dimatikan, dan 17 satelit telah beroperasi (Kemppi 2007). Sistem satelit ini berada dalam 3 bidang orbit dimana kedudukan satu satelit dengan satelit lainnya terpisah dengan jarak 1200. Satelit beroperasi pada ketinggian 19.100 Km di atas permukaan bumi dengan inklinasi 64.80 dan siklus perputaran satelit mengelilingi Bumi 11 jam 15 menit (GLONASS 2018).

Stasiun pengendali GLONÅSS seluruhnya ditempatkan di Uni Soviet (Rusia). Pusat pengendalian di darat berlokasi di Moscow dan Stasiun *Telemetry* dan *tracking* yang disebut *Receiving Monitor Station* (RMS) berlokasi di St. Petersburg, Ternopol, dan Eniseisk. Satelit GLONASS dapat menyiarkan data melalui stasiun pengendali di darat, namun demikian, sistem satelit GLONASS belum mampu berdiri sendiri sebagai satelit penentuan posisi (GLONASS 2018).

Sistem satelit GLONASS belum mampu berdiri sendiri untuk penentuan posisi, sistem ini masih menggunakan sistem rangkap GPS+GLONASS dalam metode *Real Time Kinematics* GPS (RTK-GPS). Maksudnya, dalam penentuan posisi, sistem satelit GLONASS penggunaannya masih terintegrasi dengan satelit GPS, dan hal ini telah terbukti sangat menguntungkan untuk digunakan dalam suatu wilayah yang sulit dikover satelit (Bakara 2011).

# 2.5 BEIDOU Navigation Satellite System

BEIDOU merupakan satelit navigasi yang dikembangkan oleh Cina. Sistem ini akan diterapkan dalam dua tahap; tahap pertama menyediakan layanan dengan cakupan regional, sementara tahap kedua menyediakan layanan dengan cakupan global. Tahap pertama dari sistem BEIDOU secara resmi beroperasi mulai desember 2012 dengan layanan cakupan wilayah Asia Pasifik. Segmen angkasa BEIDOU regional mempunyai 5 satelit dengan *Geostationary Earth Orbit* (GEO), ditambah 5 satelit dengan *Geosynchronous Orbit* (ISGO) dan 4 satelit *Medium Earth Orbit* (MEO). (NovAtel Inc 2015). Tahap kedua dari sistem BEIDOU direncanakan akan selesai pada akhir tahun 2020 dan akan menyediakan layanan cakupan global dengan peningkatan cakupan regional. Segmen angkasanya akan mencakup 5 satelit GEO, 3 satelit *Geosynchronous Orbit* dan 27 satelit MEO (IAC 2017)

Layanan yang akan diberikan dibagi menjadi tiga layanan (NovAtel Inc 2015):

- Public service untuk warga sipil dan pengguna secara gratis.
   Public service menyediakan akurasi posisi sekitar 10 m
   kecepatan akurasi sampai 0,2 m per detik dan akurasi waktu sekitar 10 nanosecond
- *Licendsed service* tersedia untuk pengguna yang telah berlangganan. *Licensed service* meningkatkan akurasi sampai dengan 2 m. layanan ini juga menyediakan pesan singkat dua arah (120 karakter Cina) dan menyediakan informasi mengenai status sistem.
- Restricted military service, lebih akurat dari pada public service, juga menyediakan informasi status sistem dan kemampuan komunikasi militer.

Pada dasarnya satelit BeiDou bisa berdiri sendiri. Namun, dalam penggunaan satelit BeiDou, karena orbit BeiDou termasuk MEO, IGSO, dan GEO, *receiver* harus mempertimbangkan bias antara jenis konstelasi satelit yang berbeda. Satelit BeiDou memiliki jangkauan transmisi yang lebih besar jika dibandingkan dengan GPS, oleh karena itu kekuatan sinyal satelit menjadi lebih lemah. Lokasi satelit GEO BeiDou tidak berubah banyak. Akibatnya, kekuatan sinyal satelit GEO masing-masing agak konstan pada nilai yang tertentu. Namun, nilai ini berbeda untuk setiap sudut elevasi (shau dan An-Lin 2016).

shau dan An-Lin pada 2016 melakukan penelitian mengenai penggunaansatelit BeiDou dan GPS. Dengan menggunakan satu satelit GEO, satu satelit IGSO, dan satu satelit MEO dilakukan dengan menggunakan simulasi sinyal pengganggu mengetahui efeknya kepada satelit BeiDou, hasilnya berdampak pada keseluruahan satelit BeiDou mengalami penururan kekuatan sinyal secara bersamaan. Total konstelasi BEIDOU vang berkesinambungan adalah 99.9785%, lebih rendah dari GPS. Hal ini karena beberapa alasan. Pertama, 5 satelit GEO BeiDou memiliki sudut elevasi terendah dan lost lock sepanjang waktu. Kedua, 5 satelit IGSO BeiDou memiliki lebih kecil kontinuitas daripada satelit IGSO lain. Jumlah cycle slip satelit BeiDou IGSO adalah yang tertinggi dari semua satelit BEIDOU. Distribusi kesalahan ionosfir dan kesalahan jam BEIDOU kesalahan lebih besar dari GPS. BEIDOU menyediakan pengukuran kode-fase yang lebih stabil daripada GPS. Namun, terkadang broadcast ephemeris BEIDOU tidak teratur. Gangguan - gangguan dan kesalahan ini yang mengakibatkan penggunaan kombinasi satelit BeiDou cukup jelek dan lebih disarankan untuk melakukan pengamatan dengan menggunakan stelit GPS.

# 2.6 Ketelitian dan kesalahan GPS

Ketelitian posisi yang didapat dengan pengamatan GPS secara umum akan tergantung pada empat faktor yaitu: metode penentuan posisi yang digunakan, geometri dan distribusi dari satelit – satelit yang diamati, ketelitian data yang digunakan, dan strategi /metode pengolahan data yang diterapkan. Masing – masing faktor tersebut mempunyai beberapa parameter yang berpengaruh pada ketelitian posisi yang akan diperoleh dari GPS (Abidin 2007). Contoh beberapa parameter tersebut ada pada Tabel 2.1 berikut.

Tabel. 2.1 Faktor dan parameter yang mempengaruhi ketelitian penentuan posisi dengan GPS (Abidin 2007).

penentuan posisi dengan GIB (Tiolain 2007).			
Faktor	Parameter		
Ketelitian Data	Tipe data yang digunakan		
	(pseudorange, fase)		
	Kualitas Receiver GPS		
	Level dari kesalahan		
Geometri Satelit	Jumlah satelit		
	Lokasi dan distribusi satelit		
	Lama pengamatan		
Metode Penentuan	Absolut & differential positioning		
Posisi	Static, rapid static, stop-and-go,		
	kinematic		
	One & multi staton referensis		
Strategi Pemtosesan	Real time & post processing		
Data	Strategi eliminasi dan pengkoreksian		
	kesalahan dan bias		
	Metode estimasi yang digunakan		
	Pemrosesan <i>baseline</i> dan perataan jaring		

Kesalahan Bias GPS pada dasarnya dapat dikelompokkan menjadi (El-Rabbany 2002):

a. Kesalahan *ephemeris* (orbit), yaitu kesalahan dimana orbit satelit yang dilaporkan oleh *ephermeris* satelit tidak sama dengan orbit satelit yang sebenarnya.

- b. *Selective availability*, adalah metode yang pernah diaplikasikan untuk memproteksi ketelitian posisi absolut secara *real-time*.
- c. Kesalahan jam receiver dan jam satelit. Setiap satelit GPS selalu dilengkapi oleh beberapa jam atom yang digunakan untuk mendefinisikan system waktu. Jam jam tersebut akan mengalami penyimpangan. Pada umumnya receiver GPS dilengkapi dengan jam kristal quartz yang relatif lebih kecil, lebih murah, dan relatif membutuhkan daya yang lebih sedikit dibandingkan dengan jam atom yang dibawa oleh satelit. Ketidak-sinkronan antara jam satelit GPS dan receiver GPS inilah yang akan memberikan informasi waktu yang berbeda dan dapat menjadi sumber kealahan.
- d. Multipath, yaitu fenomena dimana sinyal dari satelit tiba diantena GPS melalui dua atau lebih lintasan yang berbeda. Hal ini dibedakan karena sinyal dipantulkan oleh benda-benda disekitar antena sebelum tiba diantena.
- e. Pergerakan dari pusat fase antena, pusat fase antena adalah pusat radiasi yang sebenarnya, dan dalam konteks GPS merupakan titik referensi yang sebenarnya digunakan dalam pengukuran sinyal secara elektronis. Karena sumber radiasi yang ideal tersebut sulit direalisasikan pada antena GPS, maka pusat fase antena GPS umunya akan berubah-ubah tergantung pada elevasi dan azimuth satelit serta intensitas sinyal dan lokasinya akan berbeda untuk sinyal L1 dan L2
- f. Bias ionosfer, jumlah elektron dan ion bebas pada lapisan ionosfer tergantung pada besarnya intensitas radiasi matahari serta densitas gas pada lapisan tersebut. Bis ionosfer akan mempengaruhi kecepatan, arah, polarisasi, dan kekuatan sinyal GPS. Ionosfer akan memperlambat pseudorange

- (ukuran jarak menjadi lebih Panjang) dan mempercepat fase (ukuran jarak menjadi lebih pendek).
- g. Bias troposfer, sinyal GPS akan mengalami refraksi, yang menyebabkan perubahan pada kecepatan dan arah sinyal GPS. Efek utama dari troposfer sangat berpengaruh pada kecepatan, atau dengan kata lain terhadap hasil ukuran jarak.
- h. *Cycle slips*, adalah ketidak-kontiyuan dalam jumlah gelombang penuh dari fase gelombang pembawa yang diamati, karena *receiver* yang disebabkan oleh satu dan lain hal 'terputus'.

#### 2.7 Bias Ionosfer

Ionosfer adalah bagian dari lapisan atas atmosfer dimana terdapat sejumlah elektron dan ion bebas yang mempengaruhi perambatan gelombang radio. Lapisan ionosfer terletak kira-kira antara 60 sampai 1000 km di atas permukaan bumi. Jumlah elektron dan ion bebas pada lapisan ionosfer tergantung pada besarnya intensitas radiasi matahari serta densitas gas pada lapisan tersebut.

Sinyal dari satelit GNSS yang kira-kira terletak 20.000 km di atas permukaan bumi harus melalui lapisan ionosfer untuk sampai ke antena di permukaan bumi. Ion-ion bebas (elektron) dalam lapisan ionosfer akan mempengaruhi propagasi sinyal satelit. Lapisan ionosfer mempengaruhi kecepatan sinyal baik itu fase maupun kode. Pada sinyal fase, ionosfer akan meningkatkan kecepatan sinyal fase sehingga waktu tempuh sinyal menjadi lebih pendek dan sebaliknya pada kode, ionosfer akan menurunkan kecepatan sinyal sehingga waktu yang ditempuh sinyal menjadi lebih panjang. Secara teori, untuk menghilangkan bias ionosfer cukup sulit mengingat tidak adanya model yang memuaskan karena bias ini terpengaruh secara spasial dan temporal.

Beberapa cara untuk mereduksi efek bias ionosfer adalah (Abidin 2007):

- Gunakan data GPS dari dua frekuensi (L1 dan L2).
- Lakukan Pengurangan (differencing) data pengamatan.
- Perpendek baseline.
- Gunakan model prediksi global ionosfer (untuk data GPS satu frekuensi) seperti model Bent dan Klobuchar.
- Gunakan parameter koreksi yang dikirimkan oleh sistem Wide Area differensial GPS (WADGPS)
- Lakukan pengamatan pada pagi atau malam hari.

Untuk mendapatkan posisi yang akurat, dilakukan penghilangan atau penghapusan penundaan ionosfer (*ionospheric delay*) melalui pengkombinasian *ionospheric-free linear combination* dari dua fase gelombang pembawa (L3) dengan formulasi sebagai berikut (Abidin 2000):

$$L3 = \frac{f1^2.L1 - f2^2.L2}{f1^2 - f2^2} \dots (1)$$

Dimana f 1 dan f 2 adalah frekuensi sinyal gelombang L1 dan L2. Kombinasi bebas ionosfer tidak mengubah amplitudo dari kesalahan dan bias yang besarnya tidak bergantung pada frekuensi, seperti kesalahan orbit dan bias troposfer. Sumber dari kesalahan dan bias yang besarnya bergantung pada frekuensi sinyal, seperti multipath dam bias ionosfer akan berubah sesudah pengkombinasian. Untuk ukuran basaline yang relatif pendek (20 km) dan perbedaan tinggi tidak lebih dari 100 m kombinasi linier ionospheric free (L3) lebih efektif digunakan untuk mereduksi bias ionosfir (Darmawan, Abidin, dan Djaja 2000)

# 2.8 Bias Troposfer

Sinyal dari satelit GNSS untuk sampai ke antena harus melalui lapisan troposfer, yaitu lapisan atmosfer netral yang berbatasan dengan permukaan bumi dimana temperatur menurun dengan membesarnya ketinggian. Lapisan ini umumnya disebut lapisan troposfer. Lapisan troposfer mempunyai ketebalan sampai 40 km

dan tergantung spasial dan temporal. Sinyal GNSS saat melalui lapisan troposfer akan mengalami refraksi. Efek utama dari troposfer akan berpengaruh pada kecepatan dan arah sinyal GNSS atau dengan kata lain terhadap hasil ukuran jarak.

Bias troposfer biasanya dipisahkan menjadi komponen kering (90% dari bias total) dan komponen basah. Dengan menggunakan model troposfer (seperti model Hopfield, Saastamoinen, Marini, dll) serta data ukuran temperatur, tekanan dan kelembaban di permukaan bumi, magnitude komponen kering dari bias troposfer biasanya dapat diestimasi sampai ketelitian 1%. Sedangkan magnitude komponen basah, yang terutama tergantung pada kandungan uap air sepanjang lintasan sinyal, biasanya lebih sulit diestimasi secara teliti dari data pengamatan meteorologi di permukaan bumi. Untuk mendapatkan ketelitian yang lebih baik dari magnitude komponen basah, peralatan Water Vapour Radiometer untuk mengukur kandungan uap air dapat digunakan. Akan tetapi instrumen tersebut harganya cukup mahal, ukurannya cukup besar dan juga cukup berat. Panjang baseline juga berpengaruh terhadap ketelitian yang dihasilkan. Baseline dengan panjang < 20 km (short Length) menghasilkan ketelitian yang lebih baik dibandingkan dengan baseline panjang > 20 km (medium length). Hail ini disebabkan pada baseline pendek memiliki kondisi meteorology yang relatif sama (Satirapod dan Chalermwattanachai 2005)

Dalam penentuan posisi menggunakan GPS ada beberapa cara yang dapat diterapkan untuk mereduksi efek troposfer (Abidin 2007), yaitu:

- Differencing hasil pengamatan.
- Perpendek baseline.
- Kedua stasiun pengamat berada pada ketinggian dan kondisi meteorologi relatif sama.
- Penggunaan model koreksi standar troposfer seperti model Hopfield dan Saastamoinen.

- Model koreksi lokal troposfer.
- Penggunaan *Water Vapour* Radiometer untuk estimasi besar komponen basah.
- Estimasi besar bias troposfer.
- Penggunaan parameter koreksi dari sistem *Wide Area Differential* GPS(WADGPS)

Model koreksi standar troposfer, besar bias troposfer dihitung dengan menggunakan data temperatur, tekanan dan kelembaban udara yang diukur di permukaan bumi. Dalam hal ini dikenal beberapa model standar troposfer yaitu Hopfield, Saastamoinen, Black, Marini, dll. Dari beberapa model tersebut yang cukup banyak digunakan dalam pengolahan data GPS adalah model Hopfield dan Saastamoinen. Berikut adalah formulasi model Saastamoinen:

$$d = \frac{0,002277}{cosz}.\left\{p + \left(\frac{1255}{T} + 0,005\right).e - tan^2z\right\}dR.....(2)$$

Dimana:

d = model saastamoinen

Z = sudut zenith satelit

P = tekanan atmosfer (mbar)

T = temperatur (°K)

e = tekanan parsial dari uap air (mbar)

dR = nilai faktor koreksi (tergantung ketinggian

stasiun di atas permukaan laut)

# 2.9 Metode, Lama Pengamatan dan Prinsip Pengukuran GPS

Konsep dasar pada penentuan posisi dengan GPS adalah reseksi (pengikatan kebelakang) dengan jarak, yaitu dengan pengukuran jarak secara simultan kebeberapa satelit GPS yang koordinatnya telah diketahui (Seaber 2013)

Metode penentuan posisi dengan GPS pertama – tama dibagi dua, yaitu metode absolut, dan metode differential. Masing –

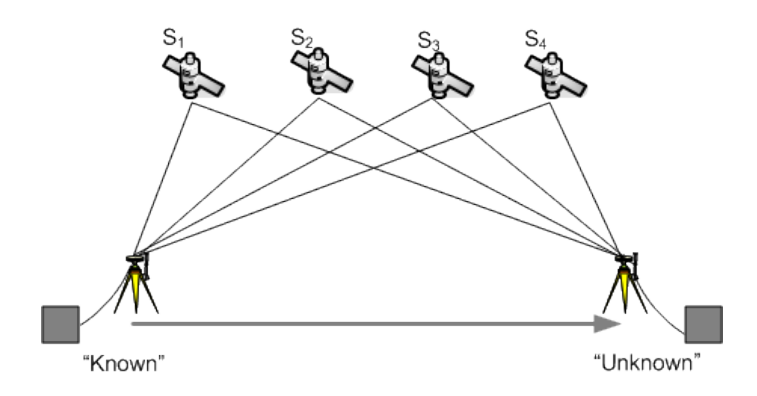
masing metode dapat dilakukan dengan cara *real time* atau *post-processing*. Apabila obyek yang ditentukan posisinya diam, maka metodenya disebut kinematik. Selanjutnya, metode yang lebih detail antara lain metode – metode seperti SPP, DGPS, RTK, *rapid static*, *pseudo kinematic*, *stop and go* serta beberapa metode lainnya (Rahmad 2016).

#### a. Metode Penentuan Posisi Absolut

Penentuan posisi secara absolut atau juga dikenal sebagai point positioning adalah metode penentuan posisi yang paling mendasar dari GPS dimana penentuan posisi dapat dilakukan per titik tanpa bergantung pada titik lainnya. Untuk penentuan posisi hanya memerlukan satu receiver GPS. Titik yang ditentukan posisinya bisa dalam keadaan diam (mode statik) ataupun dalam keadaan bergerak (mode kinematik). Aplikasi utama dari metode ini adalah untuk keperluan navigasi atau aplikasi – aplikasi lain yang memerlukan informasi posisi yang tidak terlalu teliti tapi tersedia secara real time, seperti untuk keperluan reconnaissance dan ground truthing.

## b. Metode Penentuan Posisi Differential

Metode relatif atau sering disebut differential positioning, menentukan posisi dengan menggunakan lebih dari sebuah receiver. Satu GPS dipasang pada lokasi tertentu dimuka bumi dan secara terus menerus menerima sinyal dari satelit dalam jangka waktu tertentu dijadikan sebagai referensi bagi yang lainnya. Ilustrasi dari metode ini dapat dilihat pada Gambar2.3 berikut.



Gambar. 2.3 Metode Penentuan Posisi *Differential* (Abidin 2007)

Prinsipnya adalah dengan mengurangkan data yang diamati oleh dua *receiver* GPS pada waktu yang bersamaan sehingga beberapa jenis kesalahan dan bias dari data dapat dielemininasi atau direduksi. Pengeleminasian dan pereduksian ini akan meningkatkan akurasi dan presisi data yang selanjutnya berimplikasi pada posisi yang diperoleh.

#### c. Metode Penentuan Posisi Static

Penentuan posisi secara *static* (*static positioning*) adalah penentuan posisi dari titik – titik yang *static* (diam). Penentuan posisi tersebut dapat dilakukan secara absolut maupun diferensial, dengan menggunakan data *pseudorange* dan/atau fase. Dibandingkan dengan metode penentuan posisi kinematik, ukuran lebih pada suatu titik pengamatan yang diperoleh dengan metode *static* biasanya lebih banyak. Hal ini menyebabkan kendala dan ketelitian posisi yang diperoleh umumnya relatif lebih tinggi (dapat mencapai orde mm sampai cm). Salah satu bentuk implementasi dari metode penentuan posisi *static* yang popular adalah survei GPS untuk penentuan koordinat dari titik – titik kontrol untuk keperluan pemetaan ataupun pemantauan fenomena deformasi dan geodinamika.

Metode – metode tersebut yang menentukan ketelitian posisi yang diinginkan. Ketelitian GPS bervariasi mulai dari fraksi meter sampai milimeter, tergantung pada metode apa yang digunakan. Selain metode yang digunakan, ada beberapa faktor yang mempengaruhi salah satunya adalah lama pengamatan. Lama pengamatan ini dipengaruhi juga oleh panjang *baseline* yang diamati. Metode dan lama pengamatan terhadap panjang *baseline* dapat dilihat pada Tabel 2.2 berikut.

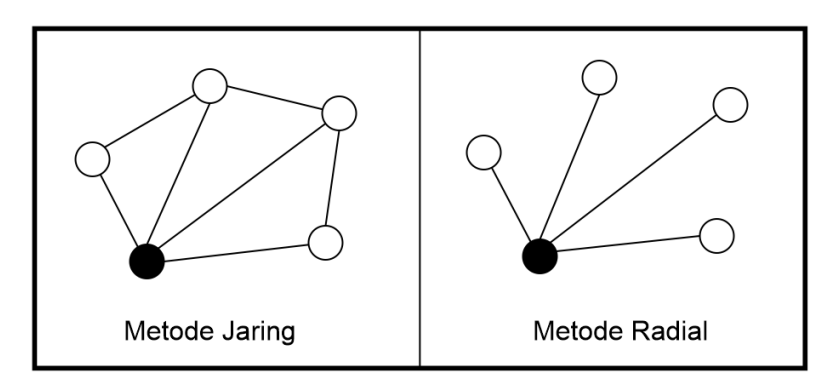
Tabel. 2.2 Metode dan Lama Waktu Pengamatan terhadap Panjang Baseline (Abidin 2007)

Panjang	Metode	Lama Pengamatan	
Baseline	Metode	GPS L1	GPS L1 dan L2
0 5 VM	Stop and Go	2 menit	2 menit
0-5  KM	Rapid Static	30 menit	15 menit
5 – 10 KM	Rapid Static	50 menit	25 menit
10 – 30 KM	Static	90 menit	60 menit
30 – 50 KM	Static	180 menit	120 menit

### 2.10 Geometri Jaring

Pada survei GPS dikenal dua metode geometri jaringan, yakni metode jaring radial dan metode jaring tertutup seperti pada Gambar 2.4. Metode jaring radial dilakukan dengan menempatkan satu *receiver* pada titik tetap dan mengukur *baseline* – *baseline* dari titik tetap tersebut ke *receiver* lain di titik rencana. Sedangkan karakteristik dari jaring GPS adalah perlu adanya titik ikat sebagai referensi atau integrasikan koordinat hasil ukuran terhadap sistem koordinat titik – titik ikat. Titik – titik ikat tersebut dapat berfungsi sebagai titik kontrol. Titik pada jaring dihubungkan oleh *baseline* – *baseline* yang dirancang sesuai desain jaringnya. Metode jaring tertutup digunakan sebagai *input* data untuk hitungan jaring adalah komponen vektor *baseline* (dx, dy, dz). Solusi koordinat dari

metode jaring tertutup tidak konsisten sebab ada ukuran lebih, sehingga perlu hitung perataan.



Gambar. 2.4 Metode jaringan dan metode radial (Abidin 2011)

#### 2.11 Penelitian Sebelumnya

Penelitian mengenai akurasi penentuan posisi terhadap penggunaan satelit GNSS sebelumnya sudah pernah dilakukan. Izman dan Rudianto (2011) melakukan penelitian komparatif ketelitian posisi titik hasil pengukuran dari satelit GPS dan satelit GLONASS. Pada penelitian ini dilakukan pengukuran GNSS di 8 titik, dimana 4 titik adalah baseline pendek kurang dari 5 Km dan 4 baseline panjang lebih dari 12 Km. Pengukuran dilakukan dengan menggunakan receiver Topcon Hiper II, data hasil pengukuran diolah dengan 2 strategi, yaitu diolah dengan memakai sinyal satelit GPS saja dan dengan sinyal satelit GPS + GLONASS untuk masing – masing baseline pendek dan panjang. Hasil dari strategi pengolahan ini didapatkan bahwa strategi dengan pengolahan dengan menggunakan sinyal satelit GPS + GLONASS menghasilkan rata – rata ketelitian yang lebih kecil dibandingkan dengan strategi pengolahan yang hanya menggunakan sinyal satelit GPS saja.

Gumilar, dkk (2016) melakukan penelitian mengenai kontribusi BEIDOU untuk meningkatkan akurasi penentuan posisi di daerah Bandung. Penelitian ini dilakukan dengan menggunakan receiver GNSS COMNAV T300 pada 13 titik desain jaring. Pengolahan data dilakukan dengan menggunakan sinyal satelit GPS saja dan GPS + BEIDOU dan dilakukan analisa untuk mengetahui berapa peningkatan dari akurasi yang didapatkan. Hasil penelitian menunjukkan bahwa dengan mengombinasikan data BEIDOU (B1 dan B2) dengan GPS (L1 dan L2), dibandingkan dengan menggunakan data GPS saja, hal ini menunjukkan akurasi yang lebih baik sebesar 31,3% pada easting, 49,9% pada northing, dan 13,6% pada tinggi, dan untuk peningkatan presisi sebesar 20,1% pada easting, 30,7% pada northing, dan 32,7% pada tinggi. Hal ini menunjukkan bahwa penggunaan BEIDOU dapat meningkatkan akurasi penentuan posisi di Bandung.

#### 2.12 Topcon Tools v8.2

Topcon Tools adalah perangkat lunak pengolahan dan analisis milik produk Topcon. Perangkat ini mudah dipelajari dan digunakan, mudah dikostumisasi untuk mencocokkan alur kerja. Topcon tools mendukung semua instrument survei Topcon dan data kolektor. Ini adalah perangkat lunak yang modular termasuk Total Station, RTK, *Post Processing*, GIS, Desain, dan pencitraan. Topcon tools mudah disesuaikan untuk alur kerja dan mendukung beberapa pekerjaan termasuk peta, pendudukan, Google *Earth*, Tabular, CAD dan 3D. Topcon Tools dapat digunakan untuk (Topcon 2009):

### 2.13 Hi Target Geomatics Office

Hi-Target *Geomatics Office* adalah perangkat lunak pemrosesan data desktop. Aplikasi baru untuk memproses *baseline*, program ini dapat menghitung data untuk observasi waktu yang sangat lama, dan dapat mengeluarkan kesalahan besar,

membuat pekerjaan untuk memproses *baseline* menjadi lebih sederhana. Perangkat lunak ini mendukung solusi multi-sistem GPS / GLONASS / Compass (Hi Target 2018).

### 2.14 Prosedur pengukuran GPS

Prosedur mengenai pengukuran GPS untuk pengadaan jaring kontrol horizontal terdapat pada SNI 19-6724 tahun 2002 tentang jaring kontrol horizontal. Standar ini meliputi ruang lingkup, istilah dan definisi, klasifikasi, konvensi, dan spesifikasi teknis dari pembangunan dan pengembangan jaring titik kontrol geodetik horizontal nasional. Pada Tabel 2.3 berikut akan disajikan spesifikasi Teknik metode dan strategi pengamatan jaring titik kontrol horizontal.

Tabel. 2.3 Spesifikasi Teknis metode dan Strategi Pengamatan Jaring Titik kontrol Geodetik Orde-00 s/d Orde-4

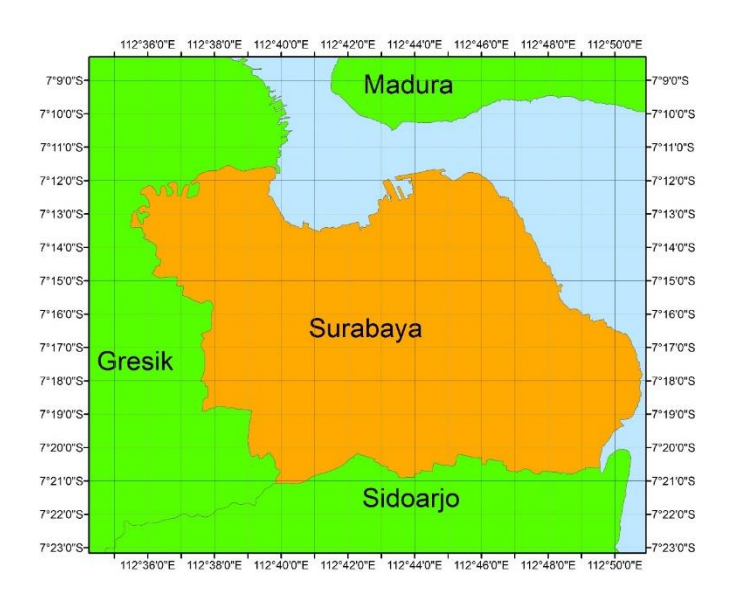
<i>g</i>	Orde Jaringan					
	00	0	1	2	3	4
Metode	GPS	Survei	Survei	Survei	Survei	Survei
Pengamatan	Kontinu	GPS	GPS	GPS	GPS	GPS
Lama Pengamatan (Minimum)	Kontinu	24 Jam	6 Jam	2 Jam	1 Jam	0,25 Jam
Metode Pengmatan	Jaring Tetap	Jaring	Jaring	Jaring	Jaring	Radial
Interval Pengamatan (detik)	30	30	30	15	15	15
Jumlah Satelit Minimum	Tidak ada	4 Satelit				
Elevasi Satelit Minimum		15°				
Pengamatan Data Meteorologis	Ya	Ya	Ya	Tidak	Tidak	Tidak

pengolahan data untuk memperoleh koordinat titik pada semua jenis orde jaringan, harus berbasiskan pada hitung perataan kuadrat terkecil berkendala penuh. Pengolahan data survei GPS untuk jaring-jaring orde-00, orde-0 dan orde-1 harus menggunakan perangkat lunak ilmiah, seperti Bernesse dan GAMIT. Pengolahan data survei GPS untuk jaring-jaring orde-2, orde-3, dan orde-4(GPS) dapat menggunakan perangkat lunak komersial, seperti SKI, GPSurvey dan perangkat lunak komersil lainnya.

### BAB III METODOLOGI PENELITIAN

#### 3.1. Lokasi Penelitian

Pada penelitian ini dilakukan pengukuran GNSS sejumlah 20 titik di area Kota Surabaya, Jawa Timur yang berada pada 07°09' – 07°21' LS dan 112°36'- 112°54' BT.



Gambar. 3.1 Lokasi Penelitian

#### 3.2. Data Dan Peralatan

#### 3.2.1 Data

Data yang digunakan pada tugas akhir ini adalah data survei GNSS dari satelit GPS, GLONASS, dan BEIDOU. Data diperoleh dengan melakukan pengukuran langsung lapangan survei GNSS area Surabaya. Pengukuran dilakukan pada 14 dan 15 April 2018 dengan metode survei statik

diferensial menggunakan receiver Hi Target V30 dengan desain pengukuran radial 20 *baseline* dengan Panjang *baseline* 1 KM, 5 KM, 10 KM, 15 KM, dan 20 KM masing – masing berjumlah 4 *baseline*. Pengukuran dilakukan selama satu jam dengan interval 5 detik dan sudut elevasi (*mask angle*) 15°. Titik ikat (*base point*) berada di BM ITS 01 didepan Rektorat Institut Teknologi Sepuluh Nopember Surabaya.

#### 3.2.1. Peralatan

### 1.Perangkat Keras (*Hardware*)

a. Receiver Hi Target V30



Gambar. 3.2 Receiver Hi Target V30 (Hi Target 2018)

Tabel. 3.1 Spesifikasi Hi Target V30 (Hi Target 2016)

	<u> </u>
Sinyal Satelit yang	GPS L1C/A, L2C, L2E, L5
dapat Ditangkap	GLONASS L1C/A, L1P, L2C/A
	(GLONASS M only), L2P
	SBAS L1 C/A, L5
	Galileo L1 BOC, ESA, EBS, ESB,
	ESAItBOC
	BDS B1, B2
	QZSS L1 C/A, L1 SAIF, L2C, L5
Spesifikasi Peforma	
Statik	Horizontal: 2,5 mm+ 0,5ppm RMS
	Vertikal: 5mm+ 0,5ppm RMS

Post Processing	Horizontal: 10mm+ 1,0ppm RMS
Kinematic / Stop &	Vertikal: 25mm+ 1,0ppm RMS
Go	vortikai. 25 mm + 1,0 ppm Rivis
Go	
RTK	Horizontal: 8mm+ 1,0ppm RMS
	Vertikal: 15mm+ 1,0ppm RMS
Spesifikasi Daya	
Baterai	5000mAh Li-ion Baterai
Waktu Pemakain	Waktu Kerja Statik 13 - 15 Jam
	RTK Rover (UHF/GPRS/GSM) 10 - 12
	Jam
	RTK Base 8 - 10 Jam
Komsumsi Daya	2,5 W
Fisik Perangkat	
Keras Dimensi (Wx	19,50 cm x 10,40 cm
H)	1,3 kg dengan baterai internal, radio
Berat	internal, standar UHF antenna
	IP67 dustproof, Terlindung
Water/Dustproof	dikedalaman sampai dengan 1 m
Suhu Operasi	-45°C sampai 65°C
Hi Target radio	
UHF internal	
(standar)	
Frekuensi	460 Mhz dengan 116 saluran
Daya Transmisi	0,1 W, 1W, 2W
Kecepatan	Up to 19,2 Kbps
Transmisi	3–5 km <i>typical</i> ,
Jarak Kerja	8 – 10 km <i>optimal</i>
Hi Target Radio	
UHF Eksternal	
(standar)	
Frekuensi	460 Mhz dengan 116 saluran
Daya Transmisi	5 W, 10W, 20W
Kecepatan	Up to 19,2 Kbps
Transmisi	8 - 10 km <i>typical</i> ,
Jarak Kerja	15 – 20 km <i>optimal</i>

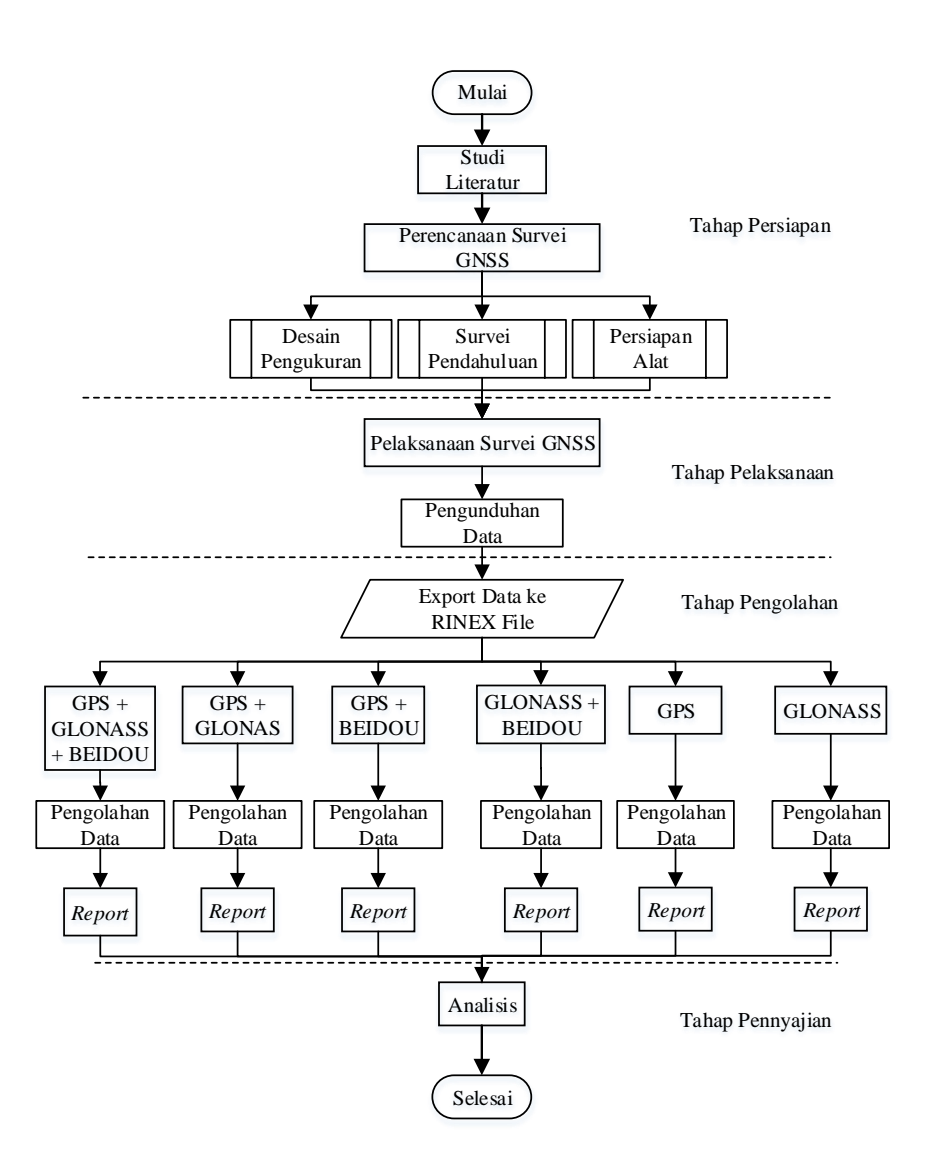
Komunikasi GPS/GPRS atau 3G	Fully Integrated, Fully sealed Internal GPRS/GSM or 3G Network RTK (via CORS) jarak 20-50 km
Penyimpanan	
Penyimpanan Data	64 MB internal memory
Format Data	(1Hz positioning output, up to 50 Hz -
	depends on installed option) CMR: sCMRx, CMR, CMR+ input and
	output
	RTCM: RTCM 2.1, 2.2, 2.3, 3.0,
	3.1,3.2 input and output
	Navigation outputs ASCII: NMEA-
	0183 GSV, AVR, RMC, HDT, VGK,
	VHD, ROT, GGK, GGA, GSA, ZDA,
	VTG, GST, PJT, PJK, BPQ, GLL,
	GRS, GBS
	Navigation outputs Binary: GSOF
	1 Pulse Per Second Output

### 2. Perangkat Lunak (Software)

- a. *Software* Topcon tools 8.2.3 sebagai perangkat lunak komersil pengolah data GPS
- b. *software* HGO digunakan untuk melakukan konversi data ke format RINEX
- c. Microsoft Office 365 digunakan untuk pembuatan laporan dan pengolahan hasil tabular koordinat pengolahan Topcon Tools.

### 3.3. Tahapan Penelitian

Secara garis besar, tahapan penelitian yang direncanakan digambarkan pada Gambar 3.2 berikut:



Gambar. 3. 3 Diagram Alir Penelitian

penjelasan dari diagram alir penelitian tersebut adalah sebagai berikut :

#### 1. Studi Literatur

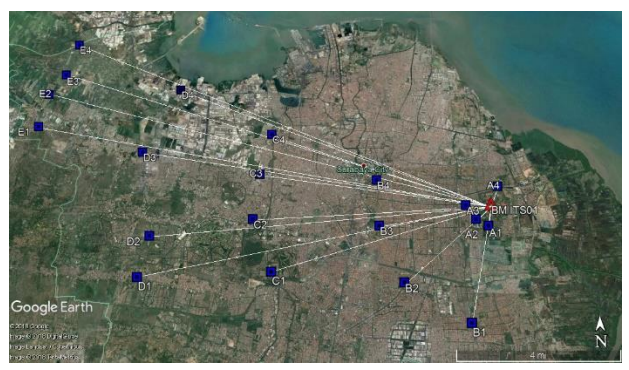
Tahap studi literatur dilakukan dengan mencari referensi yang berkaitan dengan masalah yang diangkat dalam penelitian baik cetak berupa buku — buku referensi mengenai pengukuran GNSS maupun melalui website dan paper — paper yang tersedia secara online di internet.

#### 2. Perencanaan Survei GNSS

Pada tahap ini dilakukan perencanaan sebelum melakukan survei.

#### a. Pembuatan desain

Desain pengukuran dibuat seperti Gambar 3.4 seperti di bawah ini.



Gambar. 3. 4 Desain Pengukuran penelitian Titik pengukuran berada di area Kota Surabaya sejumlah total 20 *baseline* dengan Panjang *baseline* 1 KM, 5KM, 10KM, 15 KM,20 KM, dan 20 KM masing – masing sebanyak 4 *baseline*.

#### b. Survei Pendahuluan

Dilakukan survei lokasi sesuai dengan desain yang telah dibuat, apakah lokasi memungkinkan untuk

dilakukannya pengukuran atau harus ganti lokasi yang memungkinkan.

c. Persiapan alat.

Mempersiapkan alat yang akan digunakan untuk pengukuran tugas akhir, mengecek kelengkapan *receiver* yang digunakan.

#### 3. Pelaksanaan Survei GNSS

Pada tahap ini dilakukan pengukuran survei GNSS sesuai dengan desain yang sudah dibuat sebelumnya. Pengukuran dilakukan pada 14 dan 15 April 2018. perekaman data diambil dengan menggunakan *receiver* Hi Target V30 yang dapat menangkap sinyal GPS, GLONASS, dan BEIDOU.

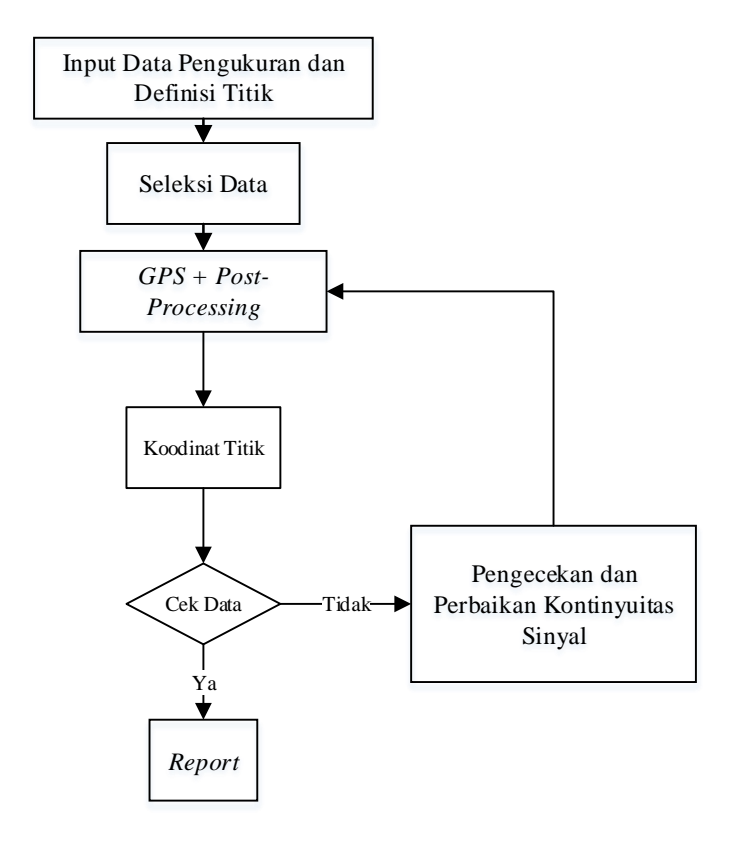
4. Pengunduhan Data Dilakukan proses pengunduhan data hasil pengukuran.

#### 5. Pengolahan Data

Pada proses ini dilakukan pemilihan data GPS, GLONASS, dan BEIDOU yang kemudian dilakukan pengolahan dengan 6 strategi yang berbeda. Perbedaannya berada pada penggunaan kombinasi satelit yang berbeda – beda antar strategi, yaitu:

- 1. Menggunakan data GPS + GLONASS + BEIDOU,
- 2. Menggunakan data GPS+ GLONASS,
- 3. Menggunakan data GPS + BEIDOU,
- 4. Menggunakan data GLONASS + BEIDOU,
- 5. Menggunakan data GPS, dan
- 6. Menggunakan GLONASS

Pengolahan dilakukan dengan menggunakan *software* komersil pengolah GNSS yaitu Topcon Tools 8.2.3. Pada Gambar 3.5 berikut merupakan diagram alir proses pengolahan data.



Gambar. 3. 5 Diagram Alir Pengolahan Data

Pada proses ini dilakukan terpisah setiap strateginya. Proses ini meliputi *input* data pengukuran seperti tinggi alat dan pendefinisian titik, lalu dilakukan seleksi data yang akan digunakan, dilanjutkan dengan melakukan *post-processing* Hasil *post-processing* ini akan mendapatkan koordinat titik beserta parameternya. Dilakukan pengecekan apakah data sudah sesuai dengan spesifikasi alat, jika tidak maka dilakukan proses pengecekan data dan

perbaikan kontinyuitas sinyal untuk dilakukan pengolahan ulang, jika sesuai maka dilakukan *report* hasil pengolahan.

# 6. Report

Proses ini adalah menampilkan hasil dari pengolahan, seperti koordinat, akurasi, dll dari proses pengolahan

#### 7. Analisis

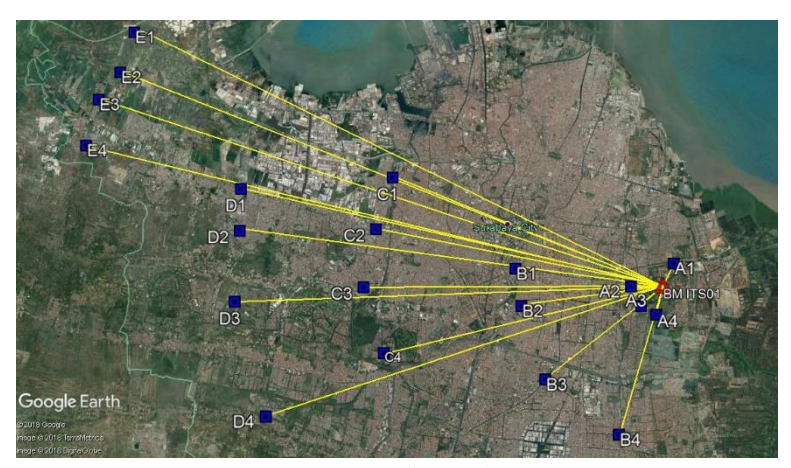
Proses anlisis dilakukan Analisa dari hasil report masing – masing strategi pengolahan data GNSS. Dibandingkan hasil dari ke 6 strategi pengolahan.

"Halaman ini sengaja dikosongkan"

### BAB IV HASIL DAN PEMBAHASAN

### 4.1 <u>Hasil Perhitungan Posisi</u>

Pengolahan data GNSS dilakukan dengan menggunakan Topcon Tool 8.2.3 yaitu, perangkat lunak pengolah GNSS komersil. Hasil pengolahan menghasilkan nilai koordinat yang sudah ada pada sistem proyeksi UTM zona 49S, RMS error horizontal dan vertikal setelah dilakukan proses *post–processing*. Pada pengolahan ini langsung dilakukan proses pada keseluruhan 20 *baseline* yang ada berdasarkan dengan kombinasi satelit yang digunakan. Konfigurasi *baseline* dapat dilihat pada Gambar. 4.1 di bawah ini.



Gambar. 4.1 Konfigurasi baseline

Pada Gambar 4.1 di atas terdapat 20 *baseline*, titik ITS 01 yang berada di depan gedung Rektorat ITS sebagai *control point*. Titik ITS 01 ditunjukkan pada Gambar 4.2 dan Tabel 4.1 berikut.

Tabel. 4.1 Koordinat BM ITS 01

Koordinat ITS 01		
Northing	9194686,012 m	
Easting	698.076,449 m	
Elevasi	36,056 m	
Lintang Selatan	7°16'55.123"	
Bujur Timur	112°47'38.956"	
Elevasi	36,056 m	



Gambar. 4. 2 BM ITS 01

Penamaan titik ditentukan dengan kode berdasarkan panjang *baseline* yang dimiliki. Titik dengan panjang *baseline* 1KM berkode A, panjang *baseline* 5 KM berkode B, Panjang *baseline* 10KM berkode C, panjang *baseline* 15 KM berkode D, dan kode E untuk titik dengan panjang *baseline* 20 KM. Panjang dari masing – masing *baseline* ditunjukkan pada Tabel 4.1 berikut.

Tabel. 4.2 Panjang Baseline

Base	Titik	Jarak (m)
	A1	915,584
	A2	1123,152
	A3	960,171
	A4	968,860
	B1	5022,564
	B2	4957,415
	В3	6518,977
	B4	5561,453
	C1	10061,726
ITC 01	C2	10096,419
ITS 01	C3	10513,088
	C4	9778,561
	D1	14847,863
	D2	14648,182
	D3	14597,478
	D4	14242,439
	E1	20628,960
	E2	20492,886
	E3	20848,133
	E4	20860,364

Pada Tabel di atas disajikan jarak *baseline* pada setiap titik. Panjang *baseline* yang didapatkan tidak bisa tetap dengan perencanaan yang dilakukan, karena hanya perkiraan dan kondisi lokasi yang tidak memungkinkan untuk melakukan pengukuran sehingga harus digeser.

Pada penelitian ini toleransi dari hasil pengukuran berdasarkan spesifikasi alat yang ada pada Tabel. 3.1 Spesifikasi Hi Target V30, dimana untuk ketelitiannya adalah 2,5 mm + 0,5 ppm untuk ketelitian horizontalnya. Sehingga pada penelitian ini toleransi yang didapatkan untuk masing - masing *baseline* sebagai berikut.

- Baseline 1 KM memiliki toleransi sebesar 3 mm
- Baseline 5 KM memiliki toleransi sebesar 5 mm

- Baseline 10 KM memiliki toleransi sebesar 7,5 mm
- Baseline 15 KM memiliki toleransi sebesar 10 mm
- Baseline 20 KM memiliki toleransi sebesar 12,5 mm

Berikut merupakan hasil pengolahan yang didapatkan berdasarkan kombinasi satelit yang digunakan:

a. Penggunaan Satelit GPS + GLONASS + BEIDOU
 Pengolahan dengan menggunakan kombinasi satelit
 GPS + GLONASS + BEIDOU didapatkan hasil nilai
 koordinat dan RMS error sebagai berikut:

Tabel. 4.3 RMS *error* Hasil Pengolahan Satelit GPS + GLONASS + BEIDOU

Baseline	Horizontal RMS (m)	Vertikal RMS (m)		
A1	0,002	0,005		
A2	0,003	0,006		
A3	0,005	0,008		
A4	0,003	0,004		
B1	0,003	0,005		
B2	0,003	0,004		
В3	0,004	0,008		
B4	0,003	0,005		
C1	0,011	0,020		
C2	0,014	0,023		
C3	0,019	0,014		
C4	0,007	0,012		
D1	0,008	0,011		
D2	0,007	0,012		
D3	0,008	0,013		
D4	0,008	0,013		

Baseline	Horizontal RMS (m)	Vertikal RMS (m)
E1	0,013	0,015
E2	0,010	0,023
E3	0,015	0,015
E4	0,013	0,020

Tabel. 4.4 Koordinat Hasil Pengolahan Satelit GPS + GLONASS + BEIDOU

Titik	Grid Northing (m)	Grid Easting (m)	Elevasi (m)
A1	9195507,698	698480,505	36,472
A2	9194697,617	696953,271	35,618
A3	9194343,902	697476,972	35,947
A4	9193745,304	697844,271	35,399
B1	9195028,776	693065,253	36,824
B2	9194101,014	693153,332	37,112
В3	9190478,333	693096,663	36,161
B4	9189308,514	696656,237	35,560
C1	9198282,968	688679,01	36,106
C2	9196401,953	688126,342	37,767
C3	9194663,607	687562,831	50,813
C4	9192105,308	688644,000	39,803
D1	9197695,007	683535,990	37,392
D2	9196202,934	683506,377	49,715
D3	9193676,885	683513,27	57,449
D4	9189891,531	684664,546	44,614
E1	9203722,651	679531,258	35,634
E2	9201816,299	678863,259	35,429
E3	9200260,331	677986,649	36,937

Titik	Grid Northing (m)	Grid Easting (m)	Elevasi (m)
E4	9199201,87	677710,069	41,509

Pada Tabel 4.3 dan Tabel 4.4 menampilkan nilai RMS *error* dan koordinat dari pengolahan menggunakan satelit GPS + GLONASS + BEIDOU. Hasil dari pengolahan ini didapatkan RMS *error* terkecil bernilai 0,002 m pada *baseline* A1, RMS terbesar bernilai 0,015 m pada *baseline* E3, dan rata – rata RMS *error* bernilai 0,008 m.

#### b. Penggunaan Satelit GPS + GLONASS

Hasil dari pengolahan dengan menggunakan kombinasi satelit GPS + GLONASS didapatkan hasil koordinat dan RMS *error* yang disajikan pada Tabel 4.5 dan Tabel 4.6 sebagai berikut:

Tabel. 4.5 RMS *error* Hasil Pengolahan Satelit GPS + GLONASS

Baseline	Horizontal RMS (m)	Vertikal RMS (m)
A1	0,002	0,005
A2	0,003	0,006
A3	0,005	0,008
A4	0,003	0,004
B1	0,003	0,005
B2	0,003	0,004
В3	0,004	0,008
B4	0,003	0,005
C1	0,011	0,020
C2	0,014	0,023
C3	0,019	0,014

Baseline	Horizontal RMS (m)	Vertikal RMS (m)
C4	0,007	0,012
D1	0,008	0,011
D2	0,007	0,012
D3	0,008	0,013
D4	0,008	0,013
E1	0,013	0,015
E2	0,010	0,023
E3	0,015	0,015
E4	0,013	0,020

Tabel. 4.6 Koordinat Hasil Pengolahan Satelit GPS + GLONASS

Titik	Grid <i>Northing</i> (m)	Grid Easting (m)	Elevasi (m)
A1	9195507,698	698480,505	36,472
A2	9194697,617	696953,271	35,618
A3	9194343,902	697476,972	35,947
A4	9193745,304	697844,271	35,399
B1	9195028,776	693065,253	36,824
B2	9194101,014	693153,332	37,112
В3	9190478,333	693096,663	36,161
B4	9189308,514	696656,237	35,560
C1	9198282,968	688679,01	36,106
C2	9196401,953	688126,342	37,767
C3	9194663,607	687562,831	50,813
C4	9192105,308	688644	39,803
D1	9197695,007	683535,99	37,392

Titik	Grid <i>Northing</i> (m)	Grid Easting (m)	Elevasi (m)
D2	9196202,934	683506,377	49,715
D3	9193676,885	683513,27	57,449
D4	9189891,531	684664,546	44,614
E1	9203722,651	679531,258	35,634
E2	9201816,299	678863,259	35,429
E3	9200260,331	677986,649	36,937
E4	9199201,87	677710,069	41,509

Hasil yang didapatkan dari pengolahan ini tidak berbeda dengan pengolahan dengan menggunakan satelit GPS + GLONASS + BEIDOU, atau dengan lebih tepatnya hasilnya sama persis, baik itu untuk nilai koordinat ataupun RMS *error* untuk semua *baseline*.

# c. Penggunaan Satelit GPS +BEIDOU

Pada strategi pengolahan ke 3, yaitu pengolahan dengan menggunakan kombinasi satelit GPS + BEIDOU didapatkan hasil koordinat dan RMS *error* yang disajikan pada Tabel 4.7 dan Tabel 4.8 di bawah ini.

Tabel. 4.7 RMS *error* Hasil Pengolahan Satelit GPS + BEIDOU

Baseline	Horizontal RMS (m)	Vertikal RMS (m)
A1	0,002	0,004
A2	0,004	0,007
A3	0,010	0,019
A4	0,005	0,009

Baseline	Horizontal RMS (m)	Vertikal RMS (m)
B1	0,003	0,005
B2	0,004	0,005
В3	0,005	0,010
B4	0,003	0,005
<b>C</b> 1	0,010	0,024
C2	0,015	0,023
C3	0,033	0,053
C4	0,006	0,011
D1	0,008	0,012
D2	0,008	0,016
D3	0,009	0,013
D4	0,009	0,019
E1	0,013	0,016
E2	0,011	0,028
E3	0,017	0,027
E4	0,014	0,018

Tabel. 4.8 Koordinat Hasil Pengolahan Satelit GPS + BEIDOU

Titik	Grid <i>Northing</i> (m)	Grid Easting (m)	Elevasi (m)
A1	9195507,695	698480,505	36,509
A2	9194697,619	696953,277	35,654
A3	9194343,893	697476,988	36,044
A4	9193745,308	697844,269	35,442
B1	9195028,778	693065,252	36,825
B2	9194101,01	693153,328	37,114

Titik	Grid <i>Northing</i> (m)	Grid Easting (m)	Elevasi (m)
В3	9190478,339	693096,643	36,233
B4	9189308,51	696656,242	35,608
C1	9198282,951	688678,991	36,105
C2	9196401,952	688126,335	37,789
C3	9194663,605	687562,836	50,829
C4	9192105,305	688644,017	39,790
D1	9197695,036	683535,956	37,333
D2	9196202,932	683506,376	49,686
D3	9193676,888	683513,263	57,453
D4	9189891,526	684664,52	44,583
E1	9203722,666	679531,238	35,646
E2	9201816,315	678863,213	35,394
E3	9200260,325	677986,663	36,965
E4	9199201,863	677710,092	41,505

Berdasarkan dati kedua tabel di atas diketahui nilai RMS error terkecil sebesar bernilai 0,033 m , RMS terkecil bernilai 0,002 dan rata — rata RMS bernilai 0,009 m.

# d. Penggunaan Satelit GLONASS + BEIDOU

Hasil dari pengolahan dengan menggunakan kombinasi satelit GLONASS + BEIDOU didapatkan hasil sebagai berikut:

Tabel. 4.9 RMS *error* Hasil Pengolahan Satelit GLONASS + BEIDOU

Baseline	Horizontal RMS (m)	Vertikal RMS (m)
A1	0,010	0,014
A2	0,005	0,010
A3	0,006	0,008
A4	0,004	0,004
B1	0,006	0,010
B2	0,005	0,005
В3	0,005	0,010
B4	0,007	0,012
C1	0,445	0,380
C2	0,088	0,178
C3	0,016	0,011
C4	0,018	0,046
D1	0,013	0,018
D2	0,017	0,019
D3	0,013	0,021
D4	0,051	0,064
E1	0,056	0,113
E2	0,178	0,254
E3	0,304	0,283
E4	0,022	0,025

Tabel. 4.10 Koordinat Hasil Pengolahan Satelit GLONASS + BEIDOU

Titik	Grid Northing (m)	Grid Easting (m)	Elevasi (m)
A1	9195507,718	698480,538	36,488
A2	9194697,610	696953,266	35,634
A3	9194343,899	697476,972	35,938
A4	9193745,292	697844,292	35,406
B1	9195028,763	693065,260	36,815
B2	9194101,022	693153,328	37,110
B3	9190478,317	693096,677	36,163
B4	9189308,522	696656,248	35,528
C1	9198282,794	688680,078	34,707
C2	9196402,016	688126,308	37,842
C3	9194663,607	687562,832	50,815
C4	9192105,254	688644,009	39,983
D1	9197695,043	683535,950	37,317
D2	9196202,938	683506,358	49,721
D3	9193676,884	683513,268	57,402
D4	9189891,117	684664,901	44,228
E1	9203722,272	679531,408	35,046
E2	9201817,191	678864,587	33,046
E3	9200260,383	677986,949	36,334
E4	9199201,921	677709,981	41,464

Pada Tabel 4.8 dan Tabel 4.9 disajikan nilai koordinat dan RMS *error* pada pengolahan dengan menggunakan satelit GLONASS + BEIDOU. Nilai dari RMS *error* terkecil berada di *baseline* A4 dengan nilai 0,004 m dan RMS *error* terbesar berada di

*baseline* C1 dengan nilai sebesar 0,380 m, sementara rata – rata nilai RMS bernilai 0,074 m.

### e. Penggunaan Satelit GPS

Pada strategi pengolahan ini hanya digunakan 1 satelit saja, yaitu satelit GPS saja tanpa kombinasi dengan satelit yang lain.

Tabel. 4.11 RMS *error* Hasil Pengolahan Satelit GPS

Satelit GPS	Horizontal	Vertikal RMS
Baseline	RMS (m)	(m)
A1	0,002	0,004
A2	0,004	0,007
A3	0,010	0,019
A4	0,005	0,009
B1	0,003	0,005
B2	0,004	0,005
В3	0,005	0,010
B4	0,003	0,005
C1	0,010	0,024
C2	0,015	0,023
C3	0,033	0,053
C4	0,006	0,011
D1	0,008	0,012
D2	0,008	0,016
D3	0,009	0,013
D4	0,009	0,019
E1	0,013	0,016
E2	0,011	0,028
E3	0,017	0,027

Baseline	Horizontal RMS (m)	Vertikal RMS (m)
E4	0,014	0,018

Tabel. 4.12 Koordinat Hasil Pengolahan Satelit GPS

Titik	Grid Northing (m)	Grid Easting (m)	Elevasi (m)
A1	9195507,695	698480,505	36,469
A2	9194697,619	696953,277	35,614
A3	9194343,893	697476,988	36,004
A4	9193745,308	697844,269	35,403
B1	9195028,778	693065,252	36,825
B2	9194101,010	693153,328	37,114
В3	9190478,339	693096,643	36,193
B4	9189308,510	696656,242	35,568
C1	9198282,951	688678,991	36,105
C2	9196401,952	688126,335	37,789
C3	9194663,605	687562,836	50,829
C4	9192105,305	688644,017	39,790
D1	9197695,036	683535,956	37,333
D2	9196202,932	683506,376	49,686
D3	9193676,888	683513,263	57,453
D4	9189891,526	684664,520	44,583
E1	9203722,666	679531,238	35,646
E2	9201816,315	678863,213	35,394
E3	9200260,325	677986,663	36,965
E4	9199201,863	677710,092	41,505

Pada Tabel 4.11 dan Tabel 4.12 di atas disajikan hasil koordinat dan RMS *error* dari pengolahan ini. Hasilnya didapatkan nilai RMS *error* terbesar yaitu 0,33 m dan nilai RMS terkecil sebesar 0,002 m , sementara rata – rata RMS *error* didapatkan nilai sebesar 0,009 m.

## f. Penggunaan Satelit GLONASS

Penggunaan satelit untuk strategi terakhir ini yaitu hanya dengan menggunakan satelit GLONASS saja. Hasil dari pengolahan ini sebagai berikut:

Tabel. 4.13 RMS *error* Hasil Pengolahan Satelit GLONASS

atent obot who		
Baseline	Horizontal RMS (m)	Vertikal RMS (m)
A1	0,010	0,014
A2	0,005	0,010
A3	0,006	0,008
A4	0,004	0,004
B1	0,006	0,010
B2	0,005	0,005
В3	0,005	0,010
B4	0,007	0,012
C1	0,363	0,624
C2	0,585	0,359
C3	0,016	0,011
C4	0,018	0,045
D1	0,013	0,018
D2	0,018	0,019
D3	0,013	0,021
D4	0,056	0,068

Baseline	Horizontal RMS (m)	Vertikal RMS (m)
E1	0,053	0,111
E2	0,180	0,254
E3	0,338	0,301
E4	0,022	0,025

Tabel. 4.14 Koordinat Hasil Pengolahan Satelit GLONASS

	Grid	Grid	Elevasi
Titik	Northing	Easting (m)	( <b>m</b> )
	( <b>m</b> )		
A1	9195507,718	698480,538	36,488
A2	9194697,610	696953,266	35,634
A3	9194343,899	697476,972	35,938
A4	9193745,292	697844,292	35,406
B1	9195028,763	693065,260	36,815
B2	9194101,022	693153,328	37,110
B3	9190478,317	693096,678	36,163
B4	9189308,522	696656,248	35,528
C1	9198282,672	688679,381	35,508
C2	9196401,248	688126,433	38,196
C3	9194663,607	687562,832	50,815
C4	9192105,251	688644,009	39,989
D1	9197695,043	683535,950	37,317
D2	9196202,938	683506,358	49,721
D3	9193676,885	683513,267	57,405
D4	9189891,117	684664,905	44,227
E1	9203722,272	679531,401	35,060
E2	9201817,197	678864,620	33,049

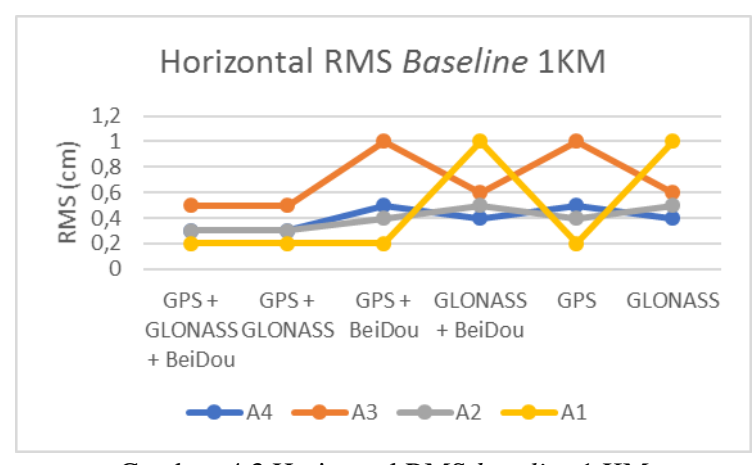
Titik	Grid <i>Northing</i> (m)	Grid Easting (m)	Elevasi (m)
E3	9200260,418	677987,016	36,290
E4	9199201,921	677709,981	41,464

Dari Tabel 4.13 dan Tabel 4.14 tersebut didapatkan nilai RMS *error* terkecil berada pada *baseline* C2 dengan nilai sebesar 0,585 m, RMS terkecil didapatkan pada *baseline* A4 dan rata – rata dari nilai RMS *error* ini sebesar 0,086 m.

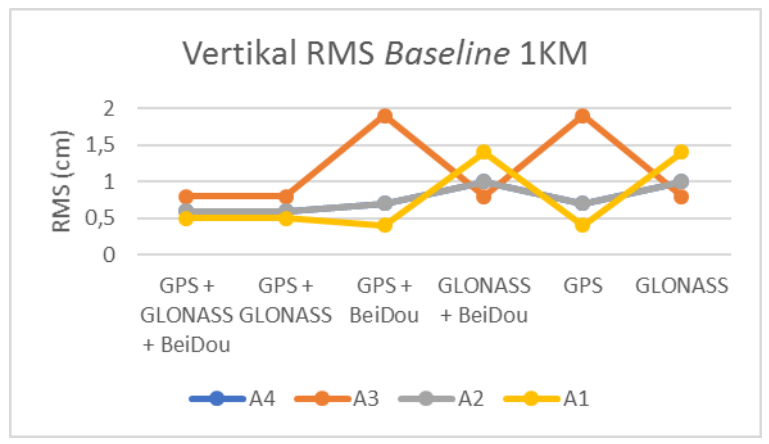
## 4.2 <u>Hasil dan Analisis Perbandingan Nilai RMS ERROR</u>

## a. Hasil dan Analisa RMS Error Baseline 1 KM

Nilai RMS E hasil pengolahan akan disajikan di bawah. Grafik disajikan secara keseluruhan berdasar kode *baseline* yang sama dan berisi nilai RMS dari semua kombinasi satelit yang digunakan.



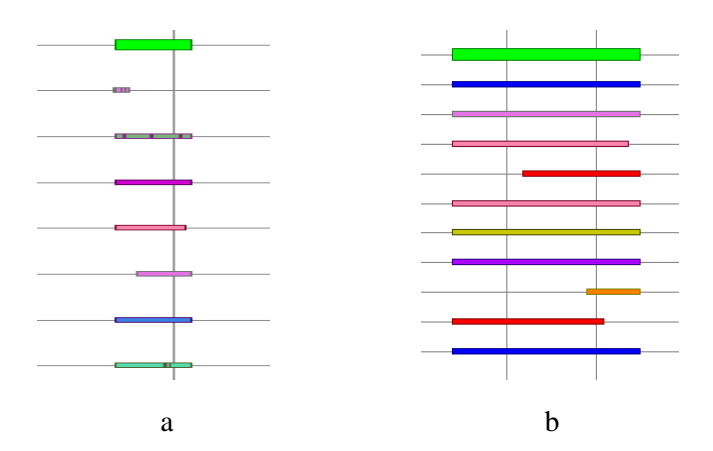
Gambar. 4.3 Horizontal RMS baseline 1 KM



Gambar, 4.4 Vertikal RMS baseline 1 KM

Hasil dari pengolahan data menghasilkan horizontal RMS error dan Vertikal RMS error. Nilai RMS error horizontal baseline 1 KM menunjukkan bahwa pada penggunaan satelit GPS + GLONASS + BEIDOU dengan GPS + GLONASS memiliki nilai yang sama untuk ke 4 baseline. Nilai RMS mengalami kenaikan pada penggunaan GPS + BEIDOU pada baseline A2, A3, dan A4 sedangkan untuk baseline A1 tidak mengalami perubahan. Pada penggunaan satelit GLONASS + BEIDOU mengalami kenaikan jika dibandingkan dengan GPS + GLONASS + ataupun GPS + GLONASS + BEIDOU yang memiliki nilai RMS error terkecil. Kenaikan terbesar terjadi pada baseline 1 KM dengan nilai RMS error sebesar 0.01 m. Sedangkan jika dibandingkan dengan penggunaan satelit GPS + BEIDOU nilai RMS error mengalami kenaikan pada baseline 1 dan baseline 2 dan mengalami penurunan pada baseline 3 dan baseline 4. Pada penggunaan satelit GPS menunjukkan hasil yang sama dengan penggunaan satelit GPS + BEIDOU, nilai tetap didapatkan pada baseline A1 dan mengalami kenaikan pada baseline A2, A3, dan A4 jika dibandingkan dengan hasil

pengolahan GPS + GLONASS + BEIDOU ataupun GPS + GLONASS. Sedangkan nilai RMS error penggunaan satelit GLONASS juga mengalami hal yang seperti penggunaan satelit GPS, nilai yang didapat sama dengan penggunaan GLONASS + BEIDOU yang mana mengalami kenaikan untuk semua baseline. Hal ini dikarenakan sinyal GPS lebih banyak dan lebih stabil jika dibandingkan dengan sinyal GLONASS yang lebih sedikit dan putus – putus atau mengalami cycle slips. Pada RMS Vertikal penggunaan satelit GPS + BEIDOU dan satelit GPS mengalami penurunan nilai sebesar 0.001 m jika dibandingkan dengan penggunaan satelit GPS + GLONASS + BEIDOU dan GPS + GLONASS, hal ini terjadi pada baseline A1. Sedangkan untuk baseline A2, A3 dan A4 mengalami kenaikan dengan nilai 0.008 m untuk A2 dan A4, 0.01 m untuk A3 yang mana merupakan nilai RMS error terbesar. Penggunaan satelit GLONASS + BEIDOU tidak mengalami perubahan nilai RMS pada baseline A3 jika dibandingkan dengan penggunaan satelit GPS + GLONASS + BEIDOU ataupun GPS + GLONASS, mengalami kenaikan pada baseline A1, A3, dan A4. Secara keseluruhan nilai RMS *error* horizontal terjadi kenaikan pada penggunaan satelit GPS + BEIDOU, GLONASS + BEIDOU, GPS dan GLONASS kecuali untuk baseline A1 kenaikan hanya terjadi pada penggunaan satelit GLONASS + BEIDOU dan GLONASS. Penurunan nilai ini dikarenakan jumlah sinyal yang ditangkap pada pengolahan dengan GLONASS + BEIDOU lebih sedikit jika dibandingkan dengan pengolahan dengan GPS seperti yang ditunjukkan pada gambar di bawah ini



Gambar. 4.5 (a) sinyal satelit pengolahan GLONASS + BEIDOU, (b) sinyal Satelit pengolahan GPS

Gambar sebelah kiri (a) menunjukkan sinyal satelit yang ditangkap pada pengolahan GLONASS + BEIDOU sedangkan pada gambar sebelah kanan (b) menunjukkan sinyal satelit pengolahan GPS. Dapat dilihat bahwa pada gambar b sinyal lebih banyak dan lebih stabil jika dibandingkan dengan gambar kiri yang lebih sedikit dan putus – putus atau mengalami *cycle slips*. Pada *baseline* A3 juga terjadi kenaikan pada pengolahan satelit GPS + BEIDOU dikarenakan sinyal satelit mengalami hal yang sama, yaitu *cycle slips*.

Pola kenaikan nilai Vertikal RMS *error* yang terlihat pada gambar di atas hampir sama seperti yang terjadi pada horizontal RMS *error* tetapi dengan nilai yang berbeda. kenaikan yang cukup tinggi terjadi pada *basaline* A1 dan A3, pada *baseline* A2 dan A4 memiliki nilai yang sama. Nilai paling bagus didapatkan pada pengukuran *baseline* A1 dikarenakan tempat pengukuran yang lebih terbuka jika dibandingkan dengan lokasi yang lainnya, lokasi pengukuran dapat dilihat pada lembar lampiran.

Rata – rata nilai RMS *error* yang didapat pada *baseline* 1KM ini sebesar 0,004 m.

Pada hasil pengolahan *baseline* 1 KM ini toleransinya adalah 3 mm. Hasil pengolahan dan toleransi disajikan pada Tabel 4.15 berikut.

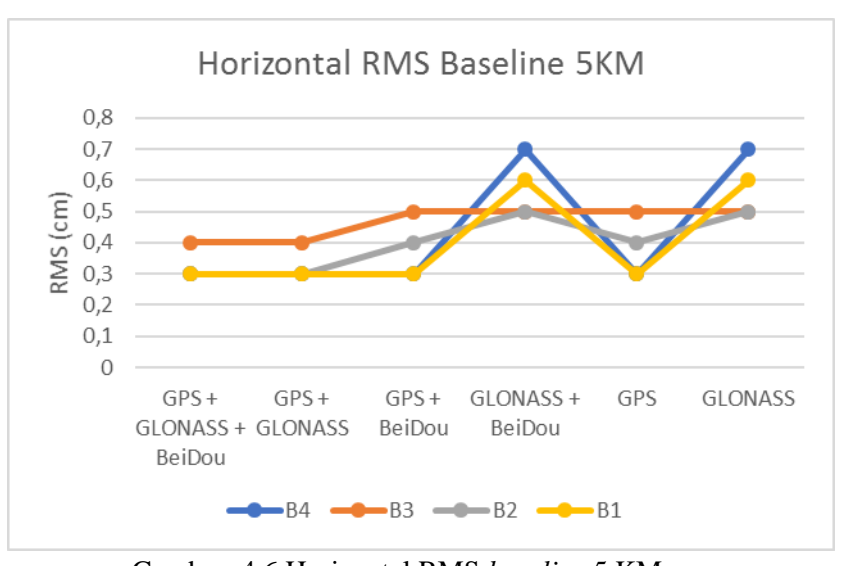
Tabel. 4.15 Toleransi Baseline 1 KM

Strategi Pengolahan	Baseline 1KM	Hasil Pengolahan (mm)	Toleransi (mm)
CDC	A1	2	
GPS +	A2	3	3
GLONASS	A3	5	3
+ BEIDOU	A4	3	
	A1	2	
GPS +	A2	3	3
<b>GLONASS</b>	A3	5	3
	A4	3 2	
	A1	2	
GPS +	A2	4	2
BEIDOU	A3	10	3
	A4	5	
	A1	10	
<b>GLONASS</b>	A2	5	2
+ BEIDOU	A3	6	3
	A4	4	
	A1	2	
GPS	A2	4	3
GPS	A3	10	3
	A4	5	
	A1	10	
CLONASS	A2	5	3
GLONASS	A3	6	3
	A4	4	

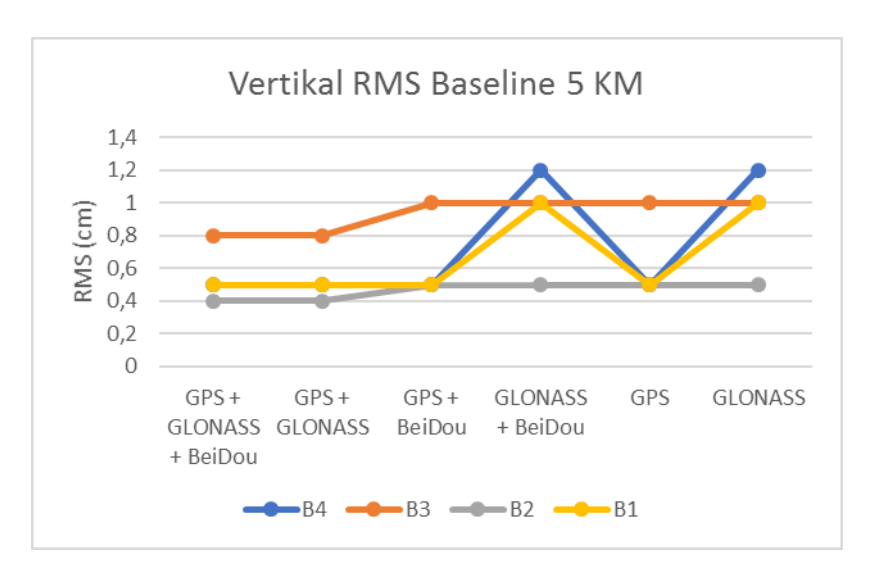
Pada *baseline* 1KM, rata – rata semua strategi masuk toleransi kecuali penggunaan satelit GLONASS + BEIDOU yang tidak masuk toleransi dengan nilai diatas 3 mm. Penggunaan GPS + GLONASS + BEIDOU dan GPS + GLONASS masuk toleransi kecuali A3. GPS +BEIDOU dan GPS masuk toleransi hanya pada *baseline* A1 dengan nilai 2 mm, sedangkan pada GLONASS + BEIDOU dan GLONASS tidak terdapat hasil pengolahan yang memasuki toleransi.

#### b. Hasil dan Analisa RMS Error Baseline 5 KM

Seperti pada *baseline* 1 KM pada *baseline* 5 KM pola yang sama hampir terjadi. Hasil dari perbandingan RMS *error* dapat dilihat pada Gambar 4.6 dan Gambar. 4.7. Pada Gambar tersebut akan disajikan grafik perbedaan dari RMS *error baseline* 5 KM pada setiap strategi pengolahan.



Gambar. 4.6 Horizontal RMS baseline 5 KM

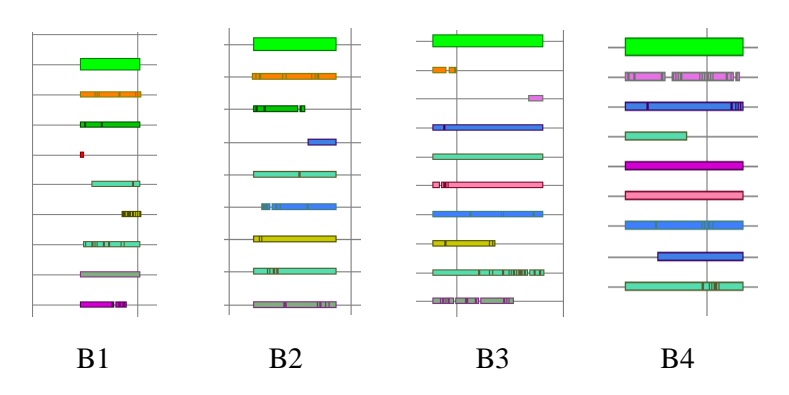


Gambar, 4.7 Vertikal RMS baseline 5 KM

Gambar 4.6 dan Gambar 4.7 menunjukkan bahwa nilai RMS error pada penggunaan satelit GPS + GLONASS + BEIDOU dengan GPS + GLONASS memiliki nilai yang sama untuk keempat baseline baik itu nilai RMS error horizontal ataupun vertikal. Kenaikan RMS error horizontal terjadi pada baseline B2 dan B3 pada penggunaan satelit GPS + BEIDOU sebesar 0,001 m untuk masing - masing baseline. Nilai RMS error Vertikal pada baseline B2 terjadi kenaikan 0,001 m dan 0,002 pada baseline B3. didapatkan dengan pengolahan Hal yang sama menggunakan Satelit GPS saja. Sedangkan Pada penggunaan satelit GLONAS + BEIDOU dan GLONASS saja terjadi kenaikan pada semua baseline. Kenaikan untuk RMS error Horizontal sebesar 0,004 m untuk baseline B4, 0,003 m untuk baseline B1, 0,002 m untuk baseline B2, dan 0,001 untuk baseline B3.

Pada RMS *error* Vertikal kenaikan sebesar 0,007 m terjadi pada *baseline* B4 dan ini merupakan nilai terbesar yang ada pada

baseline 5 KM. 0,005 m untuk baseline B1, 0,002 untuk baseline B3, dan 0,001 untuk baseline B2. Dari hasil ini menunjukkan bahwa penggunaan satelit GPS + GLONASS + BEIDOU atau GPS + GLONASS menghasilkan nilai paling baik dan penggunaan satelit GLONASS menghasilkan nilai paling besar. Kenaikan nilai RMS error terjadi yang cukup signifikan pada hasil pengolahan GLONASS + BEIDOU baik itu pada horizontal RMS ataupun Vertikal RMS. Kenaikan ini karena terjadinya cycle slips pada sinyal yang diterima seperti ditunjukkan pada gambar berikut.



Gambar. 4.8 Sinyal Satelit pengolahan GLONASS + BEIDOU

Pada Gambar. 4.8 Terlihat bahwa semua sinyal pada *baseline* 5KM mengalami *cycle slips*. Gambar tersebut merupakan sinyal satelit yang didapatkan, dan *cycle slips* ditandai dengan terputus – putusnya sinyal tersebut. Sehingga yang seharusnya hanya terdapat 1 kotak setiap baris berubah menjadi beberapa kotak kecil akibat *cycle slips*. Nilai rata – rata dari RMS *baseline* 5 KM sebesar 0,004 m.

Pada *baseline* 5 KM hampir semua strategi masuk toleransi yang ada yaitu 5mm. Hasil pengolahan dan toleransi disajikan pada Tabel 4.16 berikut.

Tabel. 4.16 Toleransi Baseline 5 KM

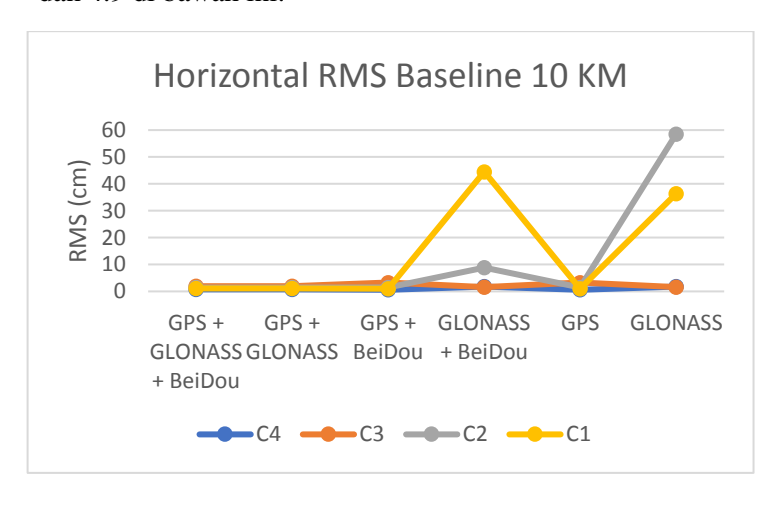
Strategi Pengolahan	Baseline 5 KM	Hasil Pengolahan (mm)	Toleransi (mm)
CDC	B1	3	
GPS + GLONASS	B2	3	5
+ BEIDOU	B3	4	3
+ BEIDOU	B4	3	
	B1	3	
GPS +	B2	3	5
<b>GLONASS</b>	B3	4	3
	B4	3	
	B1	3	
GPS +	B2	4	5
BEIDOU	B3	5	3
	B4	3	
	B1	6	
<b>GLONASS</b>	B2	5	5
+ BEIDOU	B3	5	3
	B4	7	
	B1	3	
GPS	B2	4	5
Ors	В3	5	3
	B4	3	
	B1	6	
GLONASS	B2	5	5
GLUNASS	В3	5	J
	B4	7	

Pada *baseline* 5 KM, rata – rata hampir semua strategi masuk Penggunaan GPS + GLONASS + BEIDOU, GPS + GLONASS, GPS + GLONASS, dan GPS masuk toleransi semuanya dengan nilai  $\leq$  5 mm. Sedangkan pada GLONASS + BEIDOU dan GLONASS masuk toleransi pada *baseline* B2 dan

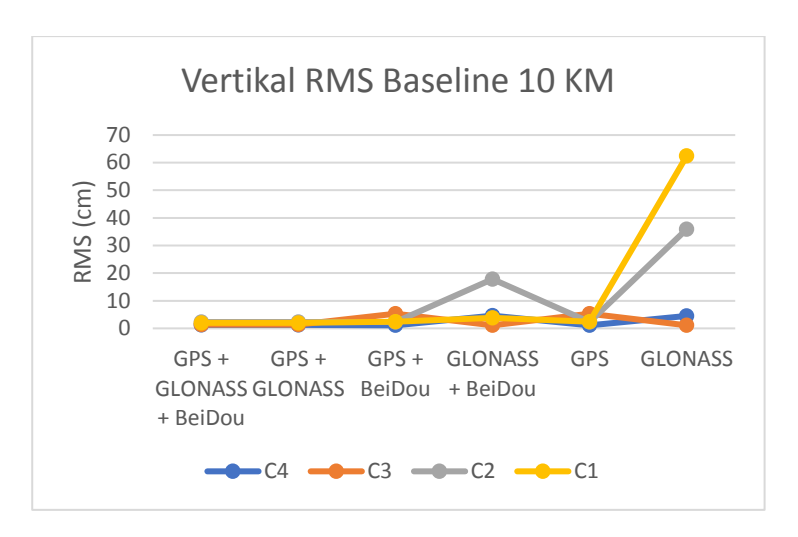
B3 dengan nilai 5 mm dan B1 dan B4 tidak memasuki toleransi dengan nilai 6 mm dan 7 mm.

#### c. Hasil dan Analisa RMS Error Baseline 10 KM

Pada *baseline* 10 KM kenaikan terjadi pada pengolahan GLONASS + BEIDOU dan GLONASS saja, kenaikan tertinggi terjadi pada pengolahan dengan GLONASS saja. Pola dari perbedaan nilai RMS *error* ini dapat dilihat pada Gambar 4.6 dan 4.9 di bawah ini.



Gambar. 4.9 Horizontal RMS baseline 10 KM



Gambar. 4.10 Vertikal RMS baseline 10 KM

Hasil dari RMS error baseline 10 KM menunjukkan nilai RMS error horizontal penggunaan satelit GPS + GLONASS + BEIDOU dan GPS + GLONASS memiliki nilai yang sama untuk ke 4 baseline baik itu nilai RMS error horizontal ataupun vertikal, memiliki nilai paling rendah pada baseline C saja, tidak pada semua baseline. Nilai terendah baseline C3 didapatkan melalui penggunaan satelit GLONASS + BEIDOU dan GLONASS saja, sedang nilai terkecil untuk dua baseline yang lain, C1 dan C4 didapatkan melalui penggunaan satelit GPS + BEIDOU dan GPS Nilai terbesar didapatkan pada penggunaan satelit saja. GLONASS saja pada baseline C2 dengan nilai 0,585 m. sedangkan pada nilai RMS error vertikal nilai terkecil pada baseline C1 dan C2 didapatkan melalui penggunaan satelit GPS + GLONASS + BEIDOU dan GPS + GLONASS dengan hasil yang sama. Penggunaan satelit GLONASS + BEIDOU untuk baseline C3 dan C4 dengan penggunaan GPS + BEIDOU. Nilai terbesar didapatkan dengan penggunaan satelit GLONASS saja dengan nilai 0,624 m

pada baseline C1. Didapatkan nilai yang cukup tinggi pada pengolahan dengan menggunakan satelit GLONASS sinyal yang ditangkap sedikit jika dibandingkan dengan GPS, sehingga penghilangan sinyal GPS sangat berpengaruh. Begitu pula dengan penghilangan sinyal BEIDOU yang mengakibatkan nilai GLONASS saja memiliki nilai yang tinggi.

Toleransi pada *baseline* 10 KM adalah 7,5 mm. hasil perbandingan terhadap toleransi pada tabel 4.17 berikut.

Tabel. 4.17 Toleransi Baseline 10 KM

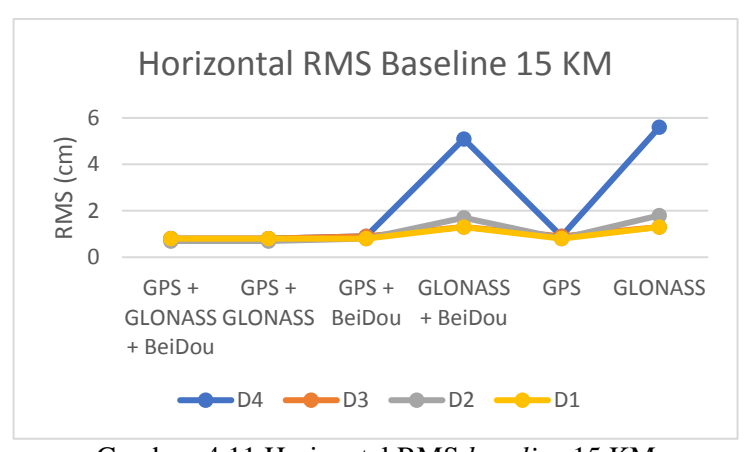
Strategi Pengolahan	Baseline 15 KM	Hasil Pengolahan (mm)	Toleransi (mm)
GPS +	C1	11	
<b>GLONASS</b>	C2	14	7,5
+ BEIDOU	C3 C4	19 7	
	C4 C1	11	
GPS +	C2	14	
GLONASS	C3	19	7,5
02011188	C4	7	
	C1	10	
GPS +	C2	15	7.5
BEIDOU	C3	33	7,5
	C4	6	
	C1	445	
GLONASS	C2	88	7,5
+ BEIDOU	C3	16	7,5
	C4	18	
	C1	10	
GPS	C2	15	7,5
012	C3	33	,,,,
	C4	6	
GLONASS	C1	363	7,5
	C2	585	<u> </u>

Strategi Pengolahan	Baseline 15 KM	Hasil Pengolahan (mm)	Toleransi (mm)
	C3	16	
	C4	18	

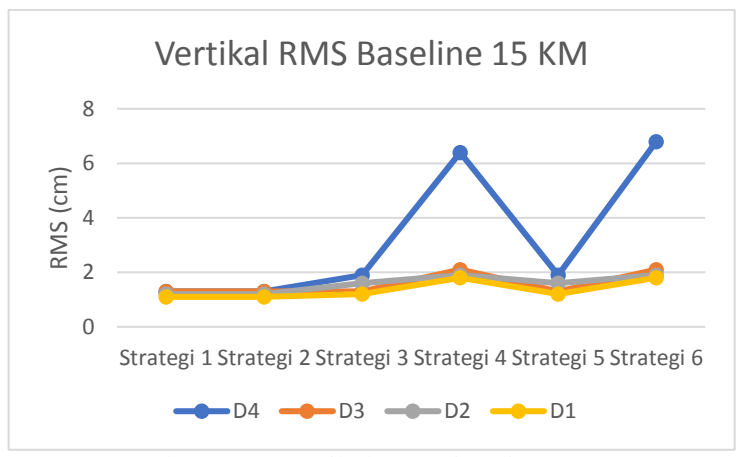
Pada *baseline* 10 KM ini hasil yang didapatkan hampir keseluruhan tidak masuk toleransi pengukuran yang ada, nilai RMS error yang didapatkan hampir semuanya berada diatas 7,5 mm yang merupakan nilai toleransi *baseline* 10 KM. Hasil yang memasuki toleransi hanya didapatkan pada *baseline* C4 dengan nilai 7 mm untuk penggunaan satelit GPS + GLONASS+ BEIDOU dan GPS + GLONASS dan nilai terkecil dengan penggunaan satelit GPS + BEIDOU dan GPS dengan nilai 6 mm.

#### d. Hasil dan Analisa RMS Error Baseline 15 KM

Pada *baseline* 15 KM nilai RMS yang didapat cukup stabil. Hanya terdapat 1 *baseline* yang mengalami kenaikan yang signifikan. Perbedaan nilai RMS *error* ini dapat dilihat pada Gambar 4.11 dan Gambar 4.12 berikut.



Gambar. 4.11 Horizontal RMS baseline 15 KM



Gambar, 4.12 Vertikal RMS baseline 15 KM

Gambar 4.11 dan Gambar. 4.12 menunjukkan nilai RMS error horizontal terkecil didapatkan dengan penggunaan satelit GPS + GLONASS + BEIDOU dan GPS + GLONASS untuk baseline D2 dengan nilai 0,007 m, D2, dan D4 dengan nilai 0,008 m. Sedangkan untuk baseline D1 didapatkan melalui penggunaan satelit GPS + GLONASS + BEIDOU, GPS + GLONASS dan GPS + BEIDOU dengan nilai 0.008 m. Penurunan paling besar terjadi pada penggunaan satelit GLONAS saja dengan nilai 0,056 m pada baseline D4. Pada nilai RMS error Vertikal penggunaan satelit GPS + GLONASS + BEIDOU dan GPS + GLONASS menghasilkan nilai terkecil yaitu 0,011 m untuk baseline D1, 0,012 m baseline D2, dan 0,013 m untuk baseline D3 dan D4. Pada penggunaan satelit GPS + BEIDOU pada baseline D3 juga menunjukkan hasil yang sama dan terjadi kenaikan 0,001 m pada baseline D1, 0,004 pada baseline D2, dan 0,006 m pada baseline D4. Sementara pada penggunaan satelit GLONASS + BEIDOU terjadi kenaikan pada semua baseline. Kenaikan terbesar terjadi pada penggunaan satelit GLONASS saja dengan nilai 0,068 m pada *baseline* D4. Pada *baseline* 15 KM nilai RMS yang didapat cukup stabil. Kenaikan terjadi pada pengolahan GLONASS + BEIDOU dan BEIDOU pada *baseline* D4 dikarenakan lokasi yang kurang terbuka.

Toleransi pada *baseline* 15 KM adalah 10 mm. hasil perbandingan terhadap toleransi pada tabel 4.18 berikut.

Tabel. 4.18 Toleransi Baseline 15 KM

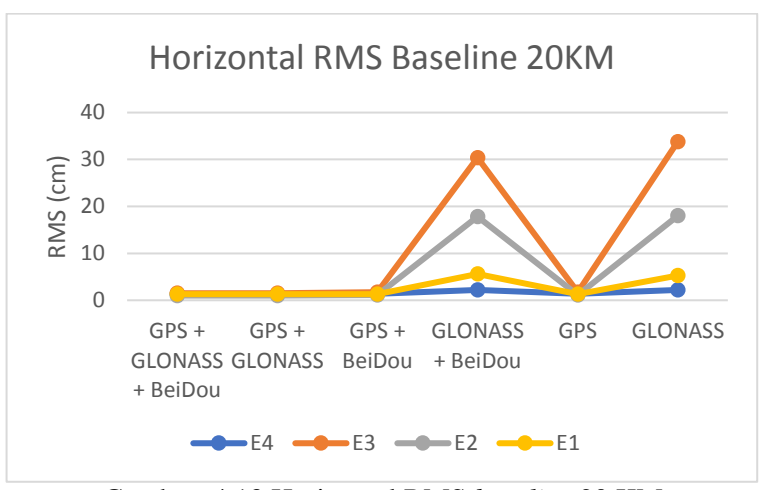
Strategi Pengolahan	Baseline 15 KM	Hasil Pengolahan (mm)	Toleransi (mm)
CDC	D1	8	
GPS +	D2	7	10
GLONASS + BEIDOU	D3	8	10
+ BEIDOU	D4	8	
	D1	8	
GPS +	D2	7	10
<b>GLONASS</b>	D3	8	10
	D4	8	
	D1	8	
GPS +	D2	8	10
BEIDOU	D3	9	10
	D4	9	
	D1	13	
<b>GLONASS</b>	D2	17	10
+ BEIDOU	D3	13	10
	D4	51	
	D1	8	
CDC	D2	8	10
GPS	D3	9	10
	D4	9	
	D1	13	
<b>GLONASS</b>	D2	18	10
	D3	13	

Strategi Pengolahan	Baseline 15 KM	Hasil Pengolahan (mm)	Toleransi (mm)
	D4	56	

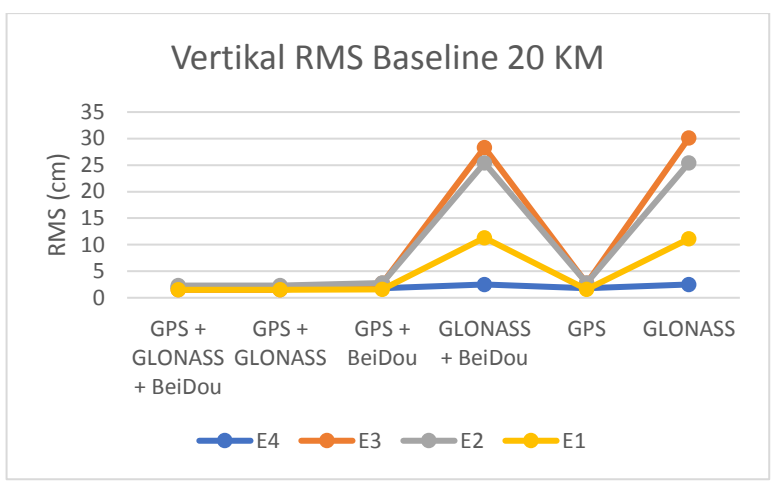
Pada *baseline* 15KM ini semua hasil masuk toleransi kecuali penggunaan satelit GLONASS + BEIDOU dan GLONASS yang memiliki nilai RMS lebih besar dari 10 mm untuk semua *baseline*.

### e. Hasil dan Analisa RMS Error Baseline 20 KM

*Baseline* dengan jarak paling jauh yang dipakai pada tugas akhir ini, yaitu dengan jarak 20 KM. Nilai dari horizontal RMS *error* dan vertikal RMS *error* pada pengolahan ini memiliki pola yang hampir sama, untuk lebih jelasnya dapat dilihat pada Gambar 4.13 dan Gambar 4.14 berikut.

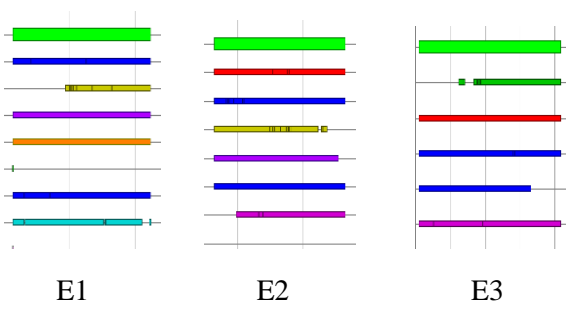


Gambar, 4.13 Horizontal RMS baseline 20 KM



Gambar, 4.14 Vertikal RMS baseline 20 KM

Nilai RMS error terbaik didapat pada penggunaan satelit GPS + GLONASS + BEIDOU dan GPS + GLONASS, pada penggunaan satelit GPS + BEIDOU tidak terjadi perubahan di baseline E1, terjadi kenaikan pada ketiga baseline yang lain pada nilai RMS error horizontal, sedangkan pada RMS error vertikal penggunaan satelit ini menghasilkan nilai terkecil pada baseline E4 dengan nilai 0,018 m, dan tiga baseline yang lain mengalami kenaikan 0,001 m untuk E1, 0,005 m untuk E2, dan untuk E3 sebesar 0,012 m. Nilai ini sama dengan penggunaan satelit GPS saja. Untuk penggunaan satelit GLONASS + BEIDOU mengalami kenaikan yang cukup tinggi dengan nilai 0,304 m untuk E3, nilai ini bertambah besar saat satelit BEIDOU tidak digunakan atau hanya menggunakan GLONASS saja, begitu pula yang terjadi pada RMS error Vertikal baseline E3, yang awalnya menggunakan satelit GLONASS + BEIDOU bernilai 0,283 m menjadi 0,301 m dengan dihilangkannya satelit BEIDOU. Pada Gambar. 4.15 dan Gambar. 4.16 terlihat bahwa grafik dari penggunaan satelit GLONASS + BEIDOU dan GLONASS mengalami kenaikan pada semua *baseline*, ini menunjukkan bahwa tanpa penggunaan satelit GPS nilai RMS naik secara drastis. Pada *baseline* 20 KM kenaikan nilai RMS *error* terjadi yang cukup signifikan pada hasil pengolahan GLONASS + BEIDOU baik itu pada horizontal RMS ataupun vertikal RMS. Kenaikan ini disebabkan karena terjadinya *cycle slips* pada sinyal yang diterima seperti ditunjukkan pada gambar berikut.



Gambar. 4. 15 Sinyal Satelit pengolahan GLONASS + BEIDOU

Toleransi pada *baseline* 20 KM adalah 7,5 mm. hasil perbandingan terhadap toleransi pada tabel 4.18 berikut.

Tabel. 4.19 Toleransi Baseline 20 KM

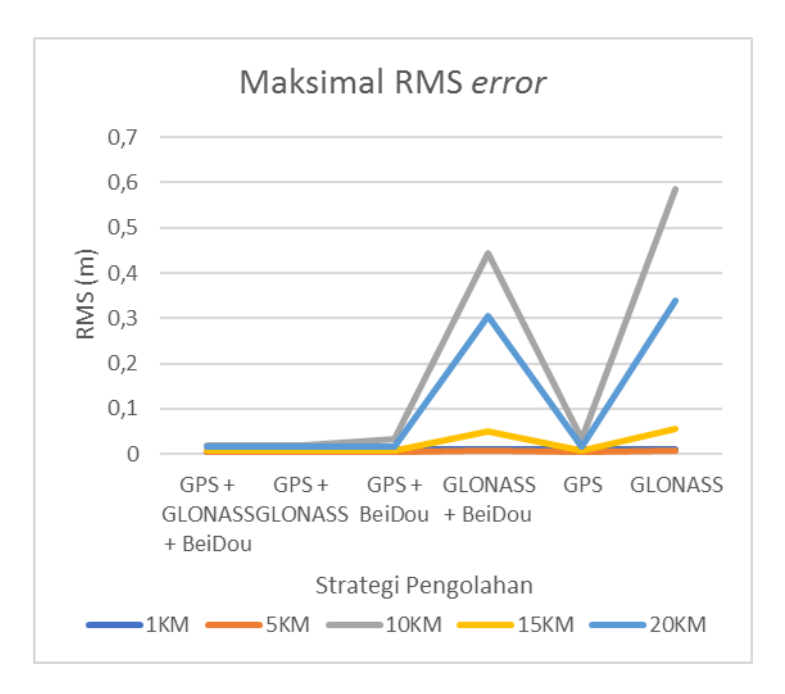
Strategi Pengolahan	Baseline 20 KM	Hasil Pengolahan (mm)	Toleransi (mm)
GPS +	E1	13	
GLONASS	E2	10	10.5
+ BEIDOU	E3	15	12,5
+ DEIDOU	E4	13	
	<b>E</b> 1	13	
GPS +	E2	10	10.5
<b>GLONASS</b>	E3	15	12,5
	E4	13	

Strategi Pengolahan	Baseline 20 KM	Hasil Pengolahan (mm)	Toleransi (mm)
	E1	13	
GPS +	E2	11	12,5
BEIDOU	E3	17	12,3
	E4	13	
	E1	56	
<b>GLONASS</b>	E2	178	12.5
+ BEIDOU	E3	304	12,5
	E4	22	
	E1	13	
CDC	E2	11	10.5
GPS	E3	17	12,5
	E4	14	
	E1	53	
CLONACC	E2	18	12.5
GLONASS	E3	338	12,5
	E4	22	

Pada *baseline* 20 Km ini hanya satu *baseline* yang masuk toleransi yang ada, yaitu pada *baseline* E2 dengan nilai 10 mm menggunakan kombinasi satelit GPS+GLONASS+BEIDOU, GPS +GLONASS, dan 11 mm dengan menggunakan kombinasi satelit GPS + BEIDOU dan GPS saja. Sedangkan nilai RMS pada *baseline* yang lainnya masih berada diatas 12,5 mm.

# f. Hasil dan Analisa RMS Error keseluruhan Baseline

Nilai RMS *error* dari masing – masing *baseline* menunjukkan pola yang hampir sama. Kenaikan nilai yang signifikan terjadi mayoritas pada pengolahan GLONASS + BEIDOU dan GLONASS. Pada Gambar. 4.16 berikut akan disajikan grafik nilai maksimal pada setiap kombinasi pengolahan data disetiap *baseline*.



Gambar, 4.16 Maksimal RMS Error

Dari gambar terlihat bahwa kenaikan yang signifikan terjadi pada pengolahan GLONASS + BEIDOU dan GLONASS, terutama pada *baseline* 10 KM, 15KM dan, 20KM. Baseline 10 KM memiliki nilai paling besar. Hal ini dikarenakan lokasi dari pengukuran yang kurang terbuka jika dibandingkan dengan lokasi yang lainnya. Kenaikan nilai ini akan dijelaskan pada sub bab 4.4 Analisis Panjang *Baseline* 

# 4.3 <u>Hasil dan Analisis Perbandingan Koordinat Pengolahan</u>

Perbandingan nilai koordinat dilakukan dengan menggunakan 2 cara, yang pertama berdasarkan kombinasi satelit yang digunakan, dan yang kedua dilakukan secara keseluruhan untuk setiap titik pada strategi pengolahan terhadap strategi pengolahan

menggunakan satelit GPS + GLONASS + BEIDOU. Nilai dari selisih akan dibuat ke nilai absolut untuk menghindari nilai negatif. Pada Tabel 4.20 sampai dengan Tabel 4.58 berikut akan disajikan perbedaan koordinat *Easting*, dan *Northing* setiap titik *baseline*. Setiap satu baris dari kiri ke kanan akan menunjukkan nilai perbedaan koordinat dari strategi pengolahan yang tertera pada kolom pertama dikurangi dengan strategi pengolahan yang tertera pada baris pertama.

Tabel. 4.20 Selisih Koordinat Northing Baseline A1

A1	GLONASS (m)	GPS (m)	GLONASS +BEIDOU (m)	GPS+ BEIDOU (m)	GPS+ GLONASS (m)	GPS+ GLONASS +BEIDOU (m)
GLONASS	0,000	0,023	0,000	0,023	0,020	0,020
GPS	0,023	0,000	0,023	0,000	0,003	0,003
GLONASS +BEIDOU	0,000	0,023	0,000	0,023	0,020	0,020
GPS+ BEIDOU	0,023	0,000	0,023	0,000	0,003	0,003
GPS+ GLONASS	0,020	0,003	0,020	0,003	0,000	0,000
GPS+ GLONASS +BEIDOU	0,020	0,003	0,020	0,003	0,000	0,000

Tabel. 4.21 Selisih Koordinat Easting Baseline A1

A1	GLONASS (m)	GPS (m)	GLONASS +BEIDOU (m)	GPS+ BEIDOU (m)	GPS+ GLONASS (m)	GPS+ GLONASS +BEIDOU (m)
GLONASS	0,000	0,033	0,000	0,033	0,033	0,033
GPS	0,033	0,000	0,033	0,000	0,000	0,000
GLONASS +BEIDOU	0,000	0,033	0,000	0,033	0,033	0,033
GPS+ BEIDOU	0,033	0,000	0,033	0,000	0,000	0,000
GPS+ GLONASS	0,033	0,000	0,033	0,000	0,000	0,000
GPS+ GLONASS +BEIDOU	0,033	0,000	0,033	0,000	0,000	0,000

Tabel 4.20 dan Tabel 4.21 menunjukkan perbedaan koordinat paling kecil terjadi pada pengolahan dengan menggunakan satelit GPS + GLONASS + BAIDOU terhadap pengolahan menggunakan satelit GPS + GLONASS dengan selisih nilai nol, baik pada northing maupun easting sedangkan perbedaan terbesar terjadi pada penggunaan satelit GPS, GLONASS, GPS + BEIDOU, dan GLONASS + BEIDOU dengan selisih sebesar 0,023 m untuk northing. Sedangkan pada easting selain nilai terkecil, perbedaan selisih koordinat antara kombinasi lainnya bernilai sama yaitu 0,033 m.

Tabel. 4.22 Selisih Koordinat Northing Baseline A2

A2	GLONASS (m)	GPS (m)	GLONASS +BEIDOU (m)	GPS+ BEIDOU (m)	GPS+ GLONASS (m)	GPS+ GLONASS +BEIDOU (m)
GLONASS	0,000	0,009	0,000	0,009	0,007	0,007
GPS	0,009	0,000	0,009	0,000	0,002	0,002
GLONASS +BEIDOU	0,000	0,009	0,000	0,009	0,007	0,007
GPS+ BEIDOU	0,009	0,000	0,009	0,000	0,002	0,002
GPS+ GLONASS	0,007	0,002	0,007	0,002	0,000	0,000
GPS+ GLONASS +BEIDOU	0,007	0,002	0,007	0,002	0,000	0,000

Tabel. 4.23 Selisih Koordinat Easting Baseline A2

A2	GLONASS (m)	GPS (m)	GLONASS +BEIDOU (m)	GPS+ BEIDOU (m)	GPS+ GLONASS (m)	GPS+ GLONASS +BEIDOU (m)
GLONASS	0,000	0,011	0,000	0,011	0,005	0,005
GPS	0,011	0,000	0,011	0,000	0,006	0,006
GLONASS +BEIDOU	0,000	0,011	0,000	0,011	0,005	0,005
GPS+ BEIDOU	0,011	0,000	0,011	0,000	0,006	0,006

A2	GLONASS (m)	GPS (m)	GLONASS +BEIDOU (m)	GPS+ BEIDOU (m)	GPS+ GLONASS (m)	GPS+ GLONASS +BEIDOU (m)
GPS+ GLONASS	0,005	0,006	0,005	0,006	0,000	0,000
GPS+ GLONASS +BEIDOU	0,005	0,006	0,005	0,006	0,000	0,000

Pada titik A2 perbedaan selisih koordinat terbesar terjadi pada penggunaan satelit GPS, GLONASS, GPS + BEIDOU, dan GLONASS + BEIDOU dengan selisih sebesar 0,009 m untuk *northing* dan 0,011 m untuk *easting*. Sedangkan nilai terkecil bernilai nol.

Tabel. 4.24 Selisih Koordinat Northing Baseline A3

A3	GLONASS (m)	GPS (m)	GLONASS +BEIDOU (m)	GPS+ BEIDOU (m)	GPS+ GLONASS (m)	GPS+ GLONASS +BEIDOU (m)
GLONASS	0,000	0,006	0,000	0,006	0,003	0,003
GPS	0,006	0,000	0,006	0,000	0,009	0,009
GLONASS +BEIDOU	0,000	0,006	0,000	0,006	0,003	0,003
GPS+ BEIDOU	0,006	0,000	0,006	0,000	0,009	0,009
GPS+ GLONASS	0,003	0,009	0,003	0,009	0,000	0,000
GPS+ GLONASS +BEIDOU	0,003	0,009	0,003	0,009	0,000	0,000

Tabel. 4.25 Selisih Koordinat Easting Baseline A3

A3	GLONASS (m)	GPS (m)	GLONASS +BEIDOU (m)	GPS+ BEIDOU (m)	GPS+ GLONASS (m)	GPS+ GLONASS +BEIDOU (m)
GLONASS	0,000	0,016	0,000	0,016	0,000	0,000
GPS	0,016	0,000	0,016	0,000	0,016	0,016
GLONASS +BEIDOU	0,000	0,016	0,000	0,016	0,000	0,000
GPS+ BEIDOU	0,016	0,000	0,016	0,000	0,016	0,016
GPS+ GLONASS	0,000	0,016	0,000	0,016	0,000	0,000
GPS+ GLONASS +BEIDOU	0,000	0,016	0,000	0,016	0,000	0,000

Nilai terbesar pada titik A3 bernilai 0,009 m untuk *northing*, terjadi pada pengolahan Pada GPS, GPS + GLONASS dan GPS + BEIDOU, dan untuk *easting* selisih terbesar bernilai 0,016 m. Selisih terkecil bernilai nol terjadi pada pengolahan dengan menggunakan satelit GPS + GLONASS + BAIDOU terhadap pengolahan menggunakan satelit GPS + GLONASS.

Tabel. 4.26 Selisih Koordinat Northing Baseline A4

A4	GLONASS (m)	GPS (m)	GLONASS +BEIDOU (m)	GPS+ BEIDOU (m)	GPS+ GLONASS (m)	GPS+ GLONASS +BEIDOU (m)
GLONASS	0,000	0,016	0,000	0,016	0,012	0,012

A4	GLONASS (m)	GPS (m)	GLONASS +BEIDOU (m)	GPS+ BEIDOU (m)	GPS+ GLONASS (m)	GPS+ GLONASS +BEIDOU (m)
GPS	0,016	0,000	0,016	0,000	0,004	0,004
GLONASS +BEIDOU	0,000	0,016	0,000	0,016	0,012	0,012
GPS+ BEIDOU	0,016	0,000	0,016	0,000	0,004	0,004
GPS+ GLONASS	0,012	0,004	0,012	0,004	0,000	0,000
GPS+ GLONASS +BEIDOU	0,012	0,004	0,012	0,004	0,000	0,000

Tabel. 4.27 Selisih Koordinat Easting Baseline A4

A4	GLONASS (m)	GPS (m)	GLONASS +BEIDOU (m)	GPS+ BEIDOU (m)	GPS+ GLONASS (m)	GPS+ GLONASS +BEIDOU (m)
GLONASS	0,000	0,023	0,000	0,023	0,021	0,021
GPS	0,023	0,000	0,023	0,000	0,002	0,002
GLONASS +BEIDOU	0,000	0,023	0,000	0,023	0,021	0,021
GPS+ BEIDOU	0,023	0,000	0,023	0,000	0,002	0,002
GPS+ GLONASS	0,021	0,002	0,021	0,002	0,000	0,000

A4	GLONASS (m)	GPS (m)	GLONASS +BEIDOU (m)	GPS+ BEIDOU (m)	GPS+ GLONASS (m)	GPS+ GLONASS +BEIDOU (m)
GPS+ GLONASS +BEIDOU	0,021	0,002	0,021	0,002	0,000	0,000

Pada titik A4 perbedaan terbesar bernilai 0,016 m untuk *northing* dan 0,023 m untuk *easting*. Sedangkan untuk perbedaan terkecil bernilai nol. Pola perbedaan ini merupakan yang paling sering terjadi pada setiap titik, dimana kedua perbedaan terbesar tadi terjadi pada penggunaan satelit GPS, GLONASS, GPS + BEIDOU dan GLONASS + BEIDOU.

Tabel. 4.28 Selisih Koordinat Northing Baseline B1

B1	GLONASS (m)	GPS (m)	GLONASS +BEIDOU (m)	GPS+ BEIDOU (m)	GPS+ GLONASS (m)	GPS+ GLONASS +BEIDOU (m)
GLONASS	0,000	0,015	0,000	0,015	0,013	0,013
GPS	0,015	0,000	0,015	0,000	0,002	0,002
GLONASS +BEIDOU	0,000	0,015	0,000	0,015	0,013	0,013
GPS+ BEIDOU	0,015	0,000	0,015	0,000	0,002	0,002
GPS+ GLONASS	0,013	0,002	0,013	0,002	0,000	0,000
GPS+ GLONASS +BEIDOU	0,013	0,002	0,013	0,002	0,000	0,000

Tabel. 4.29 Selisih Koordinat Easting Baseline B1

B1	GLONASS (m)	GPS (m)	GLONASS +BEIDOU (m)	GPS+ BEIDOU (m)	GPS+ GLONASS (m)	GPS+ GLONASS +BEIDOU (m)
GLONASS	0,000	0,008	0,000	0,008	0,007	0,007
GPS	0,008	0,000	0,008	0,000	0,001	0,001
GLONASS +BEIDOU	0,000	0,008	0,000	0,008	0,007	0,007
GPS+ BEIDOU	0,008	0,000	0,008	0,000	0,001	0,001
GPS+ GLONASS	0,007	0,001	0,007	0,001	0,000	0,000
GPS+ GLONASS +BEIDOU	0,007	0,001	0,007	0,001	0,000	0,000

Pada titik B1, selisih koordinat terkecil terjadi pada pengolahan satelit GPS + GLONASS + BEIDOU terhadap satelit GPS + GLONASS dengan selisih nilai nol, baik pada *northing* maupun *easting* sedangkan perbedaan terbesar terjadi pada penggunaan satelit GPS, GLONASS, GPS + BEIDOU, dan GLONASS + BEIDOU dengan selisih sebesar 0,015 m untuk *northing* dan 0,008 m untuk *easting*.

Tabel. 4.30 Selisih Koordinat Northing Baseline B2

B2	GLONASS (m)	GPS (m)	GLONASS +BEIDOU (m)	GPS+ BEIDOU (m)	GPS+ GLONASS (m)	GPS+ GLONASS +BEIDOU (m)
GLONASS	0,000	0,012	0,000	0,012	0,008	0,008

B2	GLONASS (m)	GPS (m)	GLONASS +BEIDOU (m)	GPS+ BEIDOU (m)	GPS+ GLONASS (m)	GPS+ GLONASS +BEIDOU (m)
GPS	0,012	0,000	0,012	0,000	0,004	0,004
GLONASS +BEIDOU	0,000	0,012	0,000	0,012	0,008	0,008
GPS+ BEIDOU	0,012	0,000	0,012	0,000	0,004	0,004
GPS+ GLONASS	0,008	0,004	0,008	0,004	0,000	0,000
GPS+ GLONASS +BEIDOU	0,008	0,004	0,008	0,004	0,000	0,000

Tabel. 4.31 Selisih Koordinat Easting Baseline B2

B2	GLONASS (m)	GPS (m)	GLONASS +BEIDOU (m)	GPS+ BEIDOU (m)	GPS+ GLONASS (m)	GPS+ GLONASS +BEIDOU (m)
GLONASS	0,000	0,000	0,000	0,000	0,004	0,004
GPS	0,000	0,000	0,000	0,000	0,004	0,004
GLONASS +BEIDOU	0,000	0,000	0,000	0,000	0,004	0,004
GPS+ BEIDOU	0,000	0,000	0,000	0,000	0,004	0,004
GPS+ GLONASS	0,004	0,004	0,004	0,004	0,000	0,000
GPS+ GLONASS +BEIDOU	0,004	0,004	0,004	0,004	0,000	0,000

Perbedaan selisih koordinat Titik B2, pada nilai *northing* selisih terbesar bernilai 0,012 m untuk *northing* terjadi pada penggunaan satelit GPS, GLONASS, GPS + BEIDOU, dan GLONASS + BEIDOU, dan nilai terkecil bernilai nol. Kombinasi ini pada *easting* bernilai nol dan selisih terbesar untuk *easting* bernilai 0,004 m.

Tabel. 4.32 Selisih Koordinat Northing Baseline B3

В3	GLONASS (m)	GPS (m)	GLONASS +BEIDOU (m)	GPS+ BEIDOU (m)	GPS+ GLONASS (m)	GPS+ GLONASS +BEIDOU (m)
GLONASS	0,000	0,022	0,000	0,022	0,016	0,016
GPS	0,022	0,000	0,022	0,000	0,006	0,006
GLONASS +BEIDOU	0,000	0,022	0,000	0,022	0,016	0,016
GPS+ BEIDOU	0,022	0,000	0,022	0,000	0,006	0,006
GPS+ GLONASS	0,016	0,006	0,016	0,006	0,000	0,000
GPS+ GLONASS +BEIDOU	0,016	0,006	0,016	0,006	0,000	0,000

Tabel. 4.33 Selisih Koordinat Easting Baseline B3

В3	GLONASS (m)	GPS (m)	GLONASS +BEIDOU (m)	GPS+ BEIDOU (m)	GPS+ GLONASS (m)	GPS+ GLONASS +BEIDOU (m)
GLONASS	0,000	0,035	0,001	0,035	0,015	0,015

В3	GLONASS (m)	GPS (m)	GLONASS +BEIDOU (m)	GPS+ BEIDOU (m)	GPS+ GLONASS (m)	GPS+ GLONASS +BEIDOU (m)
GPS	0,035	0,000	0,034	0,000	0,020	0,020
GLONASS +BEIDOU	0,001	0,034	0,000	0,034	0,014	0,014
GPS+ BEIDOU	0,035	0,000	0,034	0,000	0,020	0,020
GPS+ GLONASS	0,015	0,020	0,014	0,020	0,000	0,000
GPS+ GLONASS +BEIDOU	0,015	0,020	0,014	0,020	0,000	0,000

Nilai terbesar pada titik B3 bernilai 0,022 m untuk *northing*, terjadi pada pengolahan Pada GPS, GPS + GLONASS dan GPS + BEIDOU, dan untuk *easting* selisih terbesar bernilai 0,035 m pada satelit GLONASS terhadap GPS, dan GPS + BEIDOU. Selisih terkecil bernilai nol.

Tabel. 4.34 Selisih Koordinat Northing Baseline B4

B4	GLONASS (m)	GPS (m)	GLONASS +BEIDOU (m)	GPS+ BEIDOU (m)	GPS+ GLONASS (m)	GPS+ GLONASS +BEIDOU (m)
GLONASS	0,000	0,012	0,000	0,012	0,008	0,008
GPS	0,012	0,000	0,012	0,000	0,004	0,004
GLONASS +BEIDOU	0,000	0,012	0,000	0,012	0,008	0,008

B4	GLONASS (m)	GPS (m)	GLONASS +BEIDOU (m)	GPS+ BEIDOU (m)	GPS+ GLONASS (m)	GPS+ GLONASS +BEIDOU (m)
GPS+ BEIDOU	0,012	0,000	0,012	0,000	0,004	0,004
GPS+ GLONASS	0,008	0,004	0,008	0,004	0,000	0,000
GPS+ GLONASS +BEIDOU	0,008	0,004	0,008	0,004	0,000	0,000

Tabel. 4.35 Selisih Koordinat Easting Baseline B4

B4	GLONASS (m)	GPS (m)	GLONASS +BEIDOU (m)	GPS+ BEIDOU (m)	GPS+ GLONASS (m)	GPS+ GLONASS +BEIDOU (m)
GLONASS	0,000	0,006	0,000	0,006	0,011	0,011
GPS	0,006	0,000	0,006	0,000	0,005	0,005
GLONASS +BEIDOU	0,000	0,006	0,000	0,006	0,011	0,011
GPS+ BEIDOU	0,006	0,000	0,006	0,000	0,005	0,005
GPS+ GLONASS	0,011	0,005	0,011	0,005	0,000	0,000
GPS+ GLONASS +BEIDOU	0,011	0,005	0,011	0,005	0,000	0,000

Pada titik B4 perbedaan terbesar bernilai 0,012 m untuk *northing* dan 0,011 m untuk *easting*. Sedangkan untuk perbedaan terkecil

bernilai nol terjadi pada pengolahan dengan menggunakan satelit GPS + GLONASS + BAIDOU terhadap pengolahan menggunakan satelit GPS + GLONASS.

Tabel. 4.36 Selisih Koordinat Northing Baseline C1

C1	GLONASS (m)	GPS (m)	GLONASS +BEIDOU (m)	GPS+ BEIDOU (m)	GPS+ GLONASS (m)	GPS+ GLONASS +BEIDOU (m)
GLONASS	0,000	0,279	0,122	0,279	0,296	0,296
GPS	0,279	0,000	0,157	0,000	0,017	0,017
GLONASS +BEIDOU	0,122	0,157	0,000	0,157	0,174	0,174
GPS+ BEIDOU	0,279	0,000	0,157	0,000	0,017	0,017
GPS+ GLONASS	0,296	0,017	0,174	0,017	0,000	0,000
GPS+ GLONASS +BEIDOU	0,296	0,017	0,174	0,017	0,000	0,000

Tabel. 4.37 Selisih Koordinat Easting Baseline C1

C1	GLONASS (m)	GPS (m)	GLONASS +BEIDOU (m)	GPS+ BEIDOU (m)	GPS+ GLONASS (m)	GPS+ GLONASS +BEIDOU (m)
GLONASS	0,000	0,390	0,697	0,390	0,371	0,371
GPS	0,390	0,000	1,087	0,000	0,019	0,019

C1	GLONASS (m)	GPS (m)	GLONASS +BEIDOU (m)	GPS+ BEIDOU (m)	GPS+ GLONASS (m)	GPS+ GLONASS +BEIDOU (m)
GLONASS +BEIDOU	0,697	1,087	0,000	1,087	1,068	1,068
GPS+ BEIDOU	0,390	0,000	1,087	0,000	0,019	0,019
GPS+ GLONASS	0,371	0,019	1,068	0,019	0,000	0,000
GPS+ GLONASS +BEIDOU	0,371	0,019	1,068	0,019	0,000	0,000

Pada titik C1 perbedaan selisih koordinat terjadi cukup besar hingga 1,078 m terjadi pada GLONASS + BEIDOU terhadap GPS untuk nilai *easting*, untuk *northing* nilai terbesar 0,296 m Sedangkan pada pengolahan dengan menggunakan satelit GPS + GLONASS + BAIDOU terhadap pengolahan menggunakan satelit GPS + GLONASS dan merupakan nilai terkecil, yaitu bernilai nol.

Tabel. 4.38 Selisih Koordinat Northing Baseline C2

C2	GLONASS (m)	GPS (m)	GLONASS +BEIDOU (m)	GPS+ BEIDOU (m)	GPS+ GLONASS (m)	GPS+ GLONASS +BEIDOU (m)
GLONASS	0,000	0,704	0,768	0,704	0,705	0,705
GPS	0,704	0,000	0,064	0,000	0,001	0,001
GLONASS +BEIDOU	0,768	0,064	0,000	0,064	0,063	0,063

C2	GLONASS (m)	GPS (m)	GLONASS +BEIDOU (m)	GPS+ BEIDOU (m)	GPS+ GLONASS (m)	GPS+ GLONASS +BEIDOU (m)
GPS+ BEIDOU	0,704	0,000	0,064	0,000	0,001	0,001
GPS+ GLONASS	0,705	0,001	0,063	0,001	0,000	0,000
GPS+ GLONASS +BEIDOU	0,705	0,001	0,063	0,001	0,000	0,000

Tabel. 4.39 Selisih Koordinat Easting Baseline C2

Tuber. 1135 Benshi Hooramat Busing Busenite C2							
C2	GLONASS (m)	GPS (m)	GLONASS +BEIDOU (m)	GPS+ BEIDOU (m)	GPS+ GLONASS (m)	GPS+ GLONASS +BEIDOU (m)	
GLONASS	0,000	0,098	0,125	0,098	0,091	0,091	
GPS	0,098	0,000	0,027	0,000	0,007	0,007	
GLONASS +BEIDOU	0,125	0,027	0,000	0,027	0,034	0,034	
GPS+ BEIDOU	0,098	0,000	0,027	0,000	0,007	0,007	
GPS+ GLONASS	0,091	0,007	0,034	0,007	0,000	0,000	
GPS+ GLONASS +BEIDOU	0,091	0,007	0,034	0,007	0,000	0,000	

Pada titik C2,selisish koordinat paling kecil terjadi pada pengolahan satelit GPS + GLONASS + BEIDOU terhadap satelit GPS + GLONASS dengan selisih nilai nol, baik pada *northing* 

maupun *easting* sedangkan perbedaan terbesar terjadi pada penggunaan satelit GLONASS dengan GLONASS + BEIDOU dengan selisih sebesar 0,768 m untuk *northing* dan 0,125 untuk *easting*.

Tabel. 4.40 Selisih Koordinat Northing Baseline C3

C3	GLONASS (m)	GPS (m)	GLONASS +BEIDOU (m)	GPS+ BEIDOU (m)	GPS+ GLONASS (m)	GPS+ GLONASS +BEIDOU (m)
GLONASS	0,000	0,002	0,000	0,002	0,000	0,000
GPS	0,002	0,000	0,002	0,000	0,002	0,002
GLONASS +BEIDOU	0,000	0,002	0,000	0,002	0,000	0,000
GPS+ BEIDOU	0,002	0,000	0,002	0,000	0,002	0,002
GPS+ GLONASS	0,000	0,002	0,000	0,002	0,000	0,000
GPS+ GLONASS +BEIDOU	0,000	0,002	0,000	0,002	0,000	0,000

Tabel. 4.41 Selisih Koordinat Easting Baseline C3

C3	GLONASS (m)	GPS (m)	GLONASS +BEIDOU (m)	GPS+ BEIDOU (m)	GPS+ GLONASS (m)	GPS+ GLONASS +BEIDOU (m)
GLONASS	0,000	0,004	0,000	0,004	0,001	0,001
GPS	0,004	0,000	0,004	0,000	0,005	0,005

C3	GLONASS (m)	GPS (m)	GLONASS +BEIDOU (m)	GPS+ BEIDOU (m)	GPS+ GLONASS (m)	GPS+ GLONASS +BEIDOU (m)
GLONASS +BEIDOU	0,000	0,004	0,000	0,004	0,001	0,001
GPS+ BEIDOU	0,004	0,000	0,004	0,000	0,005	0,005
GPS+ GLONASS	0,001	0,005	0,001	0,005	0,000	0,000
GPS+ GLONASS +BEIDOU	0,001	0,005	0,001	0,005	0,000	0,000

Nilai terbesar pada titik C3 bernilai 0,009 m untuk *northing*, terjadi pada hampir semua pengolahan kecuali GPS + GLONASS + BAIDOU dengan GPS + GLONASS bernilai nol. Untuk *easting* selisih terbesar bernilai 0,005 m. Selisih terkecil bernilai nol terjadi pada pengolahan dengan menggunakan satelit GPS + GLONASS + BAIDOU terhadap GPS + GLONASS.

Tabel. 4.42 Selisih Koordinat Northing Baseline C4

C4	GLONASS (m)	GPS (m)	GLONASS +BEIDOU (m)	GPS+ BEIDOU (m)	GPS+ GLONASS (m)	GPS+ GLONASS +BEIDOU (m)
GLONASS	0,000	0,054	0,003	0,054	0,057	0,057
GPS	0,054	0,000	0,051	0,000	0,003	0,003
GLONASS +BEIDOU	0,003	0,051	0,000	0,051	0,054	0,054

C4	GLONASS (m)	GPS (m)	GLONASS +BEIDOU (m)	GPS+ BEIDOU (m)	GPS+ GLONASS (m)	GPS+ GLONASS +BEIDOU (m)
GPS+ BEIDOU	0,054	0,000	0,051	0,000	0,003	0,003
GPS+ GLONASS	0,057	0,003	0,054	0,003	0,000	0,000
GPS+ GLONASS +BEIDOU	0,057	0,003	0,054	0,003	0,000	0,000

Tabel. 4.43 Selisih Koordinat Easting Baseline C4

C4	GLONASS (m)	GPS (m)	GLONASS +BEIDOU (m)	GPS+ BEIDOU (m)	GPS+ GLONASS (m)	GPS+ GLONASS +BEIDOU (m)
GLONASS	0,000	0,008	0,000	0,008	0,009	0,009
GPS	0,008	0,000	0,008	0,000	0,017	0,017
GLONASS +BEIDOU	0,000	0,008	0,000	0,008	0,009	0,009
GPS+ BEIDOU	0,008	0,000	0,008	0,000	0,017	0,017
GPS+ GLONASS	0,009	0,017	0,009	0,017	0,000	0,000
GPS+ GLONASS +BEIDOU	0,009	0,017	0,009	0,017	0,000	0,000

Pada titik C4 perbedaan terbesar bernilai 0,057 m untuk *northing* pada pengolahan GLONASS dengan GPS + GLONASS dan GPS

+ GLONASS +BEIDOU dan 0,017 m untuk *easting*. Sedangkan untuk perbedaan terkecil bernilai nol.

Tabel. 4.44 Selisih Koordinat Northing Baseline D1

D1	GLONASS (m)	GPS (m)	GLONASS +BEIDOU (m)	GPS+ BEIDOU (m)	GPS+ GLONASS (m)	GPS+ GLONASS +BEIDOU (m)
GLONASS	0,000	0,007	0,000	0,007	0,036	0,036
GPS	0,007	0,000	0,007	0,000	0,029	0,029
GLONASS +BEIDOU	0,000	0,007	0,000	0,007	0,036	0,036
GPS+ BEIDOU	0,007	0,000	0,007	0,000	0,029	0,029
GPS+ GLONASS	0,036	0,029	0,036	0,029	0,000	0,000
GPS+ GLONASS +BEIDOU	0,036	0,029	0,036	0,029	0,000	0,000

Tabel. 4.45 Selisih Koordinat Easting Baseline D1

D1	GLONASS (m)	GPS (m)	GLONASS +BEIDOU (m)	GPS+ BEIDOU (m)	GPS+ GLONASS (m)	GPS+ GLONASS +BEIDOU (m)
GLONASS	0,000	0,006	0,000	0,006	0,040	0,0400
GPS	0,006	0,000	0,006	0,000	0,034	0,034
GLONASS +BEIDOU	0,000	0,006	0,000	0,006	0,040	0,040

D1	GLONASS (m)	GPS (m)	GLONASS +BEIDOU (m)	GPS+ BEIDOU (m)	GPS+ GLONASS (m)	GPS+ GLONASS +BEIDOU (m)
GPS+ BEIDOU	0,006	0,000	0,006	0,000	0,034	0,034
GPS+ GLONASS	0,040	0,034	0,040	0,034	0,000	0,000
GPS+ GLONASS +BEIDOU	0,040	0,034	0,040	0,034	0,000	0,000

Pada titik D1, selisish koordinat paling kecil terjadi pada pengolahan satelit GPS + GLONASS + BEIDOU terhadap satelit GPS + GLONASS dengan selisih nilai nol, baik pada *northing* maupun *easting* sedangkan perbedaan terbesar terjadi pada penggunaan satelit GLONASS, GPS + GLONASS + BEIDOU dengan selisih sebesar 0,036 m untuk *northing* dan 0,034 untuk *easting* terjadi pada penggunaan satelit GPS, GPS + GLONASS + BEIDOU

Tabel. 4.46 Selisih Koordinat Northing Baseline D2

D2	GLONASS (m)	GPS (m)	GLONASS +BEIDOU (m)	GPS+ BEIDOU (m)	GPS+ GLONASS (m)	GPS+ GLONASS +BEIDOU (m)
GLONASS	0,000	0,006	0,000	0,006	0,004	0,004
GPS	0,006	0,000	0,006	0,000	0,002	0,002
GLONASS +BEIDOU	0,000	0,006	0,000	0,006	0,004	0,004
GPS+ BEIDOU	0,006	0,000	0,006	0,000	0,002	0,002
GPS+ GLONASS	0,004	0,002	0,004	0,002	0,000	0,000

D2	GLONASS (m)	GPS (m)	GLONASS +BEIDOU (m)	GPS+ BEIDOU (m)	GPS+ GLONASS (m)	GPS+ GLONASS +BEIDOU (m)
GPS+ GLONASS +BEIDOU	0,004	0,002	0,004	0,002	0,000	0,000

Tabel. 4.47 Selisih Koordinat Easting Baseline D2

D2	GLONASS (m)	GPS (m)	GLONASS +BEIDOU (m)	GPS+ BEIDOU (m)	GPS+ GLONASS (m)	GPS+ GLONASS +BEIDOU (m)
GLONASS	0,000	0,018	0,000	0,018	0,019	0,019
GPS	0,018	0,000	0,018	0,000	0,001	0,001
GLONASS +BEIDOU	0,000	0,018	0,000	0,018	0,019	0,019
GPS+ BEIDOU	0,018	0,000	0,018	0,000	0,001	0,001
GPS+ GLONASS	0,019	0,001	0,019	0,001	0,000	0,000
GPS+ GLONASS +BEIDOU	0,019	0,001	0,019	0,001	0,000	0,000

Pada titik D2 perbedaan selisih koordinat terbesar terjadi pada penggunaan satelit GPS, GLONASS, GPS + BEIDOU, dan GLONASS + BEIDOU dengan selisih sebesar 0,006 m untuk *northing* dan 0,019 m untuk *easting* pada penggunaan satelit GLONASS, GPS + BEIDOU, dan GLONASS + BEIDOU nilai terkecil, yaitu bernilai nol.

Tabel. 4.48 Selisih Koordinat Northing Baseline D3

D3	GLONASS (m)	GPS (m)	GLONASS +BEIDOU (m)	GPS+ BEIDOU (m)	GPS+ GLONASS (m)	GPS+ GLONASS +BEIDOU (m)
GLONASS	0,000	0,003	0,001	0,003	0,000	0,000
GPS	0,003	0,000	0,004	0,000	0,003	0,003
GLONASS +BEIDOU	0,001	0,004	0,000	0,004	0,001	0,001
GPS+ BEIDOU	0,003	0,000	0,004	0,000	0,003	0,003
GPS+ GLONASS	0,000	0,003	0,001	0,003	0,000	0,000
GPS+ GLONASS +BEIDOU	0,000	0,003	0,001	0,003	0,000	0,000

Tabel. 4.49 Selisih Koordinat Easting Baseline D3

D3	GLONASS (m)	GPS (m)	GLONASS +BEIDOU (m)	GPS+ BEIDOU (m)	GPS+ GLONASS (m)	GPS+ GLONASS +BEIDOU (m)
GLONASS	0,000	0,004	0,001	0,004	0,003	0,003
GPS	0,004	0,000	0,005	0,000	0,007	0,007
GLONASS +BEIDOU	0,001	0,005	0,000	0,005	0,002	0,002
GPS+ BEIDOU	0,004	0,000	0,005	0,000	0,007	0,007
GPS+ GLONASS	0,003	0,007	0,002	0,007	0,000	0,000
GPS+ GLONASS +BEIDOU	0,003	0,007	0,002	0,007	0,000	0,000

Nilai terbesar pada titik D3 bernilai 0,004 m untuk *northing*, terjadi pada pengolahan GLONASS + BEIDOU dengan GPS, GPS + BEIDOU, dan untuk *easting* selisih terbesar bernilai 0,007 m. Selisih

terkecil bernilai nol terjadi pada pengolahan dengan menggunakan satelit GPS + GLONASS + BAIDOU terhadap pengolahan menggunakan satelit GPS + GLONASS.

Tabel. 4.50 Selisih Koordinat Northing Baseline D4

D4	GLONASS (m)	GPS (m)	GLONASS +BEIDOU (m)	GPS+ BEIDOU (m)	GPS+ GLONASS (m)	GPS+ GLONASS +BEIDOU (m)
GLONASS	0,000	0,409	0,000	0,409	0,414	0,414
GPS	0,409	0,000	0,409	0,000	0,005	0,005
GLONASS +BEIDOU	0,000	0,409	0,000	0,409	0,414	0,414
GPS+ BEIDOU	0,409	0,000	0,409	0,000	0,005	0,005
GPS+ GLONASS	0,414	0,005	0,414	0,005	0,000	0,000
GPS+ GLONASS +BEIDOU	0,414	0,005	0,414	0,005	0,000	0,000

Tabel. 4.51 Selisih Koordinat Easting Baseline D4

D4	GLONASS (m)	GPS (m)	GLONASS +BEIDOU (m)	GPS+ BEIDOU (m)	GPS+ GLONASS (m)	GPS+ GLONASS +BEIDOU (m)
GLONASS	0,000	0,385	0,004	0,385	0,359	0,359
GPS	0,385	0,000	0,381	0,000	0,026	0,026
GLONASS +BEIDOU	0,004	0,381	0,000	0,381	0,355	0,355
GPS+ BEIDOU	0,385	0,000	0,381	0,000	0,026	0,026
GPS+ GLONASS	0,359	0,026	0,355	0,026	0,000	0,000

D4	GLONASS (m)	GPS (m)	GLONASS +BEIDOU (m)	GPS+ BEIDOU (m)	GPS+ GLONASS (m)	GPS+ GLONASS +BEIDOU (m)
GPS+ GLONASS +BEIDOU	0,359	0,026	0,355	0,026	0,000	0,000

Pada titik D4 perbedaan terbesar bernilai 0,414 m untuk *northing* pada pengolahan GLONASS + BEIDOU dengan GPS + GLONASS + BEIDOU dan 0,381 m untuk *easting* pada GLONASS + BEIDOU dengan GPS dan GPS + BEIDOU. Perbedaan terkecil bernilai nol terjadi pada satelit GPS + GLONASS + BAIDOU terhadap GPS + GLONASS.

Tabel. 4.52 Selisih Koordinat Northing Baseline E1

E1	GLONASS (m)	GPS (m)	GLONASS +BEIDOU (m)	GPS+ BEIDOU (m)	GPS+ GLONASS (m)	GPS+ GLONASS +BEIDOU (m)
GLONASS	0,000	0,394	0,000	0,394	0,379	0,379
GPS	0,394	0,000	0,394	0,000	0,015	0,015
GLONASS +BEIDOU	0,000	0,394	0,000	0,394	0,379	0,379
GPS+ BEIDOU	0,394	0,000	0,394	0,000	0,015	0,015
GPS+ GLONASS	0,379	0,015	0,379	0,015	0,000	0,000
GPS+ GLONASS +BEIDOU	0,379	0,015	0,379	0,015	0,000	0,000

Tabel. 4.53 Selisih Koordinat Easting Baseline E1

E1	GLONASS (m)	GPS (m)	GLONASS +BEIDOU (m)	GPS+ BEIDOU (m)	GPS+ GLONASS (m)	GPS+ GLONASS +BEIDOU (m)
GLONASS	0,000	0,163	0,007	0,163	0,143	0,143
GPS	0,163	0,000	0,170	0,000	0,020	0,020
GLONASS +BEIDOU	0,007	0,170	0,000	0,170	0,150	0,150
GPS+ BEIDOU	0,163	0,000	0,170	0,000	0,020	0,020
GPS+ GLONASS	0,143	0,020	0,150	0,020	0,000	0,000
GPS+ GLONASS +BEIDOU	0,143	0,020	0,150	0,020	0,000	0,000

Pada titik E1,selisish koordinat paling kecil terjadi pada pengolahan satelit GPS + GLONASS + BEIDOU terhadap satelit GPS + GLONASS dengan nilai nol, baik pada *northing* maupun *easting* sedangkan perbedaan terbesar terjadi pada penggunaan satelit GPS, GLONASS, GPS + BEIDOU, dan GLONASS + BEIDOU dengan selisih sebesar 0,394 m untuk *northing* dan 0,143 m untuk *easting*.

Tabel. 4.54 Selisih Koordinat Northing Baseline E2

E2	GLONASS (m)	GPS (m)	GLONASS +BEIDOU (m)	GPS+ BEIDOU (m)	GPS+ GLONASS (m)	GPS+ GLONASS +BEIDOU (m)
GLONASS	0,000	0,882	0,006	0,882	0,898	0,898
GPS	0,882	0,000	0,876	0,000	0,016	0,016
GLONASS +BEIDOU	0,006	0,876	0,000	0,876	0,892	0,892
GPS+ BEIDOU	0,882	0,000	0,876	0,000	0,016	0,016

E2	GLONASS (m)	GPS (m)	GLONASS +BEIDOU (m)	GPS+ BEIDOU (m)	GPS+ GLONASS (m)	GPS+ GLONASS +BEIDOU (m)
GPS+ GLONASS	0,898	0,016	0,892	0,016	0,000	0,000
GPS+ GLONASS +BEIDOU	0,898	0,016	0,892	0,016	0,000	0,000

Tabel. 4.55 Selisih Koordinat Easting Baseline E2

E2	GLONASS (m)	GPS (m)	GLONASS +BEIDOU (m)	GPS+ BEIDOU (m)	GPS+ GLONASS (m)	GPS+ GLONASS +BEIDOU (m)
GLONASS	0,000	1,407	0,033	1,407	1,361	1,361
GPS	1,407	0,000	1,374	0,000	0,046	0,046
GLONASS +BEIDOU	0,033	1,374	0,000	1,374	1,328	1,328
GPS+ BEIDOU	1,407	0,000	1,374	0,000	0,046	0,046
GPS+ GLONASS	1,361	0,046	1,328	0,046	0,000	0,000
GPS+ GLONASS +BEIDOU	1,361	0,046	1,328	0,046	0,000	0,000

Pada titik E2 perbedaan selisih koordinat terbesar terjadi pada penggunaan satelit GLONASS dengan GPS + GLONASS BEIDOU, dengan selisih sebesar 0,898 m untuk *northing* dan pada *easting* bernilai cukup besar yaitu 1,361 m. Sedangkan pada pengolahan satelit GPS + GLONASS + BAIDOU terhadap satelit GPS + GLONASS dan merupakan nilai terkecil, yaitu bernilai nol.

Tabel. 4.56 Selisih Koordinat Northing Baseline E3

E3	GLONASS (m)	GPS (m)	GLONASS +BEIDOU (m)	GPS+ BEIDOU (m)	GPS+ GLONASS (m)	GPS+ GLONASS +BEIDOU (m)
GLONASS	0,000	0,093	0,035	0,093	0,087	0,087
GPS	0,093	0,000	0,058	0,000	0,006	0,006
GLONASS +BEIDOU	0,035	0,058	0,000	0,058	0,052	0,052
GPS+ BEIDOU	0,093	0,000	0,058	0,000	0,006	0,006
GPS+ GLONASS	0,087	0,006	0,052	0,006	0,000	0,000
GPS+ GLONASS +BEIDOU	0,087	0,006	0,052	0,006	0,000	0,000

Tabel. 4.57 Selisih Koordinat Easting Baseline E3

E3	GLONASS (m)	GPS (m)	GLONASS +BEIDOU (m)	GPS+ BEIDOU (m)	GPS+ GLONASS (m)	GPS+ GLONASS +BEIDOU (m)
GLONASS	0,000	0,353	0,067	0,353	0,367	0,367
GPS	0,353	0,000	0,286	0,000	0,014	0,014
GLONASS +BEIDOU	0,067	0,286	0,000	0,286	0,300	0,300
GPS+ BEIDOU	0,353	0,000	0,286	0,000	0,014	0,014
GPS+ GLONASS	0,367	0,014	0,300	0,014	0,000	0,000
GPS+ GLONASS +BEIDOU	0,367	0,014	0,300	0,014	0,000	0,000

Nilai terbesar pada titik E3 bernilai 0,093 m untuk *northing*, terjadi pada pengolahan pada GLONASS dengan GPS dan GPS + BEIDOU, dan untuk *easting* selisih terbesar bernilai 0,367 m.

Selisih terkecil bernilai nol terjadi pada pengolahan dengan menggunakan satelit GPS + GLONASS + BAIDOU terhadap pengolahan menggunakan satelit GPS + GLONASS.

Tabel. 4.58 Selisih Koordinat Northing Baseline E4

E4	GLONASS (m)	GPS (m)	GLONASS +BEIDOU (m)	GPS+ BEIDOU (m)	GPS+ GLONASS (m)	GPS+ GLONASS +BEIDOU (m)
GLONASS	0,000	0,058	0,000	0,058	0,051	0,051
GPS	0,058	0,000	0,058	0,000	0,007	0,007
GLONASS +BEIDOU	0,000	0,058	0,000	0,058	0,051	0,051
GPS+ BEIDOU	0,058	0,000	0,058	0,000	0,007	0,007
GPS+ GLONASS	0,051	0,007	0,051	0,007	0,000	0,000
GPS+ GLONASS +BEIDOU	0,051	0,007	0,051	0,007	0,000	0,000

Tabel. 4.59 Selisih Koordinat Easting Baseline E4

E4	GLONASS (m)	GPS (m)	GLONASS +BEIDOU (m)	GPS+ BEIDOU (m)	GPS+ GLONASS (m)	GPS+ GLONASS +BEIDOU (m)
GLONASS	0,000	0,111	0,000	0,111	0,088	0,088
GPS	0,111	0,000	0,111	0,000	0,023	0,023
GLONASS +BEIDOU	0,000	0,111	0,000	0,111	0,088	0,088
GPS+ BEIDOU	0,111	0,000	0,111	0,000	0,023	0,023
GPS+ GLONASS	0,088	0,023	0,088	0,023	0,000	0,000

E4	GLONASS (m)	GPS (m)	GLONASS +BEIDOU (m)	GPS+ BEIDOU (m)	GPS+ GLONASS (m)	GPS+ GLONASS +BEIDOU (m)
GPS+ GLONASS +BEIDOU	0,088	0,023	0,088	0,023	0,000	0,000

Pada titik terakhir , yaitu titik B4 perbedaan terbesar terjadi pada pengolahan GPS, GLONASS, GPS + BEIDOU, dan GLONASS + BEIDOU bernilai 0,058 m untuk *northing* dan 0,011 m untuk *easting*. Sedangkan untuk perbedaan terkecil bernilai nol terjadi pada pengolahan dengan menggunakan satelit GPS + GLONASS + BAIDOU terhadap pengolahan menggunakan satelit GPS + GLONASS.

Perbedaan koordinat yang kedua yaitu berdasarkan strategi pengolahan setiap satelit terhadap strategi pengolahan satelit GPS+GLONASS + BEIDOU.

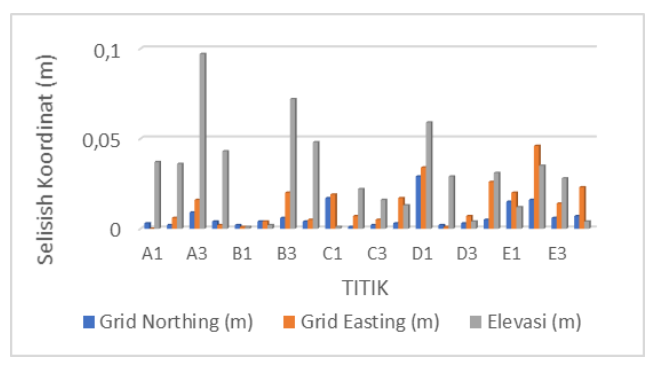
a. Analisis Hasil Koordinat Satelit GPS + GLONASS + BEIDOU dan GPS + GLONASS

Pada hasil yang didapatkan dari pengolahan dengan software Topcon Tools 8.2.3 strategi 1 dengan menggunakan satelit GPS terhadap strategi GLONASS + BEIDOU menggunakan satelit GPS + GLONASS memiliki hasil yang sama. tidak terjadi perubahan pada nilai koordinat yang ada. Nilai Northing, Easting, dan Elevasi memiliki nilai yang sama. sehingga selisih dari koordinat dari strategi 1 dan strategi 2 adalah 0 untuk semua titik. Dari hasil ini dapat dikatakan bahwa dengan penambahan sinyal BEIDOU tidak mempengaruhi iika dikombinasikan proses pengolahan dengan GPS+GLONASS.

b. Analisis Hasil Koordinat Satelit GPS + GLONASS + BEIDOU dan GPS + BEIDOU

Perbedaan hasil koordinat pada strategi 1 dan strategi 3 menggunakan kombinasi GPS + GLONASS + BEIDOU terhadap GPS + BEIDOU yang mana disini hasil dari GPS + GLONASS + BEIDOU dijadikan sebagai acuan atau dianggap paling benar. Karena berdasarkan beberapa penelitian sebelumnya semakin banyak sinyal yang diterima maka akan semakin bagus hasil yang didapat.

Setelah dilakukan pengurangan dari hasil koordinat strategi 3 terhadap strategi 1, selisih perbedaan koordinat diubah menjadi nilai absolut. Hal ini dilakukan untuk menghindari terdapatnya selisih koordinat yang bernilai negatif Perbedaan selisih koordinat ini dapat dilihat pada Gambar 4.16 berikut.

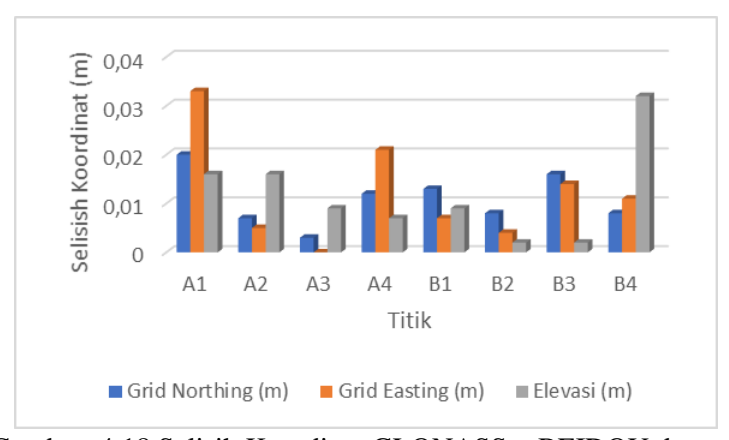


Gambar. 4.17 Selisih Koordinat Satelit GPS + BEIDOU dengan Satelit GPS + GLONASS + BEIDOU

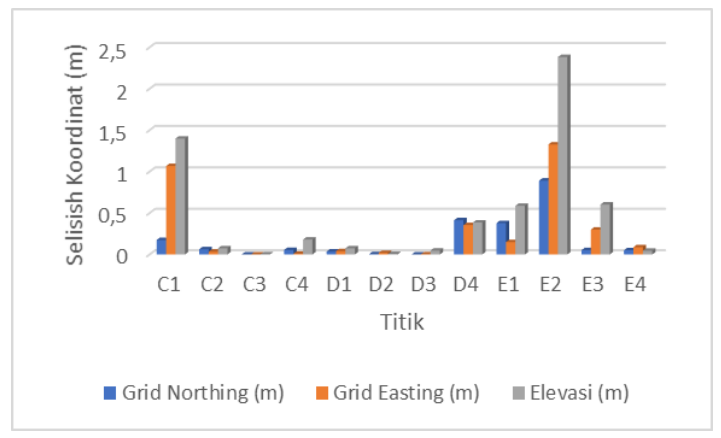
Berdasarkan Gambar 4.17 diatas didapatkan nilai selisih terbesar untuk nilai *northing* terdapat pada titik D1 sebesar 0,029 m, *easting* sebesar 0,046 m pada titik E2 dan elevasi pada titik A3 dengan nilai 0,097 m. Sementara pada nilai *easting* A1 tidak mengalami perubahan atau bernilai 0. Rata – rata nilai perubahan sebesar 0,007 m untuk *northing*, 0,013 m untuk *easting*, dan 0,0295 m untuk elevasi.

# c. Analisis Hasil Koordinat Satelit GPS + GLONASS + BEIDOU dan GLONASS + BEIDOU

Perbedaan koordinat ini yang digunakan adalah hasil kombinasi dari penggunaan satelit GLONASS + BEIDOU yang dikurangi terhadap hasil koordinat penggunaan satelit GPS + GLONASS + BEIDOU yang sebelumnya dianggap benar. Sama seperti analisis strategi 1 dan 3 sebelumnya, yang mana hasil selisih dibuat bernilai absolut untuk menghindari nilai negatif. Hasil perbedaan koordinat dapat dilihat pada Gambar 4.18 dan Gambar 4.19 berikut.



Gambar. 4.18 Selisih Koordinat GLONASS + BEIDOU dengan GPS + GLONASS + BEIDOU Titik A1 – B4.

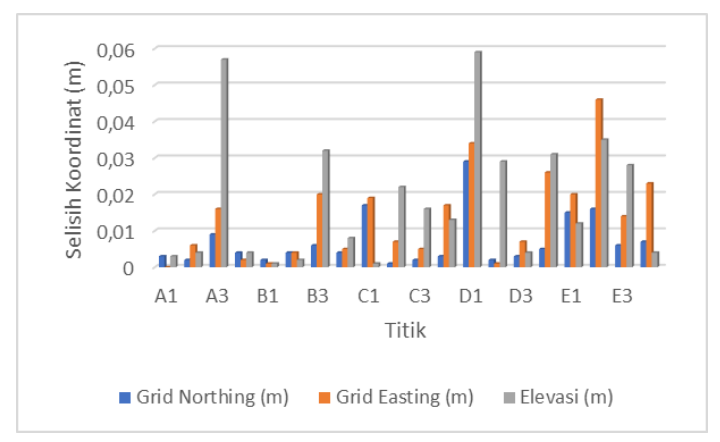


Gambar. 4.19 Selisih Koordinat GLONASS + BEIDOU dengan GPS + GLONASS + BEIDOU Titik C1 –E4.

Berdasarkan Gambar tersebut dapat kita lihat selisih nilai terbesar terjadi pada titik E2 untuk semua elemen dengan nilai northing sebesar 0,892 m, easting sebesar 1,328 m dan elevasi sebesar 2,383 m. Sedangkan pada nilai northing titik C3 dan easting titik A3 tidak mengalami perubahan. Rata – rata selisih koordinat adalah 0,110 m untuk northing, 0,175 m untuk easting, dan 0,294 m untuk elevasi. Hal ini menunjukkan dengan dihilangkannya satelit GPS memberikan efek yang ukup besar kepada hasil koordinat.

# d. Analisis Hasil Koordinat Satelit GPS + GLONASS + BEIDOU dan GPS

Perbedaan hasil koordinat pada strategi 1 dan strategi 5 menggunakan kombinasi GPS + GLONASS + BEIDOU terhadap GPS saja. Hasil perbedaan koordinat dapat dilihat pada Tabel 3 dan Gambar 4.18 berikut.



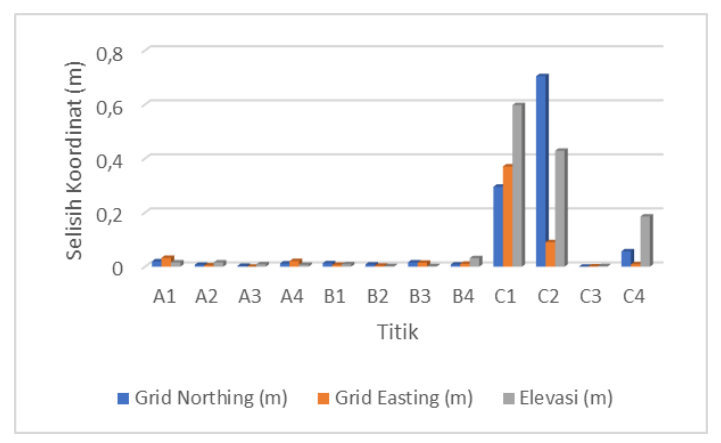
Gambar. 4.20 Selisih Koordinat GPS dengan GPS + GLONASS + BEIDOU

Berdasarkan Gambar 4.20 menunjukkan bahwa dengan menggunakan satelit GPS mendapatkan hasil yang sama seperti penggunaan satelit GPS + BEIDOU kecuali pada elemen elevasi di titik A1 – A4, B3, dan B4 mengalami kenaikan dengan rata – rata nilai 0,038 m . Hal ini bisa dikatakan bahwa sinyal BEIDOU tidak begitu mempengaruhi sinyal GPS. Sedangkan untuk hasil koordinat lainnya mengalami perubahan disemua aspek, baik itu N, E, dan Z. selisih terbesar terdapat pada titik D1 dimana terjadi perubahan paling besar yaitu dengan nilai 0,029 m untuk *northing*, 0,034 m untuk *easting* dan 0,059 m untuk elevasi jika dibandingkan dengan hasil koordinat satelit GPS + GLONASS + BEIDOU. Rata – rata selisih koordinat *northing* sebesar 0,007 m, easting sebesar 0,014 m, dan elevasi sebesar 0,018 m.

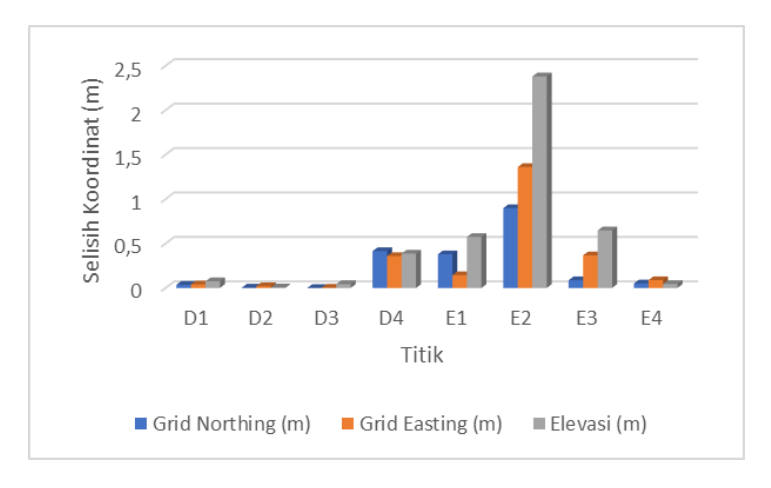
# e. Analisis Hasil Koordinat Satelit GPS + GLONASS + BEIDOU dan GLONASS

Perbedaan koordinat yang terakhir yaitu pada hasil kombinasi dari penggunaan satelit GLONASS yang dikurangi

terhadap hasil koordinat penggunaan satelit GPS + GLONASS + BEIDOU. Hasil perbedaan koordinat dapat dilihat pada Gambar 4.21 dan Gambar 4.22 berikut.



Gambar. 4.21 Selisih Koordinat GLONASS dengan GPS + GLONASS + BEIDOU Titik A1 – A4, B1 – B4, dan C1 – C4

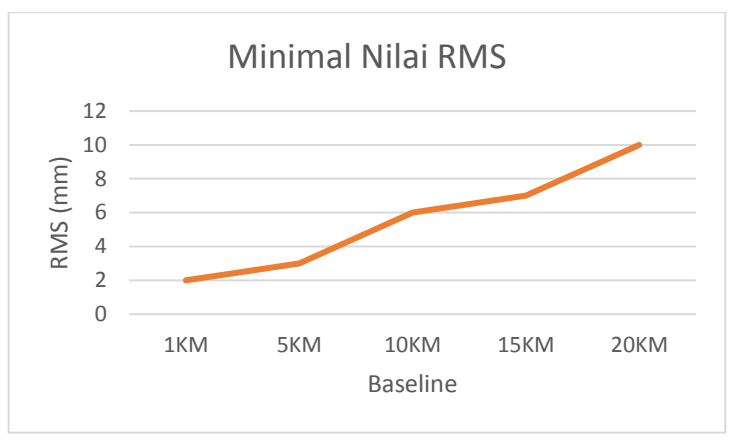


Gambar. 4.22 Selisih Koordinat GLONASS dengan GPS + GLONASS + BEIDOU Titik D1 – D4 dan E1 – E4

Berbeda dengan penggunaan satelit GPS saja, berdasarkan pada Gambar tersebut menunjukkan bahwa dengan menambahkan penggunaan satelit BEIDOU mempengaruhi hasil satelit GLONASS. Hal ini dapat dilihat dari nilai selisih yang berbeda dengan strategi 4. Pada strategi 4 yang terdapat nilai diatas 1 m pada titik C1 berkurang menjadi 0.371 m untuk nilai E. dan disini terdapat 3 nilai koordinat yang tidak mengalami perubahan, yaitu pada *northing* titik C3 dan D3 dan *easting* pada titik A3. Perubahan terjadi pada jarak 5 KM ke atas. Sehingga dapat dikatakan bahwa penggunaan satelit BEIDOU memperbaik ketelitian posisi satelit GLONASS. Rata – rata selisih koordinat *northing* sebesar 0,150 m, *asting* sebesar 0,147 m, dan elevasi sebesar 0,273 m.

### 4.4 Analisis Panjang Baseline

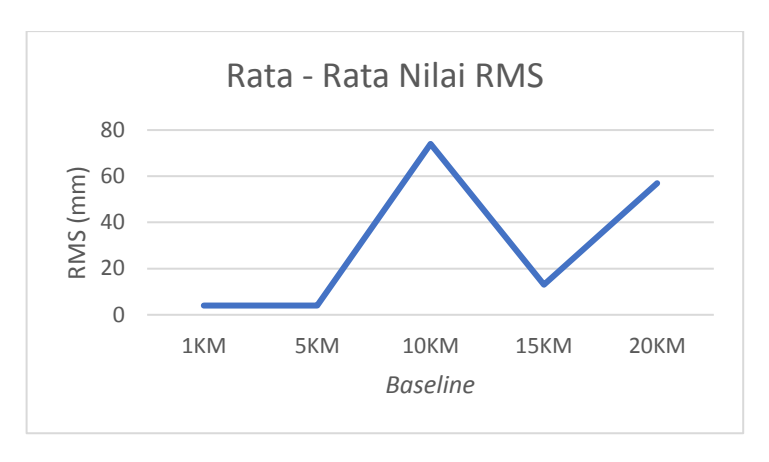
Pada Tabel 4.2 Panjang *Baseline* terlihat bahwa panjang *baseline* tidak sama satu sama lain, Panjang *baseline* yang didapatkan tidak bisa tetap dengan perencanaan yang dilakukan, karena hanya perkiraan dan kondisi lokasi yang tidak memungkinkan untuk melakukan pengukuran sehingga harus digeser. Panjang *baseline* terpendek yaitu *baseline* A1 dengan panjang 915, 585 m dan *baseline* terpanjang yaitu *baseline* E4 dengan panjang 20860,364 m. Panjang *baseline* ini juga berpengaruh terhadap akurasi yang didapatkan. Hal ini dapat dilihat pada Gambar 4.23 Minimal RMS *Error* berikut



Gambar. 4.23 Minimal Nilai RMS *Error* berdasarkan Panjang *baseline* 

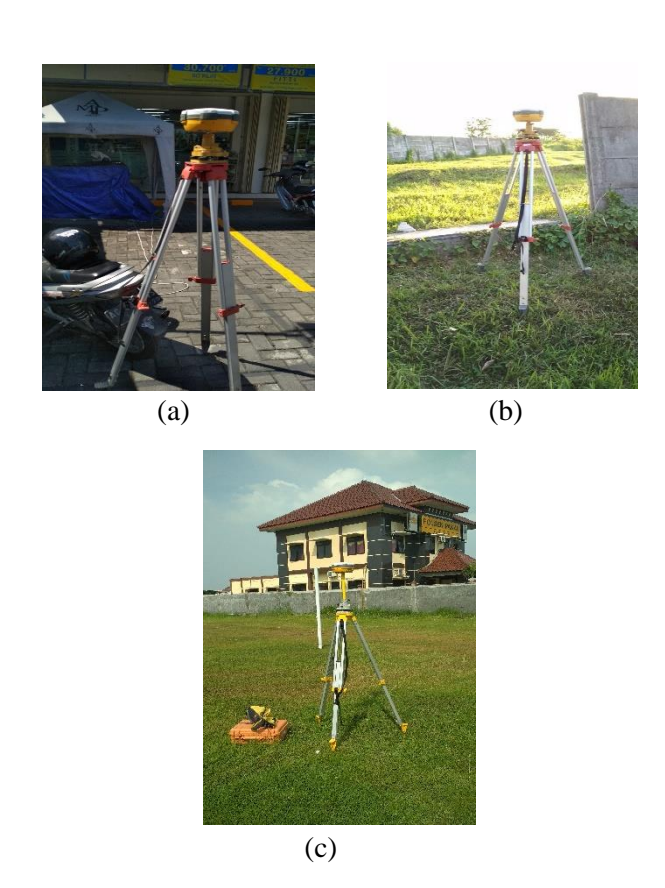
Pada Gambar. 4. terlihat bahwa nilai RMS *error* semakin bertambah seiring dengan pertambahan panjang *baseline*. Mulai dari *baseline* 1 KM bernilai 0,002 m yang bernilai paling rendah semakin naik menuju nilai paling tinggi yaitu *baseline* 20KM yang bernilai 0,01 m.

Hal yang berbeda terjadi pada rata – rata nilai RMS *error*, grafik tidak menunjukkan kenaikan nilai seiring bertambahnya panjang *baseline*. Penurunan nilai terjadi dari *baseline* 10KM ke *baseline* 15KM, dimana nilai pada *baseline* 10KM merupakan nilai terbesar dari semua *baseline*. Hal ini dapat dilihat pada Gambar 4.24 berikut



Gambar. 4.24 Rata – rata Nilai RMS *Error* berdasarkan Panjang *baseline* 

Nilai rata – rata RMS *error baseline* 1KM 0,004 m, *baseline* 5KM sebesar 0,004 m, *baseline* 10KM sebesar 0,074 m, pada *baseline* 15KM RMS *error* mengalami penurunan nilai yaitu 0,013 m, dan pada *baseline* 20KM nilai kembali naik menjadi 0,057 m. Hal ini terjadi sebenarnya bukan karena *baseline* 15 KM yang mengalami penurunan, akan tetapi pada *baseline* 10 KM yang mengalami kenaikan yang signifikan. Kenaikan nilai ini dikarenakan lokasi pengukurannya. Hal ini dapat dilihat pada Gambar. 4.25 berikut.



Gambar. 4.25 (a) Lokasi Titik C3, (b) Lokasi Titik D3, dan (c) Lokasi Titik E3

pada *baseline* 10 KM lokasi titik rata – rata berada di tempat yang cukup padat seperti di depan toserba yang dikelilingi bangunan. Sedangkan pada *baseline* 15 KM dan 20KM lokasi titik lebih terbuka seperti lahan kosong dan lapangan sehingga dihasilkan nilai yang lebih baik.

### BAB V KESIMPULAN DAN SARAN

Dari penelitian tentang akurasi penentuan posisi dengan *receiver* Hi Target V30 berdasarkan penggunaan satelit GPS, GLONASS, dan BEIDOU menghasilkan beberapa kesimpulan dan saran sebagai berikut.

### 5.1 Kesimpulan

- a. Strategi pengolahan dengan menggunakan kombinasi satelit yang berbeda menghasilkan akurasi yang berbeda setiap strateginya.
- b. Penggunaan satelit GPS + GLONASS + BEIDOU dan GPS + GLONASS diperoleh nilai yang sama. Maksimal nilai RMS *error* 0,019 m untuk horizontal dan 0,023 m untuk Vertikal dan merupakan kombinasi dengan akurasi terbaik dengan hasil pengolahan rata rata masuk toleransi.
- c. Penggunaan satelit GPS + BEIDOU dan GPS didapatkan maksimal nilai RMS *error* horizontal sebesar 0,033 m dan 0,053 m untuk RMS *error* vertikal
- d. Penggunaan satelit GLONASS + BEIDOU maksimal RMS *error* horizontal sebesar 0,445 m dan 0,038 m RMS *error* vertikal.
- e. Pada penggunaan satelit GLONASS menghasilkan maksimal nilai RMS *error* yang paling besar, yaitu 0,585 untuk RMS *error* horizontal dan 0,624 m untuk RMS *error* vertikal.
- f. Panjang *baseline* memberi pengaruh terhadap akurasi hasil pengolahan. semakin bertambah panjang *baseline* semakin besar akurasi yang dihasilkan yang ditunjukkan dengan nilai minimal RMS *error* yang dihasilkan. Hasil yang berbeda didapat jika menggunakan nilai rata rata. Pada *baseline* 1 KM dan 5 KM didapatkan nilai RMS *error* yang

rata – rata berada di bawah 0,010 m. pada *baseline* 10KM yang memiliki nilai paling besar dikarenakan lokasinya. Pada *baseline* 10 KM rata – rata nilai RMS *error* sebesar 0,074 m, *baseline* 15 KM sebesar 0,014 m, dan *baseline* 20 KM sebesar 0,057 m.

#### 5.2 Saran

Dalam penelitian ini disadari masih banyak kekurangan, oleh karena itu beberapa saran yang dapat diberikan berikut ini dapat digunakan untuk penelitian lebih lanjut:

- a. Perlu dilakukan studi lebih lanjut tentang pengaruh atmosfir, untuk *baseline* berjarak panjang terutama. Hal ini bisa dilakukan dengan pengukuran temperatur dan tekanan udara saat pengamatan.
- b. Penggunaan *receiver* yang lebih banyak agar pengukuran dapat berlangsung lebih cepat dan efektif.
- c. Diperlukan pengukuran di berbagai kondisi dan waktu untuk lebih bisa mengetahui pola persebaran satelit pada berbagai waktu.
- d. Diperlukan adanya bimbingan lebih instensif dan kontinu agar proses estimasi yang dilakukan lebih valid dan benar, khususnya apabila bidang itu baru bagi peneliti.

#### DAFTAR PUSTAKA

- Abidin, H. Z. 2001. Geodesi Satelit. Jakarta: Pradnya Paramita.
- Abidin, H. Z. 2007. Penentuan Posisi dengan GPS dan Aplikasinya. Jakarta: Pradnya Paramita.
- Abidin, H. Z., Jones, A., dan Kahar, J. 2011. Survei Dengan GPS. Cetakan Ketiga. Jakarta: PT Pradnya Paramita.
- Bakara, J. 2011. Perkembangan Sistem Satelit Navigasi Global dan Aplikasinya. Berita Dirgantara.
- Darmawan, Dudy, Hasanuddin Z Abidin and Rochman Djaja. Strategi Pengolahan Data GPS untuk Pemantauan Penurunan Tanah: Studi Pereduksian Bias Atmosfir. JURNAL SURVEYOR DAN GEODESY Vol X No. 2.2000.
- El-Rabbany, A. 2002. Introduction to GPS The Global Positioning System. Boston: Artech House.
- GLONASS. 2018. GLONASS HISTORY. https://www.glonass-iac.ru/en/guide/index.php Dikunjungi pada tanggal 13 Januari 2018, jam 14.00.
- Gumilar, dkk. 2016. The Contribution of BeiDou Positioning System for Accuracy Improvement: A Perspective from Bandung, Indonesia. researchgate.
- Hi Target. 2015. Hi Target Products V30 GNSS RTK System. http://en.hi-target.com.cn/product/detail.aspx?node=101005001&pid=1 08&catid=3. Dikunjungi pada tanggal 30 Januari 2018, jam 19.00...
- Hi Target. 2018. Hi Target Geomatics Office. http://hi-target-geomatics-office.software.informer.com/1.0/. Diakses pada 5 Juni 2018.
- IAC. Information and Analysis center for Positioning, Naviagtion and Timing. Beidou Navigation Satelite System.

- https://www.glonass-iac.ru/en/guide/beidou.php. Dikunjungi pada tanggal 30 Desember 2017, jam 20.00.
- Izman , Y. & Rudianto, B. 2011. Analisis Komperatif Ketelitian Posisi Titik Hasil Pengukuran dari Satelit Gps dan Satelit Glonass. Issue Institut Teknologi Nasional.
- Kemppi, P. 2007. Next generation Satellite navigation System. Vuorimiehentie 3: VTT technical Reasearch Centre of Finland.
- Lechner, W. & Baumann, S. 2000. Global Navigation Satellite systems. ELSEVIER.
- NovAtel Inc.2015. An Itroduction to GNSS. Calgary. NovAtel Inc Rahmad, A. A., 2016. Comparative Analysis on Data Processing of Mount Merapi Gps Cors Station By Using Scientific and Commercial Software. Teknik Geomatika Institut Teknologi Sepuluh Nopember.
- Satirapod, Chalemchon, and Prapod Chalermwattanachai. Impact of Different tropospheric Models on GPS Baseline Accuracy: Case Study in Thailand. Jurnal of Global Positioning system, 2005.
- Seaber, G. 2003. Satellite Geodesy. Hannover: Germany.
- Shau-Shiun Jan dan An-lin Tao.2005. Comprehensive Comparisons of Satellite Data, Signals, and Measurement between the Beidou Navigation Satellie System and Global Positioning System. https://www.ncbi.nlm.nih.gov/pmc/articles/PMC4883380/. Dikunjungi pada tanggal 27 Juli 2018
- Topcon.2009. Topcon Tools 8 Specification. http://www.topconcare.com/en/software/office-applications/topcon-tools-8/. dikunjungi pada tanggal 14 Oktober 2017, jam 15.00.

## **LAMPIRAN**

## Foto Dokumentasi



















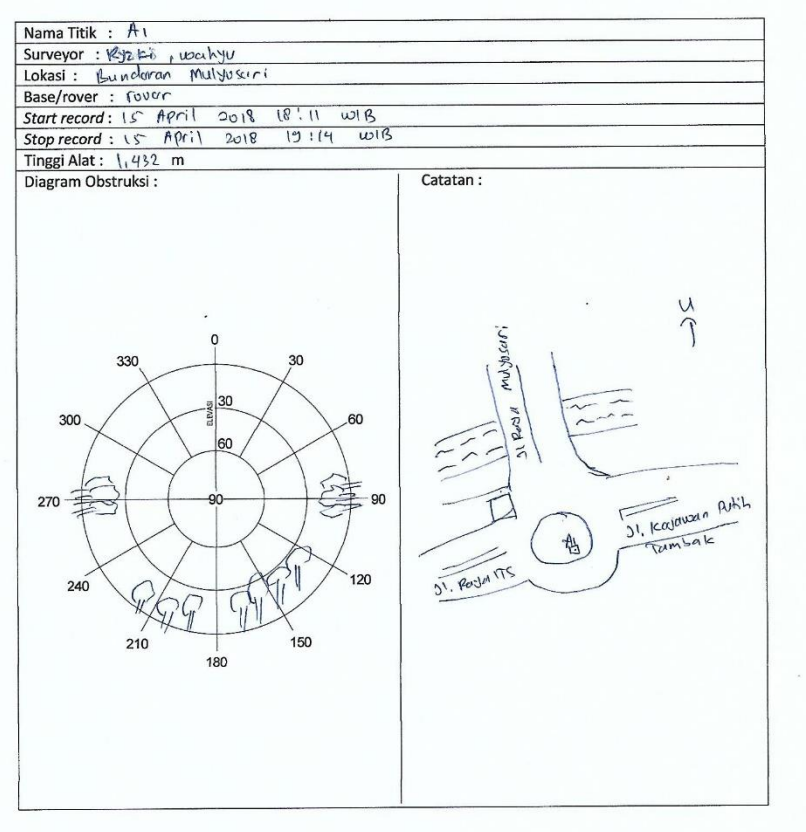




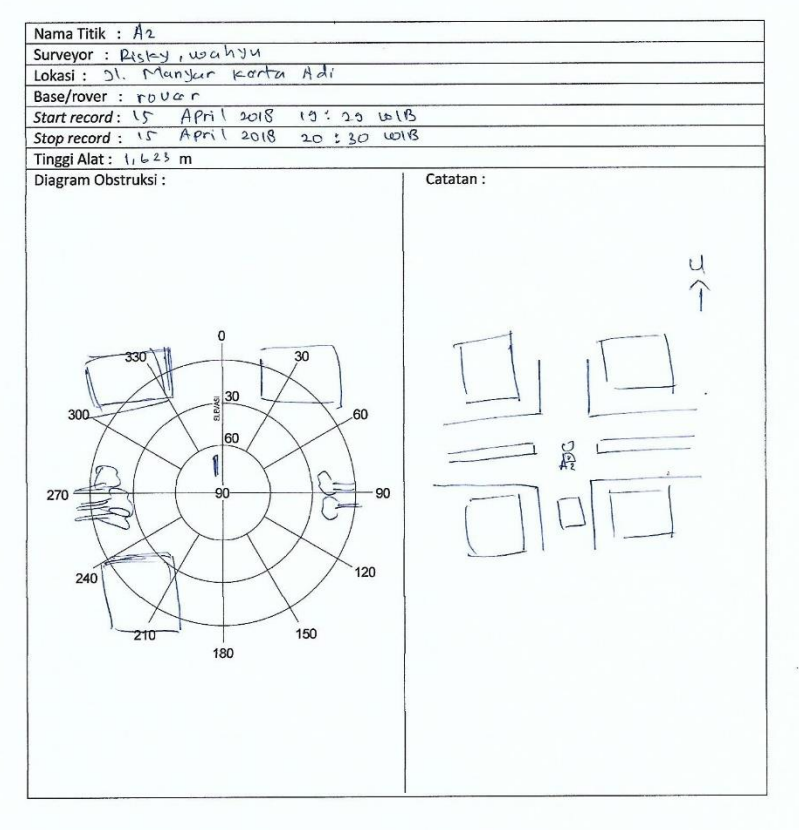
## Form pengukuran



Formulir Survei GNSS
Teknik Geomatika
Fakultas Teknik Sipil, Lingkungan dan Kebumian
Institut Teknologi Sepuluh Nopember Surabaya









Catatan:

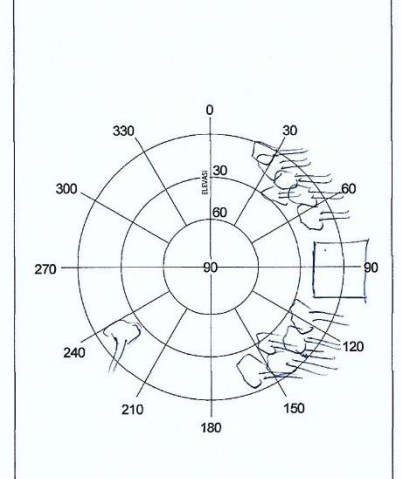
Nama Titik : A 3 Surveyor: Ryzki, wakyu Lokasi: Jl. Puncak Kartajaya

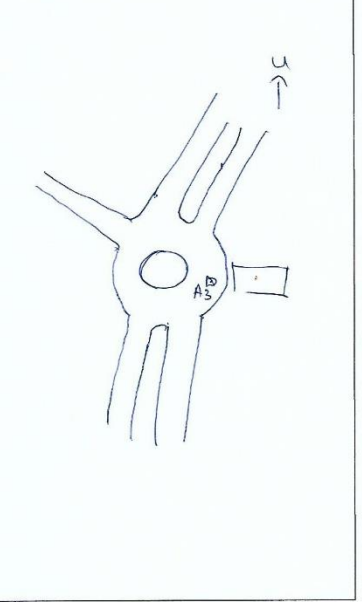
Base/rover : Your

20:41 613 Start record: 15 April 2018 21:41 WIB Stop record: 15 April 2018

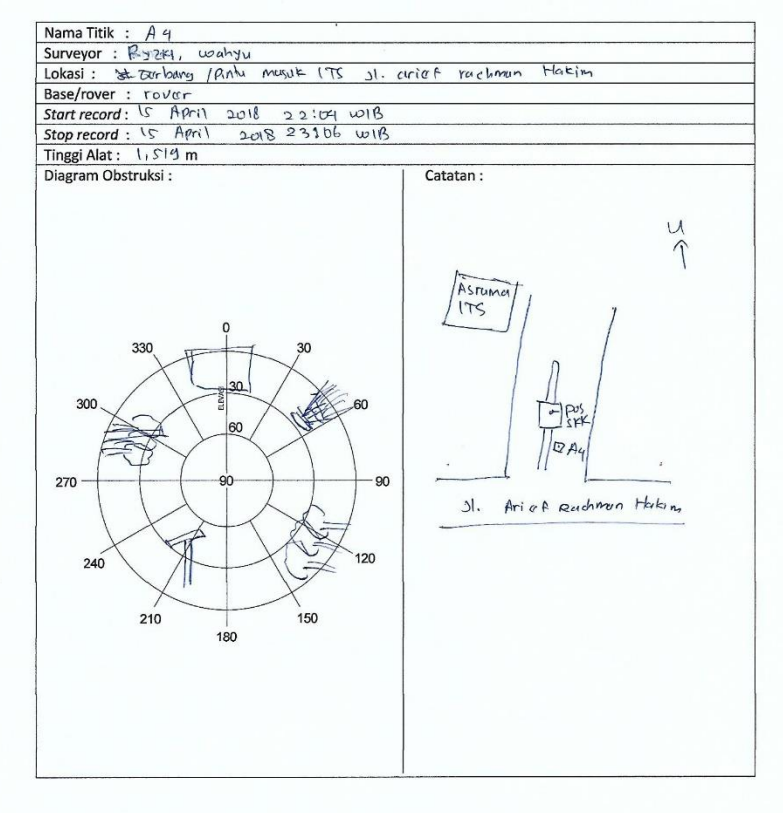
Tinggi Alat: \532 m

Diagram Obstruksi:

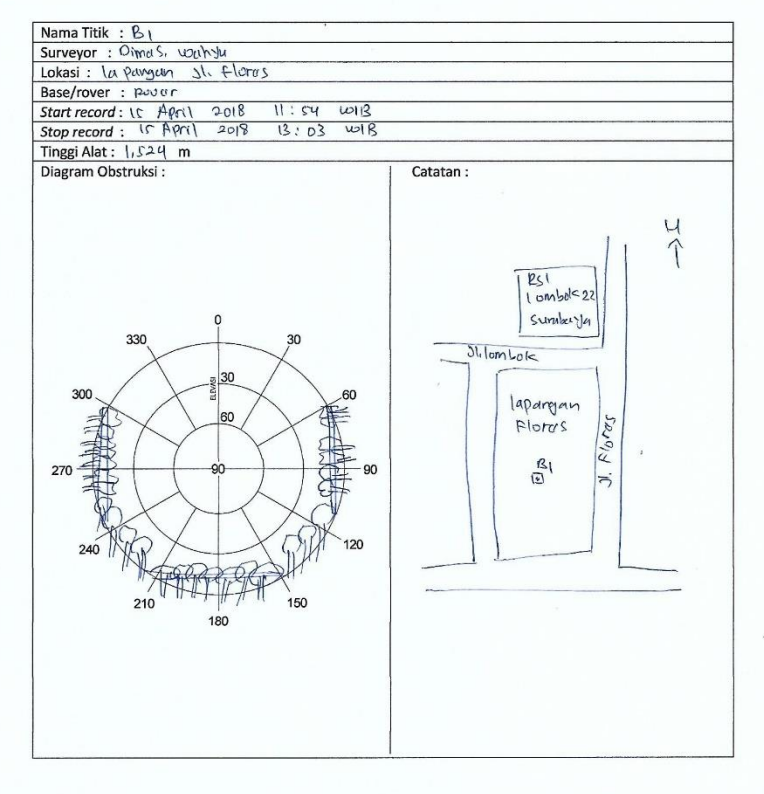




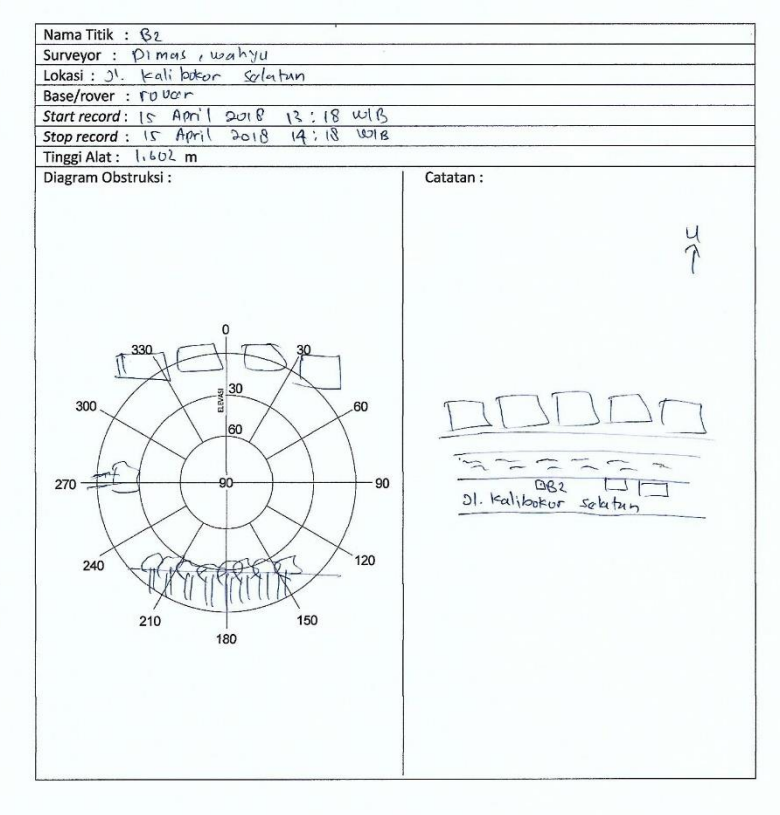




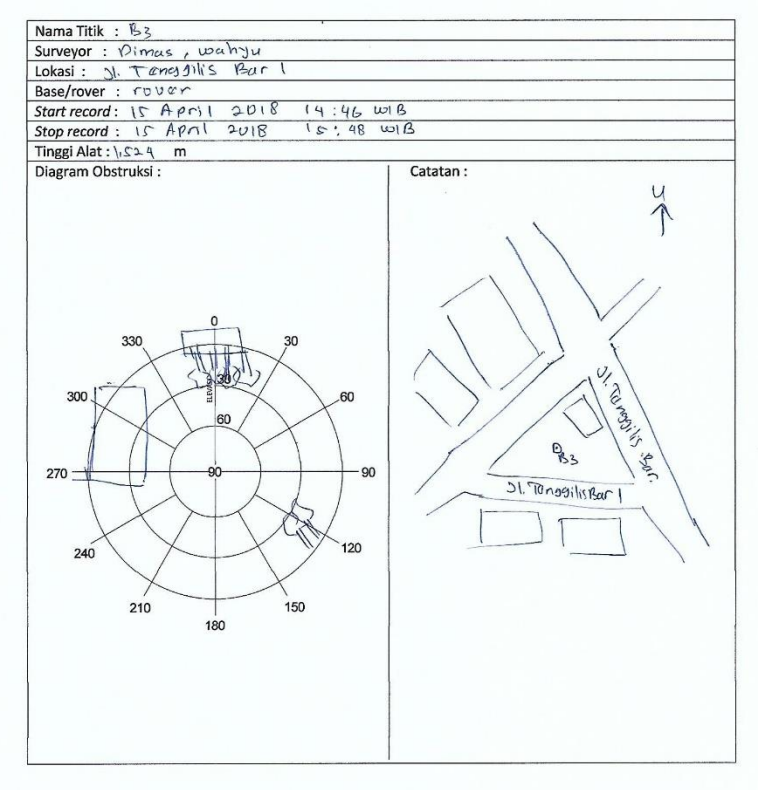




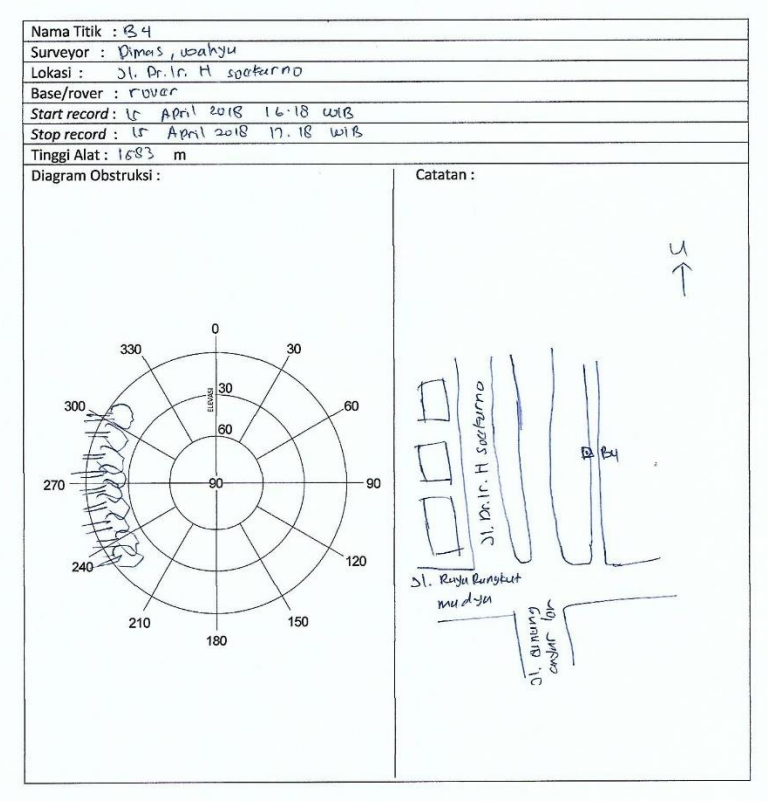




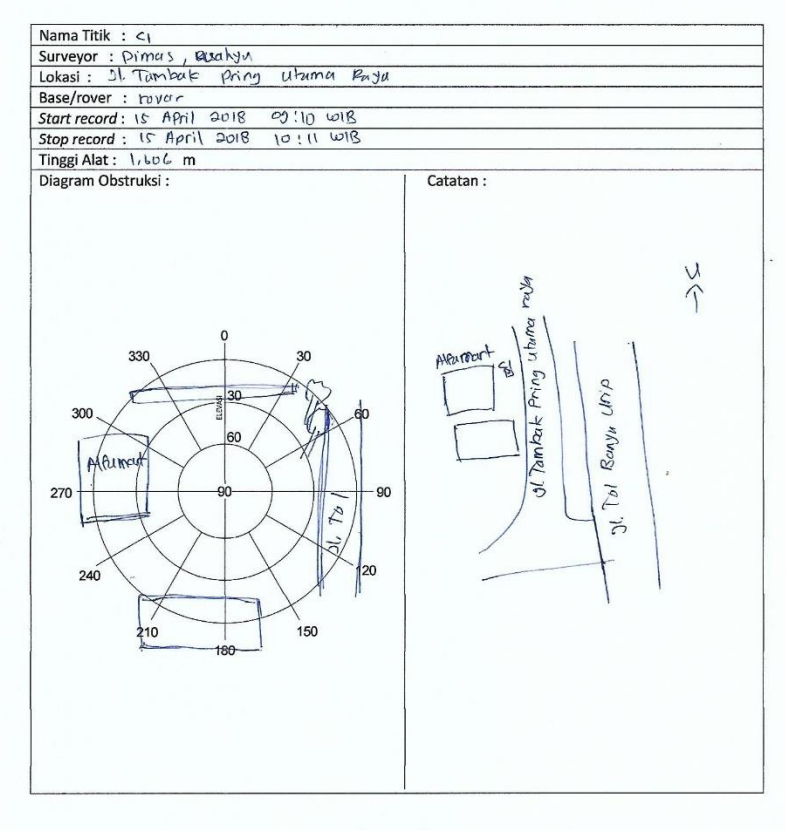




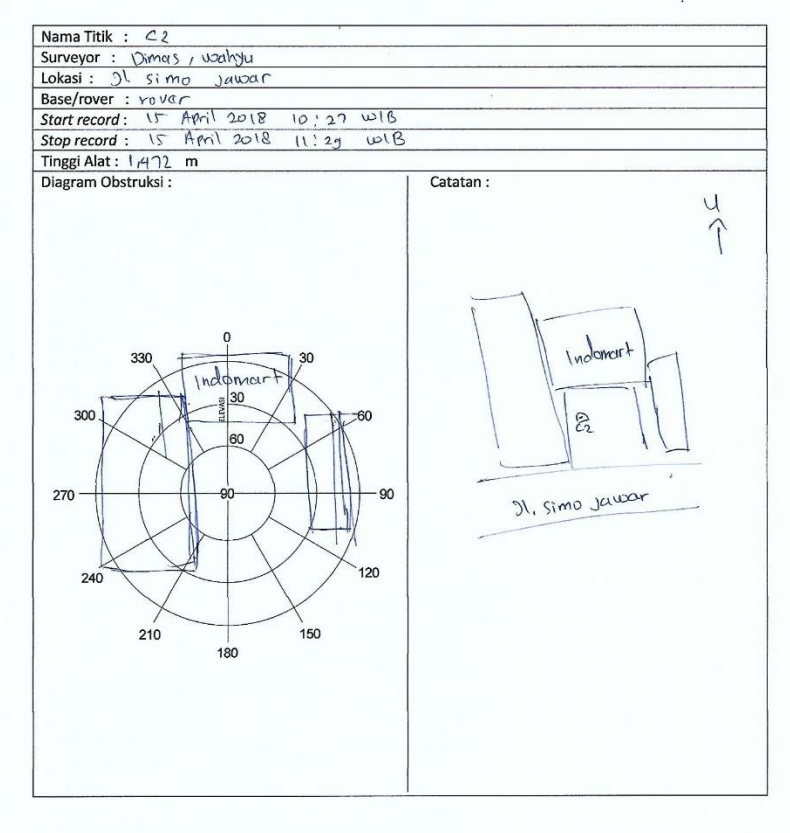




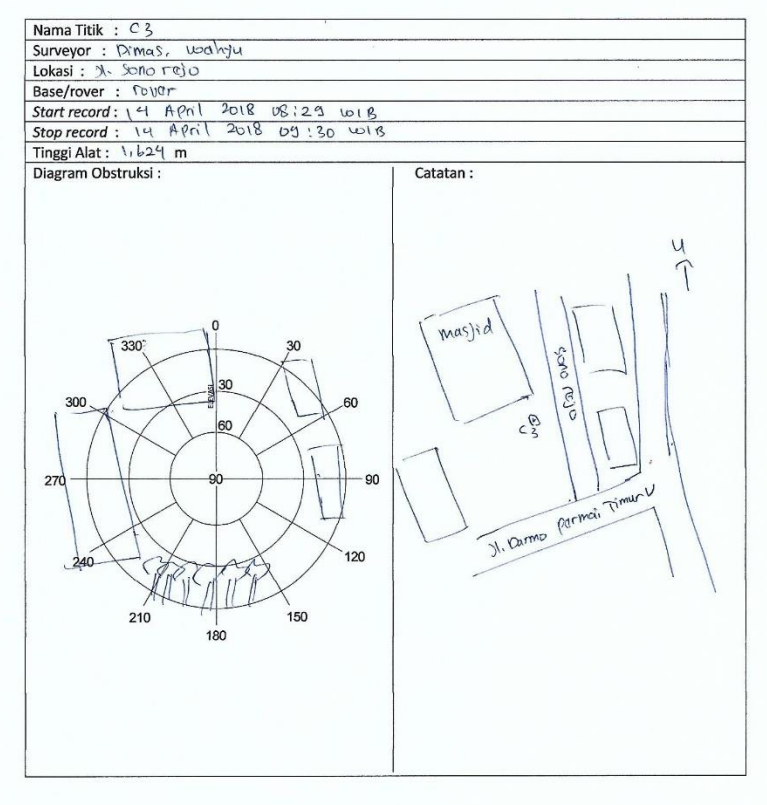




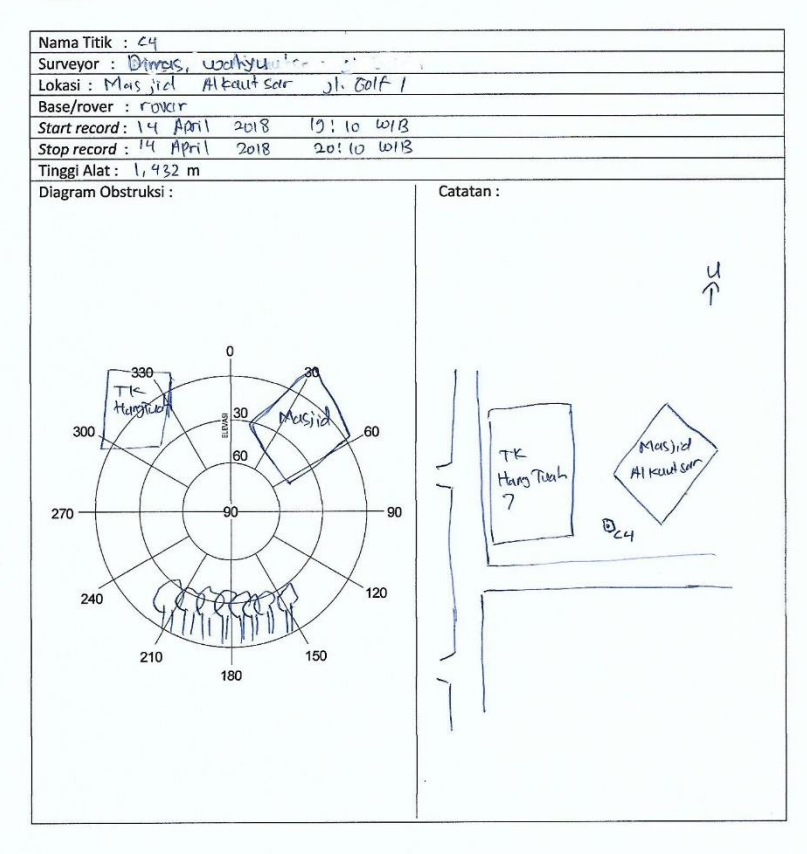




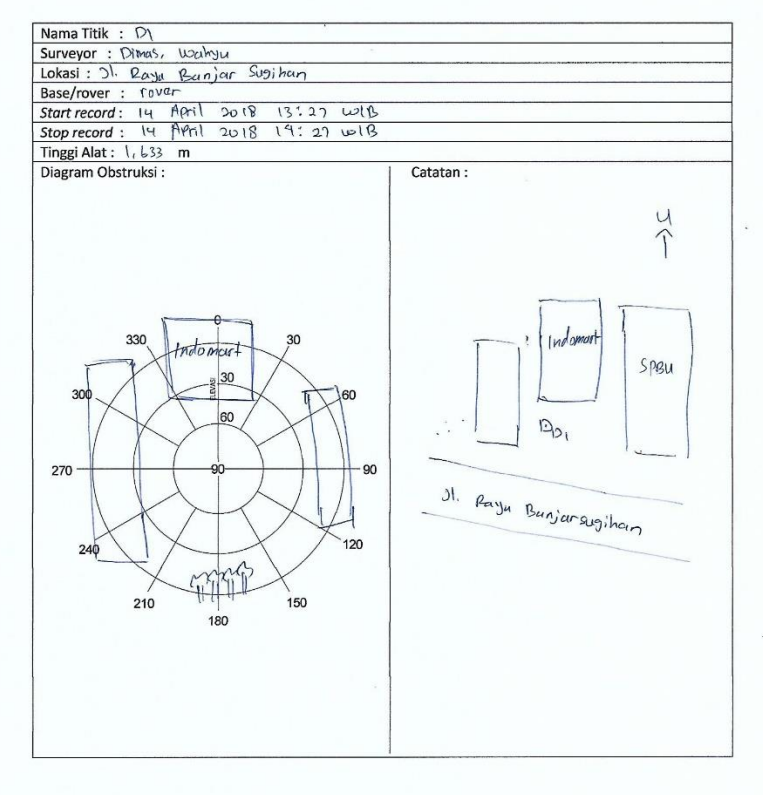




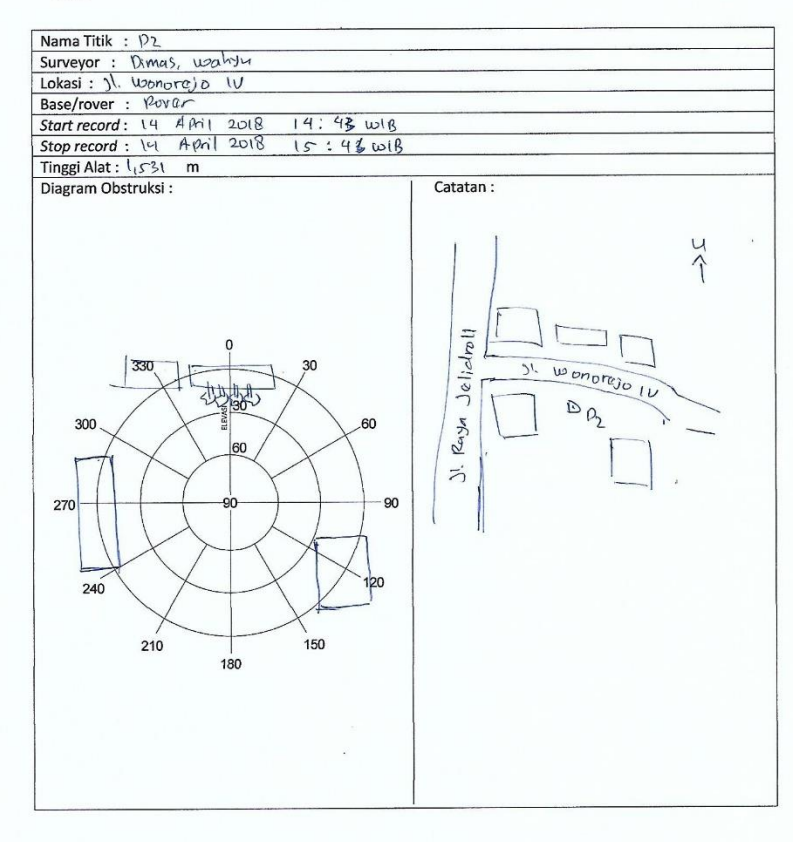




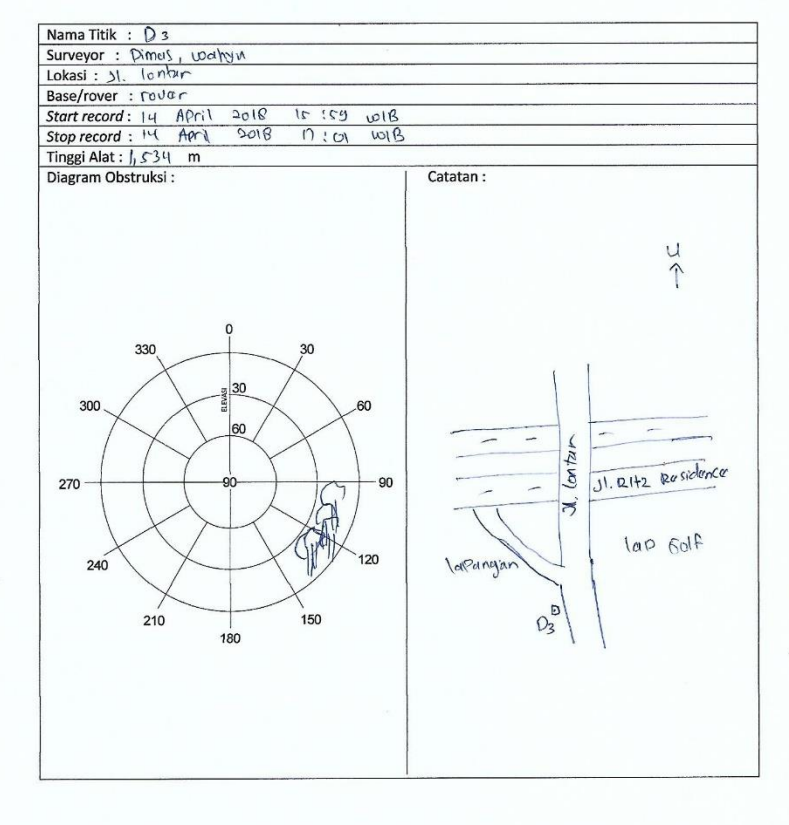




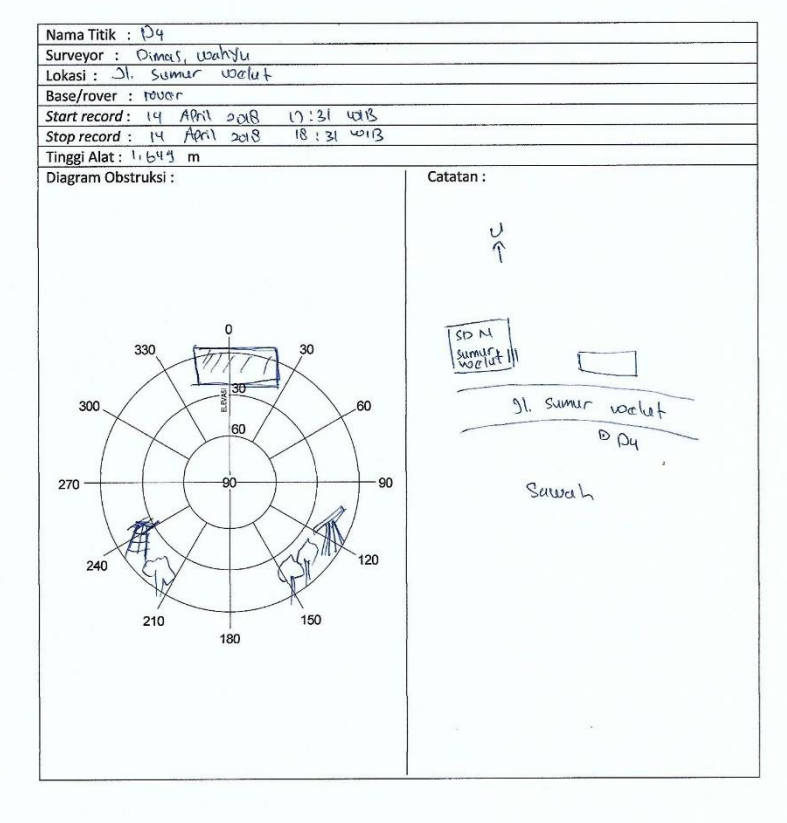




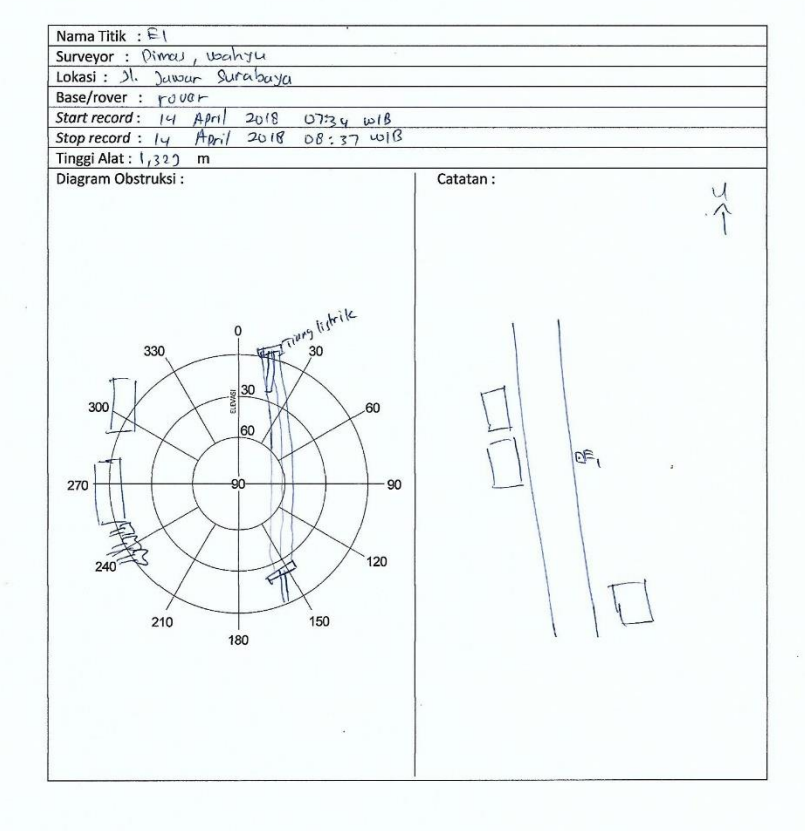








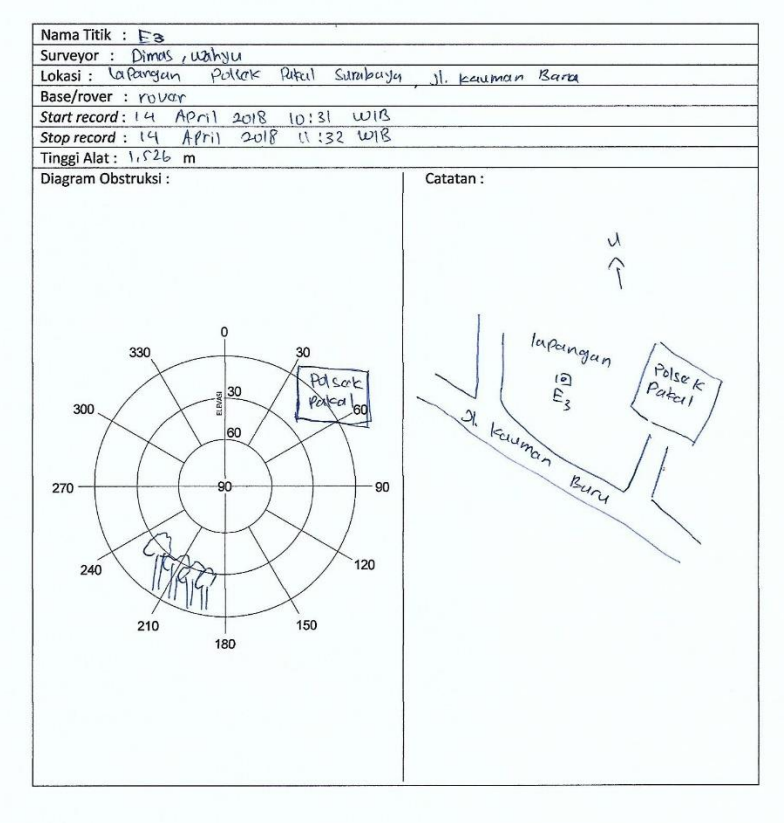




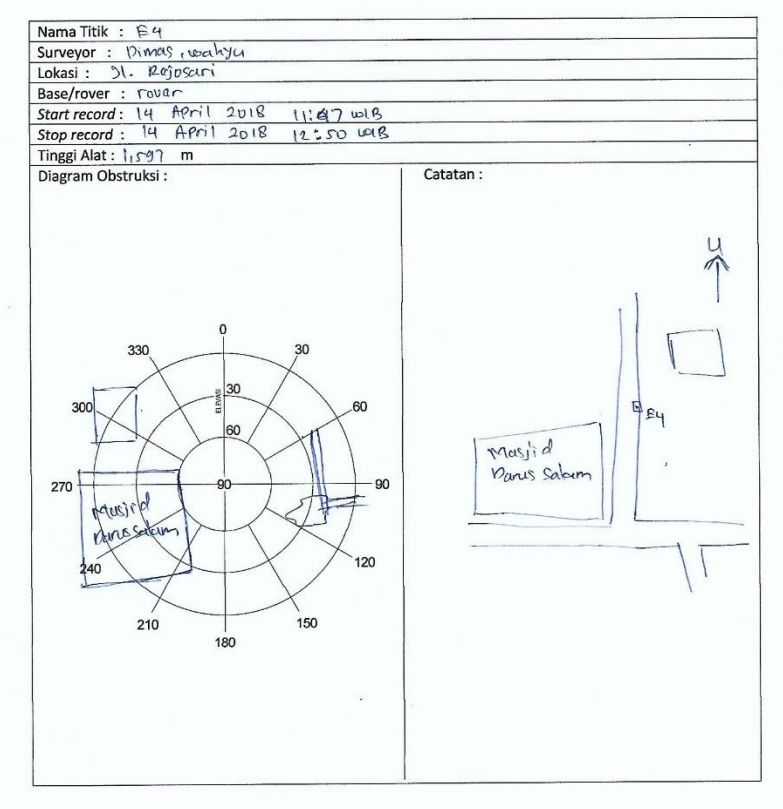


tase/rover: 10000 tart record: 14 April 2018 09 119 WIB top record: 14 April 2018 10 : 20 WIB	
Tinggi Alat : ১৫৭ ঃ m	Catatan :
Diagram Obstruksi :	CA T
270 90 90 120 120 150 150 150 150 150 150 150 150 150 15	Benows Services of the service









"Halaman ini sengaja dikosongkan"

## **BIODATA PENULIS**



Penulis lahir di Nganjuk, pada 03 Februari 1996. Pendidikan dasar di SDN KEdungdowo II, Pendidikan menengah pertama di SMPN Nganjuk, dan Pendidikan menengah atas di SMAN 3 Nganjuk. Perguruan tinggi ditempuh dan diselesaikan penulis di Surabaya. Penulis memulai pendidikan Strata 1 di Jurusan Teknik Geomatika FTSP ITS pada tahun 2014 dengan Nomor Registrasi (NRP) 03311440000069. Peserta Selama menjalani perkuliahan, penulis

aktif di berbagai kegiatan kepanitiaan dan organisasi. Pada tahun kedua penulis mengikuti organisasi mahasiswa sebagai staff Departemen Kesejahteraan Mahasiswa HIMAGE – ITS 2015/2016 dan staff Media dan Informasi BEM FTSP 2015/2016. Pada periode selanjutnya penulis melanjutkan sebagai Kepala Departemen Media dan Informasi HIMAGE – ITS 2016/20. Penulis memilih bidang Geodesi Surveying dengan sub bidang Terestrial dalam penulisan tugas akhir yang berjudul "ANALISIS AKURASI PENENTUAN POSISI RECEIVER HI TARGET V30 BERDASARKAN PENGGUNAAN SATELIT GPS, GLONASS, DAN BEIDOU".